



# UNIVERSIDAD NACIONAL AUTONOMA DE MEXICO

ESCUELA NACIONAL DE ESTUDIOS PROFESIONALES  
"ACATLÁN"

UNA SOLUCION AL PROYECTO PARA LA  
ELABORACION DE UNA RED AUXILIAR DE  
RUTAS INTERTANDEM EN LA RED  
TELEFONICA DEL D.F.

T E S I S

QUE PARA OBTENER EL TITULO DE:

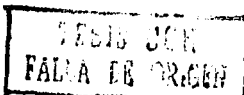
A C T U A R I O

D - P - C -

JOSE SANCHEZ MALDONADO



MEXICO, D. F.



1990



## **UNAM – Dirección General de Bibliotecas Tesis Digitales Restricciones de uso**

### **DERECHOS RESERVADOS © PROHIBIDA SU REPRODUCCIÓN TOTAL O PARCIAL**

Todo el material contenido en esta tesis está protegido por la Ley Federal del Derecho de Autor (LFDA) de los Estados Unidos Mexicanos (México).

El uso de imágenes, fragmentos de videos, y demás material que sea objeto de protección de los derechos de autor, será exclusivamente para fines educativos e informativos y deberá citar la fuente donde la obtuvo mencionando el autor o autores. Cualquier uso distinto como el lucro, reproducción, edición o modificación, será perseguido y sancionado por el respectivo titular de los Derechos de Autor.

## I N D I C E

### Introducción

I	Aspectos Generales de la Red Telefónica	....	1
1.1	Red Telefónica	....	2
1.2	Commutación Telefónica	....	8
1.3	Equipos de Comutación	....	10
1.4	Medios de Transmisión	....	13
1.5	Estructura de la Red Telefónica en el D.F.	....	17
1.6	Problematización de la Red Telefónica en el D.F.	....	23
II	Tratamiento y Análisis de la Información Fuente	....	25
II.1	Analisis del registro de distancias entre Centrales Telefónicas	....	26
II.1.1	Primer modelo Latitud - Longitud, para la estimación de distancias entre Centrales Telefónicas	....	32
II.2	Segundo modelo no lineal propuesto para la estimación de distancias entre Centrales Telefónicas	....	46
II.2.1	Muestreo Aleatorio Simple para la estimación de distancias entre Centrales Telefónicas	....	68
II.2.2	Estimación del parámetro p, para el segundo modelo	....	78
II.2.3	Analisis del segundo modelo	....	82
II.3	Propuesta de un tercer modelo	....	84
II.4	Analisis comparativo entre el segundo y tercer modelos propuestos	....	87
II.5	Estimación de la Matriz de Distancias mediante el tercer modelo propuesto	....	92

<b>III</b>	<b>Metodología para el diseño de la Red Auxiliar</b>	.... 105
<b>III.1</b>	<b>Problema del Agente Viajero</b>	.... 107
<b>III.2</b>	<b>Modelización del problema planteado como un problema del Agente Viajero</b>	.... 110
<b>III.3</b>	<b>Algoritmos utilizados para la determinación del Circuito Hamiltoniano óptimo en la Red Auxiliar</b>	.... 114
<b>III.3.1</b>	<b>Método Algebraico</b>	.... 114
<b>III.3.2</b>	<b>Métodos de Ramificación y Acotamiento considerados</b>	.... 122
<b>III.4</b>	<b>Aplicación del algoritmo de Ruta más Corta de Dijkstra para el diseño de la Red Auxiliar</b>	.... 128
<b>III.5</b>	<b>Una alternativa en el diseño de la Red Auxiliar de rutas intertandem en la Red Telefónica del D.F.</b>	.... 136
<b>IV</b>	<b>Resultados Obtenidos</b>	.... 138
	<b>Conclusiones</b>	.... 141
	<b>Bibliografía</b>	.... 142
	<b>Anexo I</b>	.... 144
	<b>Anexo II</b>	.... 147

## INTRODUCCION

En la actualidad en la mayoria de los paises el servicio telefonico se ha convertido en una necesidad. La demanda del servicio ha crecido al mismo ritmo que la poblacion, el desarrollo industrial, tecnologico, etc..

La Ciudad de Mexico no ha sido una excepcion al respecto. En ella, este crecimiento ha provocado que la Red Telefonica requiera de constante atencion en su desarrollo y mantenimiento. Tambien es cierto que el desarrollo tecnologico ha influido en la construccion y mantenimiento de la red, lo cual implica grandes inversiones economicas.

Para Telefonos de Mexico la seguridad en todos los ambitos es uno de los parametros mas importantes considerados dentro del analisis realizado para la toma de decisiones al efectuar una inversion economica importante.

Este concepto de seguridad en toda inversion, implica un costo que no es una inversion redituable y que no revela su utilidad sino hasta la existencia de alguna eventual contingencia.

La evolucion y el crecimiento telefonico de la Ciudad de Mexico ha configurado una red telefonica altamente compleja en distintos aspectos. Estos aspectos son tan diversos como: una gran variedad de equipos de conmutacion, diferentes medios de transmision, diversas filosofias de enrutamiento, crecimiento constante de lineas telefonicas, demanda telefonica cada vez mayor, incremento de la densidad telefonica que provoca la congestion y saturacion de equipos.

Los proyectos de respaldo que tienen como objetivo la seguridad en la Red Telefonica no se habian constituido una necesidad por razones tales como la baja cantidad de canales transmitidos en las diferentes rutas entre centrales tandem. Con el nuevo concepto de centrales tandem digitales entra en operacion la (1) Red de Fibra Optica entre Centrales Tandem. Debido al volumen de canales de transmision se hace cada vez mas necesario el aseguramiento de la comunicacion, y por supuesto al costo mas bajo posible.

El presente trabajo tiene como objetivo principal proponer una solucion como alternativa para el aseguramiento de la comunicacion con objeto de que esta se mantenga durante alguna eventual contingencia. Como objetivo secundario esta el estudio comparativo de las distancias entre centrales telefonicas del D.F.

El trabajo esta organizado de la siguiente manera:

En el capitulo I se presenta un panorama general de los elementos que constituyen la Red Telefonica del D.F., asi como el planteamiento de su problematica.

En el capitulo II se describe y analiza el tratamiento de la informacion necesaria, para la determinacion de la Red Auxiliar mediante la implementacion de 3 modelos matematicos propuestos. Asimismo para la estimacion de los parametros involucrados en dichos modelos se hace necesario realizar un muestreo aleatorio simple el cual tambien se detalla en este capitulo.

En el capitulo III se describe la metodologia para el diseño

(1)

Ver definicion en el anexo I.

de la Red Auxiliar. El diseño se realiza en dos etapas. en la primera etapa el problema se plantea como un problema del agente viajero para determinar la forma de la red mediante un circuito. Se presentan entonces 2 algoritmos, se analizan y comparan las soluciones obtenidas, el tiempo consumido y las ventajas y desventajas que presenta cada uno de ellos.

En la segunda etapa se implementa un algoritmo de ruta más corta para determinar las rutas alternas de la Red Auxiliar. Estas rutas alternas toman como guia el circuito obtenido en la primera etapa.

En el capítulo IV se realiza un resumen de los resultados obtenidos.

Finalmente se presentan las conclusiones sobre el trabajo realizado.

Se incluyen 2 anexos, en el anexo I se definen brevemente los conceptos basicos telefonicos utilizados en el desarrollo de este trabajo, en el anexo II se presentan los programas implementados para el desarrollo de este trabajo.

El objetivo de este capítulo es presentar un panorama general de la Red Telefónica en el D.F. .

El capítulo contiene seis secciones. En la primera sección se explica el origen de una central telefónica, la formación de los diferentes tipos de redes telefónicas y la importancia de una central tandem dentro de una red telefónica.

En la segunda sección se describe la función que se desarrolla en las centrales telefónicas la cual se denomina "Commutación Telefónica."

En la tercera sección se describen los diferentes tipos de equipo con los cuales se lleva a cabo la commutación telefónica en una central de la Red Telefónica del D.F. .

En la cuarta sección se detallan los medios de transmisión, que son los elementos mediante los cuales se establece un enlace de comunicación entre centrales.

En la quinta sección se describe la estructura de la Red Telefónica del D.F., su división geográfica que consiste de seis (6) regiones. Asimismo se presenta la Red de Fibra Óptica existente entre Centrales Tandem dentro de la Red Telefónica.

Finalmente en la sexta sección se plantea la problemática de la Red Telefónica cuya solución es el propósito del presente trabajo.

(i) Ver definición en el anexo I

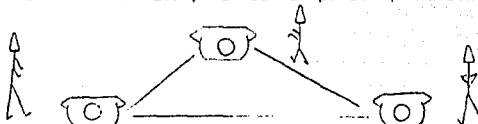
## **I ASPECTOS GENERALES DE LA RED TELEFONICA**

## I.1 RED TELEFONICA

La generalización primaria de la telefonía entre varias personas conduce a implementar una serie de aparatos y líneas dependiendo del número de personas.



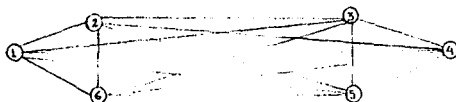
Comunicación entre dos personas (2 aparatos, una línea)



Comunicación entre tres personas (3 aparatos, 3 líneas)

- FIGURA # 1 -

Se observa que en un principio la forma más rudimentaria de establecer comunicación entre  $n$  abonados es tender, desde cada uno de ellos  $n-1$  líneas telefónicas de forma que pueda conectarse a todos los demás.



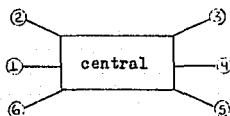
- FIGURA # 2 -

Número de líneas para seis usuarios

$$\frac{n(n-1)}{2} = \frac{6(5)}{2} = 15$$

Se deduce fácilmente que se necesita disminuir el numero de líneas telefónicas por lo que es necesario conectarlos a un organo en el cual se realice una conmutación que permita enlazar dos abonados entre sí cuando quieran hablar. Pero sin necesidad de tenerlos conectados siempre.

Es así como nace la central telefónica, ante la imposibilidad de conectar entre sí directamente a todos los abonados.



- FIGURA # 3 -

Ahora bien en un pueblo o localidad pequeña la central cubrirá las necesidades telefónicas sin gran esfuerzo. Pero si se habla de una ciudad, se encontrarán problemas.

En primer lugar las centrales tienen una capacidad determinada. Por tanto llegará un momento en que la central no dará abasto para más abonados. Por otra parte al crecer el numero de abonados, existe la posibilidad de que crezcan las distancias a la central, esto representaría una cantidad enorme de dinero necesaria para instalar muchos kilómetros de conductores, ya que cada abonado necesitaría una línea. Y además a medida que los conductores sean más largos aumentará la resistencia eléctrica

de las líneas y la corriente disminuiría. Cuando disminuya por debajo de cierto límite ya no serviría. Por todo esto es necesario en estos casos instalar más centrales de esta forma los usuarios tendrán siempre una central cercana a donde conectarse y las distancias no serán muy grandes.

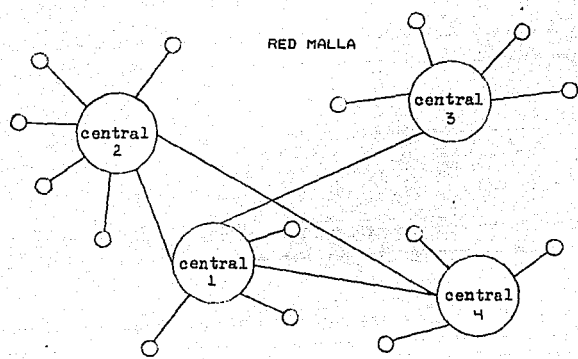
Inindudablemente habrá abonados de una central que deseen hablar con abonados de otra central diferente y por tanto habrá que enlazar a las centrales entre sí.

Para enlazar a las centrales ,el número de circuitos de enlace no necesita ser tan grande como las líneas de abonado que deben ser tantas como abonados.

Basta entonces con un pequeño porcentaje de circuitos entre las centrales. Debe tenerse en cuenta que una línea de abonado sólo la puede usar ese abonado, pero un enlace entre dos centrales lo usan al menos dos abonados mientras están hablando, y luego queda libre para que lo usen otros abonados diferentes.

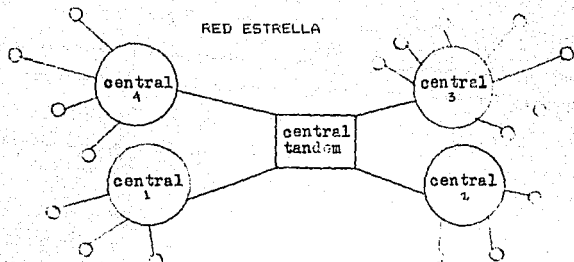
Es como la diferencia entre un coche particular y un taxi. El coche particular lo usa solo su dueño, y cuando no lo usa está parado e inactivo. Pero un taxi, una vez que lo ha utilizado una persona queda libre para que lo use otra.

Es así como se va constituyendo una Red Telefónica, en forma de Red Malla (Ver la figura # 4).



- FIGURA # 4 -

Si el número de abonados continúa creciendo, será necesaria la creación de nuevas centrales, teniendo que enlazar cada central nueva con cada una de las otras centrales, mientras es pequeño el número de centrales el enlace entre centrales no presentan problemas pero cuando el número de centrales es muy grande en ese caso el enlazarlas todas resulta una tarea laboriosa y complicada surgiendo el problema igual que en el caso de los abonados, no se puede unir a cada abonado con cada uno de los demás, en ese caso la solución es la misma, varias centrales se conectan a otra central la cual resulta ser una central de centrales denominada Central Tandem. Formándose así una Red Estrella (Figura # 5).



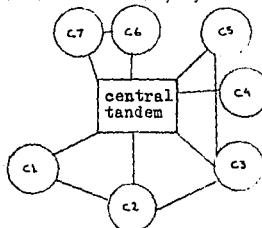
- FIGURA # 5 -

Así cuando un abonado desea hablar con otro de una central diferente la central primera se conecta a la Tandem y de esta se dirige hacia la central destino. Las centrales conectadas a este tandem formarán la Región o Área Tandem.

En la práctica se emplea un tipo de red mixta que tiene su central tandem a la que se conectan las centrales y por otra parte existen enlaces directos entre centrales en las que existe un alto índice de tráfico entre ellas.

#### RED MIXTA

(Combinación de Red Maya y Red Estrella)



- FIGURA # 6 -

Como se mencionó anteriormente una Red Telefónica se compone de un grupo de líneas de abonados conectadas a centrales. La función que realiza una central telefónica es la conmutación telefónica, la cual se describe en la siguiente sección.

## I.2 CONMUTACION TELEFONICA

El concepto de conmutación telefónica se define como el medio por el cual se establece y mantiene un camino de comunicación para distribuir el tráfico telefónico.

Los principales procesos son Selección, Conexión y Desconexión de trayectorias de voz.

En la central telefónica es donde se desarrolla la conmutación mediante los siguientes pasos.

- 1) Al descolgar el abonado A su microteléfono se envía una señal a la central telefónica a la que está conectado, iniciándose el proceso de conmutación.
- 2) Mediante etapas de control se identifica el origen de la llamada.
- 3) Un dispositivo selecciona un circuito de conexión desocupado.
- 4) Y entonces se indica que la línea del abonado A se encuentra ocupada.
- 5) De la central se envía la señal de invitación a marcar.
- 6) El abonado A solicita el número del abonado B.
- 7) Mediante etapas de control se busca un camino de comunicación.
- 8) Se conecta al abonado B.

- 9) El abonado B recibe el mensaje de llamada y descuelga su microteléfono.
  - 10) Se señala ocupada la línea del abonado B.
  - 11) Se establece conexión entre los abonados A y B
  - 12) Los abonados envían señales de conclusión al colgar su microteléfono.
  - 13) Se corta la conexión entre los dos abonados.
  - 14) Se restituye el circuito de conexión.
- El proceso de conmutación telefónica se lleva a cabo mediante diferentes equipos. Las principales características de estos equipos se presentan en la siguiente sección .

### **1.3 EQUIPOS DE CONMUTACION**

Para determinar la tecnología de una central telefónica y distribuir su tráfico telefónico se siguen un conjunto de normas técnicas que le permiten a la central cumplir con su objetivo de establecer llamadas propiciando la interconexión de equipos de diversos proveedores y diferentes tecnologías. A continuación se describen brevemente las principales características de los equipos de conmutación telefónica, utilizados en la Ciudad de México.

**Sistema AGF.**- Es un sistema telefónico automático, analógico con grupos de 500 abonados y selectores electromecánicos de 500 líneas, maneja tráfico local esta previsto para centrales en ciudades grandes y de tamaño medio.

**Sistema ARF .**-Es un sistema analógico que emplea elementos de conexión llamados "Selectores de Coordenadas". Con grupos de 200 abonados y maneja tráfico local. El voltaje nominal de trabajo es de 48 volts. El tiempo que transcurre desde que el abonado A levanta el auricular de su teléfono hasta que recibe la invitación a marcar es de 500 milisegundos.

**Sistema ARM.**- Es un sistema analógico que maneja tráfico interurbano este tipo de central se le conoce como central de transito y no tiene abonados conecta-

dos, si no que esta conectada a otras centrales que bien pueden ser del mismo tipo o bien centrales las cuales si tienen abonados conectados.

**Sistema AKE.-** Al igual que el sistema ARM se conoce como central de tránsito, este sistema es controlado mediante una computadora que tiene programas que ejecutan las funciones necesarias realizadas en una central.

**Sistema AXE.-** Es un sistema digital de conmutación telefónica que emplea el control mediante programa almacenado. El sistema esta constituido en su totalidad por grupos de tarjetas de circuito impreso. El número maximo de líneas de abonados es de cuarenta mil en grupos de 128 abonados. Cuenta con un dispositivo que tiene como función primordial la supervisión continua y periódica del Hardware.

**Sistema 12 .-** Es un sistema digital en el cual las funciones de control en el sistema se manejan exclusivamente por microprocesadores asociados a diferentes puertos de red. El sistema 12 cubre la entera gama de aplicaciones de centrales locales tandem interurbanas e internacionales. También es capaz de manejar mas de 750 000 in-

tentos por hr., la cantidad de tráfico que pue-  
de conmutarse es de 25 000 erlangs.

Otra parte de la tecnología usada en las centrales son los me-  
dios de transmisión los cuales se describen en la sección si-  
guiente.

#### I.4 MEDIOS DE TRANSMISION

Para enlazar a las centrales entre si existen dos tipos de medios de transmision Fisico y PCM.

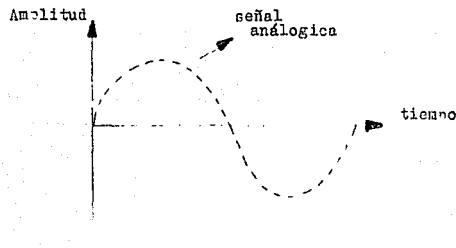
La calidad de un medio de transmision se define por la fidelidad de la reproducción de la voz en una conversación telefónica. Los parámetros que degradan una comunicación se deben a causas como la atenuación, ruido, eco, diafonía, ancho de banda, punto de canto y efecto local.

Medio de Transmisión Fisico .- es el enlace mas conveniente de usar entre centrales con tipo de equipo analogico como son AGF, ARF, ARM y AKE.

La desventaja que presenta es que, despues de diez KMS. de enlace rebasa el límite de atenuación permitido.

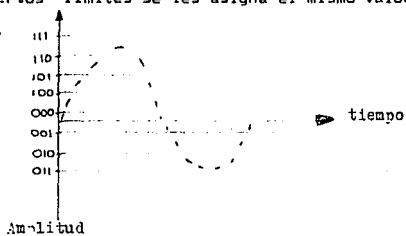
Medio de Transmisión PCM .- (Modulación de Pulses Codificados) Su función es la Transmisión de datos mediante la conversión de voz a pulsos codificados. PCM puede definirse como un método para transformar información analógica a digital. La conversión de la señal analógica a una digital esta basada en tres principios: Muestreo, Cuantificación, y Codificación.

Muestreo .- de acuerdo a la teoría de la información la transmisión de la información contenida en una señal puede realizarse sin necesidad de transmitir la señal completa, es suficiente tomar muestras. Las muestras se toman de una señal de frecuencia vocal en intervalos de tiempo con la misma duración. (miliseg.). ( Ver figura # 7).



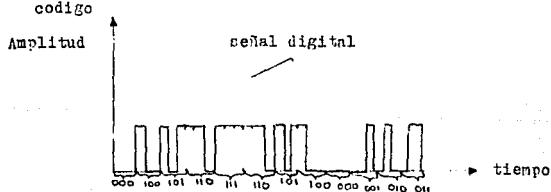
-FIGURA # 7 -

Cuantificación .- a todas las muestras cuyas amplitudes estan dentro de ciertos limites se les asigna el mismo valor en sistema binario.



-FIGURA # 8 -

Codificacion .- finalmente las muestras cuantificadas se representan en sistema binario.



- FIGURA # 9 -

Este medio de transmisión se copia mejor con equipos digitales tales como el equipo AXE y Sistema-12. Una de las últimas adiciones a la tecnología de PCM es usar el cable de Fibra Óptica, el cual es un ensamble de 144 fibras, la parte central consiste de un núcleo con índice de refracción grande y la parte exterior de un revestimiento con un índice de refracción menor. Los cables de Fibra Óptica han sido utilizados en sistemas telefónicos urbanos, sistemas de comunicación submarina intercontinentales, sistemas de comunicación de datos, etc. .

#### Ventajas de utilización de Fibra Óptica:

- Es inmune a la interferencia electromagnética.
- No radia señales, ni tiene problemas de emisión de ruido.
- No es susceptible de diafonía.
- La potencia óptica transmitida es de 500 uw. (micro watt) que no produce descargas eléctricas en caso de ruptura del cable.
- No puede ser interferida.
- Sus bajas pérdidas de transmisión implican el no uso de repetidores.
- Pequeño tamaño, ligero, soporta temperaturas altas.

#### Desventajas de utilización de Fibra Óptica:

- Es una tecnología muy desarrollada que requiere de capacitación costosa del personal.
- Concentra demasiados canales para la transmisión de información (5 hilos x 1920 canales en cada cable) por lo tanto en

caso de ruptura quedarían sin servicio un gran número de usuarios.

- El material (silica) que se utiliza para su fabricación es muy costoso e importado.

Una vez presentados los aspectos generales de la Red Telefónica se hablará específicamente de la Red Telefónica del D.F. .

### I.5 ESTRUCTURA DE LA RED TELEFONICA EN EL D.F.

La Red Telefonica Urbana Metropolitana se encuentra constituida por ochenta centrales, las cuales se enlistan en la tabla # 1, con las siglas correspondientes.

Nombre del Tandem: Nextengo

Nombre de la Central	Siglas
Arboledas	Ar
Atzcapotzalco	At
Echegaray	Ec
Golfo	Go
San Mateo	Mt
Naucalpan	Na
Nextengo	Nx
Popotla	Pt
Rosario	Ra
Santa Maria	Sm
Satelite	St
Tacuba	Ta
Tlancopantla	Tl
Viveros	Ve

- TABLA # 1 -

**Nombre del Tandem: Vallejo**

<b>Nombre de la Central</b>	<b>Siglas</b>
Azteca	Az
Aragon	Ag
Alta Villa	Al
Atzacalco	Az
Chamizal	Cm
Ecatepec	Ea
Guadalupe	Gu
Lago	La
Lindavista	Li
Santa Rosa	Sa
Santa Clara	Sc
Vallejo	Vi

**Nombre del Tandem: Roma**

<b>Nombre de la Central</b>	<b>Siglas</b>
Bosques	Bo
Chapultepec	Cn
Chiapas	Ci
Condesa	Co
Morales	Mo
Polanco	Pi
Roma	Ro
Santa Fe	Sf
Sotelo	So
Tecamachalco	Te
Tacubaya	Ty

Nombre del Tandem: Centro Telefónico

Nombre de la Central	Siglas
Apartado	Ap
Balbuena	Ba
Centro Telefónico	Ct
Doctores	Do
Ejercito de Oriente	Eo
Madrid	Ma
Moctezuma	Mc
Malinche	Ml
Nezahualcoyotl	Ne
Peralvillo	Pe
Parque Vía	Pv
Sabino	Sb
Tlatelolco	Tc
Torres	To
Viaducto	Vd
Victoria	Vi
Zaragoza	Za
Zocalo	Zo

Nombre del Tandem: Culhuacán

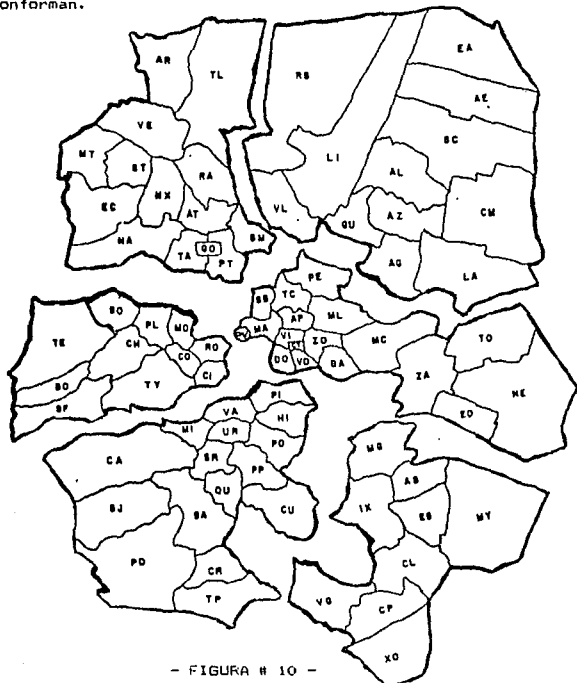
Nombre de la Central	Siglas
Abastos	Ab
Coapa	Cp
Culhuacán	C1

- TABLA # 1 -

<b>Estrella</b>	<b>Es</b>
<b>Ixtapalapa</b>	<b>Ix</b>
<b>Magdalena</b>	<b>Mg</b>
<b>Meyehualco</b>	<b>My</b>
<b>Xochimilco</b>	<b>Xo</b>
<b>Vergel</b>	<b>Vg</b>
<b>Nombre del Tandem: Popocatepetl</b>	
<b>Nombre de la Central</b>	<b>Siglas</b>
<b>Castañeda</b>	<b>Ca</b>
<b>Carrasco</b>	<b>Cr</b>
<b>Churubusco</b>	<b>Cu</b>
<b>Hidalgo</b>	<b>Hi</b>
<b>Mixcoac</b>	<b>Mi</b>
<b>Pedregal</b>	<b>Pd</b>
<b>Piedad</b>	<b>Pi</b>
<b>Portales</b>	<b>Po</b>
<b>Popocatepetl</b>	<b>Pp</b>
<b>Quevedo</b>	<b>Qu</b>
<b>San Angel</b>	<b>Sa</b>
<b>San Jeronimo</b>	<b>Sj</b>
<b>Saro</b>	<b>Sr</b>
<b>Tlalpan</b>	<b>Tp</b>
<b>Urraza</b>	<b>Ur</b>
<b>Valle</b>	<b>Va</b>

- TABLA # 1 -

Estas centrales están distribuidas en seis regiones. En cada región existe una central tandem la cual concentra y distribuye el tráfico telefónico de las centrales ubicadas en esa región. En el siguiente mapa se muestra cada región y las centrales que la conforman.

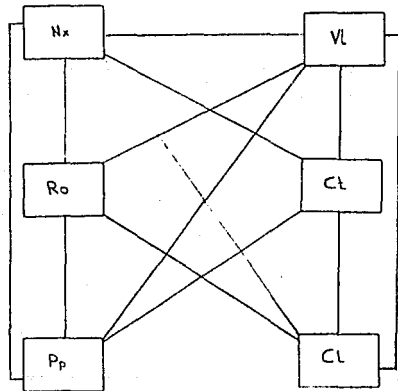


## **II TRATAMIENTO Y ANALISIS DE LA INFORMACION FUENTE**

Es importante mencionar que dentro de la Red Urbana Metropolitana existe una Red Intertandem de fibra óptica cuya función es optimizar el flujo de tráfico telefónico dentro de la red urbana. Esta red Intertandem se encuentra constituida por las centrales tandem Nextengo, Vallejo, Roma, Centro Telefónico, Popocatépetl y Culhuacán.

Estas centrales tandem se encuentran enlazadas como se muestra en la figura # 11.

#### RED DE FIBRA ÓPTICA



- FIGURA # 11 -

## I.6 PROBLEMATICA DE LA RED TELEFONICA EN EL D.F.

Con el concepto de centrales tandem digitales surgió la problemática de diseñar una red digital intertandem que reuniera las características de calidad de transmisión, eficiencia y volumen necesarios para explotar las facilidades proporcionadas por los equipos digitales, por esta razón se diseño la red intertandem de fibra óptica (ver figura # 11) que enlaza los edificios que alojan las centrales tandem digitales de las seis áreas tandem de la Ciudad de México, entre sí.

Así mismo el respaldo al proyecto de la red de fibra óptica del área metropolitana entre edificios con centrales tandem no se había constituido en una necesidad por razones tales como la baja cantidad de canales transmitidos en las diferentes rutas. Debido al gran volumen de canales transmitidos ( $5 \times 1920$  canales por cable), se hace necesario el aseguramiento de la comunicación para que ésta no se pierda en caso de rupturas en los medios de transmisión. Estas rupturas pueden deberse a efectos del tiempo, robos, daños causados por roedores o bien efectos naturales no controlables de movimientos telúricos.

Surge así la necesidad de asegurar la comunicación entre los equipos de conmutación tandem del área metropolitana en caso de emergencia. Este problema nos ocupará como objetivo principal.

Se pretende entonces ofrecer una solución al problema mencionado

mediante rutas alternas de respaldo de Fibra Óptica que enlazan a los equipos tandem entre si, en forma confiable y eficiente conformandose una red de seguridad diseñada con la tecnología avanzada tanto en equipo, como en medios de transmisión al costo más bajo posible.

Es importante mencionar las consideraciones de interés para Telefónos de México S. A. en el diseño de esta Red Auxiliar.

- 1) Cualquiera de las centrales que conforman la red urbana pueden formar parte de la Red Auxiliar.
- 2) Por razones de optimización se pueden proponer enlaces que no existan dentro de la red urbana metropolitana.
- 3) Cualquier enlace dentro de la red propuesta no debe exceder a los 40 kms. de longitud debido a que por atenuación la tecnología de fibra óptica existente, no permite enlaces de mayor longitud.

## **II TRATAMIENTO Y ANALISIS DE LA INFORMACION FUENTE**

El objetivo de este capitulo es plantear y desarrollar la metodología para el tratamiento de la informacion fuente de la Red Telefónica, para el diseño de la red auxiliar.

Esto es, nos interesa encontrar la distancia más corta entre todo par de centrales. Son dos propósitos los que perseguimos con este estudio: uno, hacer una comparación entre las distancias de rutas telefónicas existentes actualmente y las encontradas en nuestro estudio. Esta comparación arroja resultados interesantes para Teléfonos de México. El segundo propósito es proporcionar los datos necesarios para calcular las rutas mas cortas entre centrales tandem.

Este capítulo consta de tres secciones.

En la primera sección se analiza la información existente y se define un primer modelo para la estimación de la información fuente, analizándose sus ventajas y desventajas.

En la segunda sección se plantea un segundo modelo y se desarrolla un muestreo aleatorio simple para estimar los parámetros requeridos en este segundo modelo.

En la tercera sección se propone un tercer modelo que constituye una variación del enfoque del problema con respecto al segundo modelo.

En la cuarta sección se presenta un análisis comparativo entre el segundo y tercer modelos y se concluye que el tercer modelo proporciona datos más confiables.

En la quinta sección se realiza la estimación de la información fuente requerida mediante el tercer modelo propuesto.

### III.1.- ANALISIS DEL REGISTRO DE DISTANCIAS ENTRE CENTRALES TELEFONICAS.

En la informacion para el diseño de la red de seguridad una de las variables que se involucra, es la distancia entre cada par de centrales, es decir es necesario contar con una matriz de distancias.

Sin embargo la informacion registrada en Telefonos de Mexico no se encuentra completamente actualizada (ver tabla # 2).

Como se mencionó anteriormente dentro del area metropolitana existen ochenta centrales, los enlaces existentes registrados en Telefonos de Mexico entre cada par de centrales y su longitud de ruta asociada se muestran en la tabla # 2. Las distancias entre todo par de centrales representan 3160 enlaces y únicamente se cuenta con un 21% de informacion. Esto nos llevo a pensar en un método para completar la matriz de distancias. Ademas que se tiene la alternativa de proponer enlaces no existentes en el diseño de la red auxiliar.

Por otra parte no se tiene la certeza de que estas distancias correspondan a rutas mas cortas.

TABLA DE LONGITUD DE RUTA REGISTRADA

ENLACE	LONGITUD DE RUTA	ENLACE	LONGITUD DE RUTA	ENLACE	LONGITUD DE RUTA
AB-CL	8.2	AB-CR	25.7	HB-CT	21.6
AB-ES	2.1	AB-ML	24.1	AB-MU	21.3
AB-MY	8.8	AB-PP	6.7	AB-RD	18.5
AB-VI	14.8	AB-VI	26.5	AF-VL	21.3
AE-CL	43.4	AE-CO	30.7	AE-CI	24.7
AE-MO	32.0	AE-RU	24.2	AE-VI	28.3
AE-VL	20.1	AG-AZ	1.8	AG-LL	1.0
AG-CM	8.1	AG-CT	8.4	AG-TN	31.5
AG-ED	23.5	AG-IL	22.0	AG-LH	4.7
AG-ML	5.0	AG-ML	4.2	AG-TL	22.9
AG-PE	3.3	AG-PP	18.5	AG-RU	11.1
AG-TE	20.7	AG-VI	7.5	AG-VL	15.8
AP-MA	2.7	AP-ML	2.3	AF-PE	3.7
AP-SB	3.0	AP-TC	1.4	AF-ZD	3.0
AR-AZ	31.5	AR-CT	21.3	AR-EC	14.5
AR-GO	14.2	AR-LA	26.5	AR-MY	42.6
AR-NA	18.2	AR-NE	35.8	AR-PP	28.2
AR-FT	15.2	AR-SC	17.7	AR-TL	3.7
AR-UR	25.7	AR-VI	21.3	AR-VL	21.4
AT-RA	3.9	AT-SB	4.0	AT-SM	1.0
AT-ST	7.1	AT-TL	7.6	AS-CI	15.3
AZ-CT	11.2	AZ-GU	17.3	AZ-GU	1.1
AZ-IX	24.8	AZ-MG	12.5	AZ-NE	15.7
AZ-PO	21.6	AZ-SC	15.2	AZ-TL	27.6
AZ-UR	17.9	AZ-VI	10.4	BA-CL	20.8
BA-CT	5.6	BA-DU	3.7	BA-MC	2.7
BA-FI	4.1	BA-FF	13.7	BA-VI	5.1
BA-VL	13.0	BA-ZH	5.4	BA-ZG	1.5
BO-CH	8.2	BO-CL	27.8	BO-CO	15.0
BO-CA	29.7	BO-CT	16.1	BO-MU	14.6
BO-PP	20.4	BO-RD	12.4	BO-SF	1.4
BO-SO	9.6	BO-VL	20.1	CA-CL	11.7
CA-CO	11.2	CH-CP	18.5	CH-CR	14.6
CA-CT	12.1	CH-ES	15.7	CH-MI	2.1
CA-NA	19.6	CA-NE	26.4	CH-PP	5.3
CH-RU	9.7	CA-SA	3.2	CH-EJ	5.3
CA-TE	19.3	CA-TP	18.3	CH-VH	5.9
CA-VI	11.7	CA-VL	18.9	CH-CI	7.6
CH-CL	21.2	CH-CO	5.0	CH-CT	9.9
CH-CU	17.3	CH-IX	18.3	CH-MA	10.9
CH-MC	15.1	CH-MO	4.3	CH-PP	14.8
CH-NU	6.2	CH-SA	17.3	CH-SF	7.1
CH-SO	3.2	CH-ST	22.4	CH-TZ	3.4
CH-TL	22.0	CH-TY	5.8	CH-VH	12.8
CH-VE	25.7	CH-VI	7.4	CH-VL	14.5
CI-CL	17.4	CI-CO	1.7	CI-CP	20.6
CI-CR	19.3	CI-CT	6.5	CI-DO	2.6
CI-MA	3.4	CI-MO	4.1	CI-PI	2.9

- TABLA # 2 -

TABLA DE LONGITUD DE RUTA REGISTRADA (LRR)

ENLACE	LONGITUD DE RUTA	ENLACE	LONGITUD DE RUTA	ENLACE	LONGITUD DE RUTA
CI-PP	10.0	CI-QU	12.0	CI-RO	1.4
CI-SC	21.5	CI-ST	17.6	CI-TL	17.8
CI-TY	3.2	CI-VA	3.1	CI-VE	20.9
CI-VI	4.6	CI-VL	9.7	CL-CM	31.7
CL-CO	17.5	CL-CP	5.2	CL-CR	17.5
CL-EC	29.5	CL-IX	4.5	CL-LA	28.3
CL-LI	23.6	CL-MA	16.3	CL-MC	20.1
CL-MG	8.2	CL-MI	12.0	CL-ML	20.1
CL-MY	10.0	CL-PP	6.2	CL-PT	23.3
CL-QU	10.8	CL-SF	26.3	CL-SJ	16.7
CL-TY	19.6	CL-VA	12.5	CL-VD	18.1
CL-VE	35.9	CL-VL	22.5	CL-XO	8.8
CL-ZA	24.3	CM-CO	23.5	CM-CT	16.5
CM-LA	3.4	CM-PP	31.5	CM-RO	22.0
CM-VI	16.0	CM-VL	13.7	CO-CR	19.4
CO-CT	5.2	CO-EU	20.0	CO-MA	7.7
CO-MI	9.1	CO-MO	3.2	CO-PP	10.1
CO-RO	1.5	CO-SF	11.8	CO-TY	5.1
CO-VA	3.5	CO-VE	26.9	CO-VI	4.7
CO-VL	9.8	CP-CT	21.7	CP-CU	8.1
CP-ES	11.2	CP-GO	25.1	CP-GU	28.8
CP-MA	22.7	CP-MC	26.9	CP-PP	13.4
CP-RO	21.2	CP-SJ	23.3	CP-TE	28.8
CP-UR	14.0	CP-VI	21.2	CP-VL	28.4
CP-xO	3.6	CR-CT	17.8	CR-ED	32.9
CR-ES	23.5	CR-MI	13.7	CR-ML	22.2
CR-MO	20.7	CR-PP	9.3	CR-QU	11.9
CR-RO	16.7	CR-SJ	7.8	CR-TY	21.5
CR-VA	14.1	CR-VI	18.3	CR-ZA	27.6
CT-AP	2.4	CT-CL	14.5	CT-CU	13.6
CT-DO	1.1	CT-EA	24.2	CT-EC	14.3
CT-EO	15.1	CT-ES	20.5	CT-GO	6.5
CT-HI	5.4	CT-IX	10.5	CT-LA	13.1
CT-LI	8.4	CT-MA	1.8	CT-MC	5.6
CT-MG	8.8	CT-MI	10.1	CT-ML	3.0
CT-MQ	5.2	CT-MT	16.3	CT-MY	23.0
CT-NH	10.3	CT-NE	15.5	CT-PD	18.5
CT-PE	5.7	CT-PO	7.6	CT-PP	8.5
CT-PT	8.1	CT-QU	10.5	CT-RA	18.1
CT-RO	2.8	CT-RS	13.2	CT-SA	13.6
CT-SB	4.0	CT-SC	17.4	CT-SF	13.7
CT-SJ	17.0	CT-SQ	8.5	CT-ST	17.4
CT-TC	3.5	CT-TE	13.0	CT-TL	17.6
CT-TF	21.5	CT-TY	6.4	CT-UR	6.8
CT-UR	7.7	CT-VD	3.6	CT-VE	20.7
CT-VI	0.5	CT-VL	8.4	CT-XO	25.3
CT-ZA	9.8	CU-GO	17.0	CU-IX	4.3
CU-NA	21.0	CU-PI	8.2	CU-PO	4.1

- TABLA # 2 -

TABLA DE LONGITUD DE RUTA REGISTRADA (LRR)

ENLACE	LONGITUD DE RUTA	ENLACE	LONGITUD DE RUTA	ENLACE	LONGITUD DE RUTA
CU-QU	2.8	CU-SR	4.0	CU-IE	20.7
CU-TP	7.9	DO-MA	2.7	DO-FI	2.1
EA-GU	19.9	EA-LI	31.0	EA-SC	6.8
EA-TL	20.8	EA-VL	31.6	EC-MO	15.9
EC-NA	3.5	EC-PP	21.7	EC-RO	13.1
EC-ST	3.1	EC-TL	17.7	EC-UR	18.3
EC-VI	13.8	ED-MH	16.9	ED-MC	20.7
ED-MI	24.3	ED-MO	20.0	ED-PP	20.6
ED-RO	18.8	ED-SF	28.6	ED-SJ	3.1
ED-VA	23.3	ED-VI	15.6	ED-ZA	4.9
ES-CH	15.7	ES-CL	6.0	ES-CU	6.8
ES-HI	8.5	ES-IA	4.3	ES-HY	4.8
ES-PD	22.0	ES-PO	0.0	ES-PP	8.3
ES-QU	18.6	ES-RO	16.4	ES-SJ	22.7
ES-TF	25.0	ES-VA	12.6	ES-VL	28.5
ES-XO	14.8	GO-HT	2.9	GO-CH	5.7
GO-CL	21.9	GO-EC	7.2	GO-IX	18.0
GO-LA	19.2	GO-MA	5.3	GO-MO	12.3
GO-MG	15.7	GO-MI	13.5	GO-MU	3.1
GO-NA	4.0	GO-NE	21.6	GO-PD	21.9
GO-PO	14.8	GO-PP	14.5	GO-PT	1.0
GO-RA	6.4	GO-RD	5.9	GO-RS	9.8
GO-SH	17.0	GO-SB	3.4	GO-SC	13.5
GO-SM	3.9	GO-SO	4.0	GO-ST	9.8
GO-TA	1.2	GO-TL	10.5	GO-TF	24.9
GO-TY	7.6	GO-UR	10.5	GO-VE	13.6
GO-VL	5.7	GO-ZA	16.3	GU-NA	18.1
GU-NE	22.6	GU-PE	1.9	GU-SF	24.2
GU-ST	24.5	GU-TL	24.7	GU-UR	14.8
HI-MG	3.3	HI-PI	2.3	HI-PO	2.5
IX-LA	26.7	IX-MY	8.4	IX-NA	21.0
IX-PE	19.8	IX-FI	7.7	IX-FO	3.6
IX-SC	31.0	IX-TE	21.7	IX-TL	26.5
IX-VL	22.0	LA-MG	21.7	LA-MO	17.5
LA-NA	23.2	LA-NE	22.9	LA-PP	23.2
LA-RO	15.8	LA-SC	9.5	LA-VI	12.6
LA-VL	12.3	LI-FE	4.1	LI-PP	18.5
LI-RO	11.1	LI-UR	15.1	MA-MO	3.4
MA-PP	12.1	MA-FV	1.0	MA-SB	2.6
MA-SC	18.4	MA-TC	3.5	MA-TF	22.5
MA-VE	21.7	MA-VI	1.5	MA-VL	10.6
MA-ZO	3.6	MC-MG	4.9	MC-NA	16.3
MC-NE	9.7	MC-PP	15.8	MC-RO	9.0
MC-SC	22.6	MC-TL	22.8	MC-UR	12.9
MC-VL	14.4	MC-ZA	4.0	MI-ZO	3.3
MG-NA	19.7	MG-VL	17.0	MI-NE	24.3
MI-PP	4.5	MI-RO	7.6	MI-SF	7.9
MI-SR	2.7	MI-TY	3.1	MI-VA	3.2

- TABLA # 2 -

TABLA DE LONGITUD DE RUTA REGISTRADA (LRR)

ENLACE	LONGITUD DE RUTA	ENLACE	LONGITUD DE RUTA	ENLACE	LONGITUD DE RUTA
MI-VI	9.6	MI-VL	16.8	ML-MO	8.8
ML-VI	3.9	ML-VL	13.2	ML-ZA	13.6
ML-ZO	2.0	MO-CL	18.1	MO-PP	11.4
MO-RO	2.8	MO-SF	13.1	MO-SJ	17.3
MO-SO	4.3	MO-TA	2.8	MO-VA	9.4
MO-VL	11.1	MO-ZA	14.6	MT-VI	16.8
MT-VL	15.3	MY-CA	19.8	MY-NE	7.5
MY-PP	18.8	MY-SJ	24.6	MY-UR	15.3
MY-VI	22.5	MY-VI	26.3	NA-FE	16.3
NA-PO	18.8	NA-SC	27.5	NA-SO	2.8
NA-TL	14.5	NA-UR	15.1	NA-ZA	20.3
NE-LI	22.9	NE-RA	33.2	NE-RO	18.2
NE-SJ	32.1	NE-TL	32.1	NE-UR	22.2
NE-VI	15.0	NE-VL	22.9	NE-ZA	5.8
PD-PP	14.2	PD-RA	35.7	PD-SA	4.9
PD-TP	7.3	PD-UR	10.8	PD-VI	18.0
PE-SC	11.2	PE-SF	22.3	PE-SM	4.6
PE-ST	22.6	PE-TC	3.1	PE-TL	22.8
PE-UR	12.9	PE-ZO	5.0	PI-FO	4.6
PI-VA	3.8	PI-ZO	4.3	PO-SC	27.8
PO-SR	4.5	PO-ST	25.1	PO-TE	18.5
PO-V4	4.4	PO-ZA	20.6	PP-CU	3.1
PP-HI	0.3	PP-PT	15.1	PP-QU	2.6
PP-RO	8.6	PP-SF	18.9	PP-SJ	8.5
PP-SR	2.0	PP-TP	18.6	PP-TY	12.2
PP-VA	4.9	PP-VE	28.1	PP-VI	10.6
PP-VL	17.8	PP-ZA	20.3	PT-RO	6.9
PT-VI	7.6	PT-VL	5.2	QU-CA	6.9
QU-RO	11.2	QU-SA	2.7	QU-SR	2.4
QU-VA	7.4	QU-VL	20.4	RA-TL	4.2
RO-AT	8.2	RO-BA	6.0	RO-CL	16.0
RO-DO	2.3	RO-HI	5.9	RO-NA	8.6
RO-FI	4.1	RO-SA	9.6	RO-SB	4.0
RO-SC	20.1	RO-SF	10.3	RO-SO	7.8
RO-SR	7.8	RO-TE	9.4	RO-TL	16.4
RO-TP	19.0	RO-TY	3.6	RO-UR	5.2
RO-VA	4.1	RO-VD	7.0	RO-VE	19.5
RO-VI	3.2	RO-VL	8.3	RO-ZA	12.9
RS-TL	4.9	RS-VI	12.5	RS-VL	4.4
SA-ES	17.1	SA-FU	7.8	SA-SJ	3.4
SA-SR	4.0	SA-TF	19.7	SA-TY	6.6
SA-VA	0.7	SB-SM	3.0	SB-TC	2.8
SC-TL	14.0	SC-UR	24.1	SC-VI	16.9
SC-VL	14.2	SF-UR	8.0	SF-VI	16.6
SF-VL	18.3	SJ-CO	16.0	SJ-TE	24.1
SJ-VI	16.5	SO-VI	17.6	SO-VL	11.6
SR-TY	5.7	SR-VA	3.1	ST-MA	18.4
ST-TA	9.2	ST-UR	21.4	ST-VI	16.9

- TABLA # 2 -

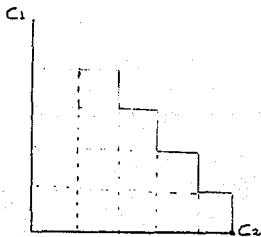
TABLA DE LONGITUD DE RUTA REGISTRADA (Lm)

ENLACE	LONGITUD DE RUTA	ENLACE	LONGITUD DE RUTA	ENLACE	LONGITUD DE RUTA
TE-VE	29.1	TE-VI	12.8	TL-UR	21.6
TL-VE	4.4	TL-VI	17.1	TL-ZA	27.4
TP-UR	13.8	TP-VL	21.0	TP-XO	9.6
TY-VA	2.9	TY-VL	11.9	UR-AF	9.0
UR-BA	9.2	UR-CA	4.5	UR-CH	9.4
UR-CI	4.1	UR-CL	11.1	UR-CO	4.7
UR-CU	5.9	UR-DO	6.0	UR-HI	4.7
UR-IX	6.9	UR-LA	19.8	UR-MG	8.1
UR-MI	2.4	UR-MO	7.5	UR-PI	5.4
UR-PO	3.7	UR-PP	3.4	UR-OU	4.4
UR-SA	5.9	UR-SR	2.0	UR-TY	3.6
UR-VA	1.4	UR-VE	24.7	UR-VL	14.4
UR-XO	17.6	UR-ZA	16.9	VA-VL	15.8
VA-XO	19.0	VD-VI	4.1	VE-VI	20.1
VI-AF	2.1	VI-AT	8.8	VI-CL	15.7
VI-CU	11.0	VI-DO	1.6	VI-ES	18.4
VI-GO	6.6	VI-GU	7.1	VI-HI	5.8
VI-IX	10.7	VI-LI	7.9	VI-MC	5.7
VI-MO	4.7	VI-PE	5.7	VI-FI	3.6
VI-PO	8.0	VI-SB	4.0	VI-SM	6.6
VI-SR	9.1	VI-TC	2.8	VI-TP	21.0
VI-TY	6.5	VI-UR	7.2	VI-VA	5.9
VI-VL	7.9	VI-XO	24.8	VI-XO	24.1
VI-ZA	9.4	VI-ZO	2.4	VL-AZ	7.2
VL-BU	4.3	VL-LI	3.8	VL-PE	4.2
VL-SB	4.4	VL-SM	2.4	VL-ZA	17.6

- TABLA # 2 -

### III.1.1 PRIMER MODELO LATITUD-LONGITUD PARA LA ESTIMACION DE DISTANCIAS ENTRE CENTRALES TELEFONICAS.

Con objeto de disponer de una tabla de referencia completa respecto a las distancias entre todo par de centrales se establecio a partir de la ubicacion geografica de centrales (representada en la tabla # 3), la primera estimacion de distancias. Es importante mencionar que la canalizacion para efectuar el enlace entre centrales sigue la guia de calles y/o avenidas. Supongase que el trazado de calles y/o avenidas fuera un trazoado "regular", ver figura # 12.



- FIGURA # 12 -

Entonces la distancia quedaria determinada por la suma de catetos.

**TABLA DE COORDENADAS GEOGRAFICAS**

SIGLAS	LONGTUD	LATITUD
AB	99 ° 4 ' 50 "	19 ° 22 ' 10 "
AE	99 ° 2 ' 10 "	19 ° 32 ' 50 "
AG	99 ° 5 ' 50 "	19 ° 27 ' 40 "
AL	99 ° 5 ' 30 "	19 ° 30 ' 15 "
AP	99 ° 8 ' 15 "	19 ° 26 ' 40 "
AR	99 ° 12 ' 50 "	19 ° 33 ' 30 "
AT	99 ° 11 ' 0 "	19 ° 28 ' 55 "
AZ	99 ° 6 ' 5 "	19 ° 29 ' 5 "
BA	99 ° 5 ' 50 "	19 ° 25 ' 0 "
BO	99 ° 14 ' 30 "	19 ° 24 ' 20 "
CA	99 ° 11 ' 40 "	19 ° 22 ' 0 "
CH	99 ° 12 ' 40 "	19 ° 25 ' 40 "
CI	99 ° 9 ' 40 "	19 ° 24 ' 50 "
CL	99 ° 6 ' 30 "	19 ° 19 ' 30 "
CM	99 ° 3 ' 10 "	19 ° 29 ' 30 "
CO	99 ° 10 ' 20 "	19 ° 24 ' 59 "
CP	99 ° 7 ' 10 "	19 ° 17 ' 30 "
CR	99 ° 10 ' 45 "	19 ° 18 ' 15 "
CT	99 ° 8 ' 40 "	19 ° 25 ' 50 "
CU	99 ° 8 ' 40 "	19 ° 20 ' 30 "
DO	99 ° 8 ' 40 "	19 ° 25 ' 15 "
EA	99 ° 2 ' 20 "	19 ° 35 ' 0 "
EC	99 ° 13 ' 50 "	19 ° 29 ' 10 "
EO	99 ° 2 ' 10 "	19 ° 23 ' 5 "
ES	99 ° 5 ' 0 "	19 ° 21 ' 30 "
GO	99 ° 11 ' 0 "	19 ° 27 ' 30 "
GU	99 ° 7 ' 15 "	19 ° 28 ' 55 "
HI	99 ° 8 ' 5 "	19 ° 23 ' 30 "
IA	99 ° 7 ' 15 "	19 ° 22 ' 40 "
LA	99 ° 3 ' 55 "	19 ° 28 ' 0 "
LI	99 ° 7 ' 50 "	19 ° 29 ' 40 "
MA	99 ° 9 ' 15 "	19 ° 26 ' 0 "
MC	99 ° 5 ' 50 "	19 ° 25 ' 30 "
MG	99 ° 6 ' 20 "	19 ° 23 ' 10 "
M1	99 ° 11 ' 10 "	19 ° 22 ' 40 "
ML	99 ° 7 ' 0 "	19 ° 26 ' 30 "
MO	99 ° 11 ' 0 "	19 ° 26 ' 15 "
NT	99 ° 15 ' 20 "	19 ° 30 ' 40 "
MY	99 ° 3 ' 0 "	19 ° 21 ' 0 "
NA	99 ° 13 ' 0 "	19 ° 26 ' 50 "
NE	99 ° 1 ' 40 "	19 ° 23 ' 50 "
NX	99 ° 12 ' 40 "	19 ° 29 ' 30 "
P0	99 ° 12 ' 40 "	19 ° 19 ' 0 "
PE	99 ° 7 ' 30 "	19 ° 28 ' 10 "
FI	99 ° 8 ' 25 "	19 ° 24 ' 30 "
PL	99 ° 11 ' 30 "	19 ° 26 ' 10 "

- TABLA # 3 -

**TABLA DE COORDENADAS GEOGRAFICAS**

SIGLAS	LONGITUD	LATITUD
FO	99 ° 8 ' 15 "	19 ° 22 ' 10 "
PP	99 ° 9 ' 30 "	19 ° 21 ' 50 "
FT	99 ° 10 ' 50 "	19 ° 27 ' 40 "
PV	99 ° 10 ' 0 "	19 ° 26 ' 0 "
QU	99 ° 10 ' 5 "	19 ° 20 ' 50 "
RA	99 ° 11 ' 20 "	19 ° 30 ' 40 "
RO	99 ° 9 ' 50 "	19 ° 25 ' 20 "
RS	99 ° 9 ' 50 "	19 ° 31 ' 10 "
SA	99 ° 11 ' 30 "	19 ° 20 ' 50 "
SB	99 ° 9 ' 30 "	19 ° 27 ' 10 "
SC	99 ° 3 ' 55 "	19 ° 32 ' 10 "
SF	99 ° 14 ' 40 "	19 ° 23 ' 10 "
SJ	99 ° 12 ' 40 "	19 ° 20 ' 0 "
SM	99 ° 9 ' 40 "	19 ° 28 ' 15 "
SO	99 ° 12 ' 50 "	19 ° 26 ' 50 "
SR	99 ° 10 ' 15 "	19 ° 21 ' 50 "
ST	99 ° 14 ' 0 "	19 ° 30 ' 30 "
TA	99 ° 11 ' 30 "	19 ° 27 ' 40 "
TC	99 ° 8 ' 15 "	19 ° 27 ' 15 "
TE	99 ° 14 ' 0 "	19 ° 25 ' 30 "
TL	99 ° 11 ' 45 "	19 ° 32 ' 40 "
TO	99 ° 0 ' 50 "	19 ° 25 ' 15 "
TP	99 ° 10 ' 0 "	19 ° 17 ' 10 "
TY	99 ° 11 ' 0 "	19 ° 24 ' 10 "
UR	99 ° 10 ' 0 "	19 ° 23 ' 0 "
VA	99 ° 9 ' 50 "	19 ° 23 ' 30 "
VD	99 ° 7 ' 50 "	19 ° 24 ' 50 "
VE	99 ° 10 ' 2 "	19 ° 31 ' 50 "
VG	99 ° 7 ' 50 "	19 ° 16 ' 15 "
VI	99 ° 8 ' 40 "	19 ° 25 ' 55 "
VL	99 ° 9 ' 15 "	19 ° 29 ' 10 "
XO	99 ° 6 ' 40 "	19 ° 15 ' 50 "
ZA	99 ° 4 ' 0 "	19 ° 24 ' 0 "
ZO	99 ° 7 ' 30 "	19 ° 25 ' 55 "

- TABLA # 3 -

La primera estimación realizada, consiste en determinar la distancia entre dos centrales por medio del cálculo de la suma de catetos,uniendo las centrales como puntos de un plano cartesiano, en el cual se localizan la latitud y longitud de cada central. Así tenemos el siguiente planteamiento:

Dadas las centrales C<sub>1</sub> y C<sub>2</sub> ubicadas por su latitud y longitud C<sub>1</sub> = (L<sub>n1</sub>, L<sub>o1</sub>) y C<sub>2</sub> = (L<sub>n2</sub>, L<sub>o2</sub>) se tiene que la distancia entre ellas (D<sub>ug</sub>) se calcula de la siguiente manera:

$$D_{ug} (C_1, C_2) = |L_{n1} - L_{n2}| + |L_{o1} - L_{o2}|.$$

Dado que la ubicación geográfica de las centrales está determinada en términos de latitud y longitud, se realiza la transformación de grados, minutos y segundos a kilómetros. Un grado de latitud equivale a 128 kms. (46148 km.). La circunferencia de la tierra divididos entre 360°. Esta medida es igual en cualquier parte de la superficie de la tierra ya que las líneas de latitud son todas paralelas y equidistantes. Sin embargo las líneas de la longitud convergen gradualmente hacia los polos y la distancia entre ellas se hace cada vez menor. Como el O.F. se encuentra a 19° de latitud se tiene que 1° de longitud equivale (1) a 105.05448 kms. Por lo que las coordenadas geográficas de las centrales se transformaron a kms. mediante las siguientes equivalencias.

---

(1) Historia del Globo Terraquéo, Mercedes Guyette.  
Ed. Replogle Globes.

**Latitud**

$$1^\circ = 128.0000 \text{ kms.}$$

$$1' = 2.1333 \text{ kms.}$$

$$1'' = 0.0400 \text{ kms.}$$

**Longitud**

$$1^\circ = 105.05448 \text{ kms.}$$

$$1' = 1.75090 \text{ kms.}$$

$$1'' = 0.02981 \text{ kms.}$$

La representacion geografica de la tabla # 3 en el plano cartesiano se realizo como se ejemplifica a continuacion.

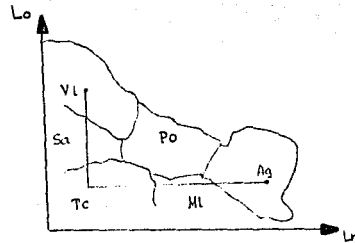
Sea:

$$C_1 = \text{Central VI con Latitud Norte } (L_n1) = 19^\circ 29' 10'' \\ = 2806.0 \text{ kms.}$$

$$\text{Longitud Oeste } (L_o1) = 99^\circ 09' 15'' \\ = 10640.8 \text{ kms.}$$

$$y \quad C_2 = \text{Central Ag con Latitud Norte } (L_n2) = 19^\circ 27' 40'' \\ = 2802.4 \text{ kms.}$$

$$\text{Longitud Oeste } (L_o2) = 99^\circ 05' 50'' \\ = 10637.5 \text{ kms.}$$



- FIGURA # 13 -

Para el cálculo de Dug se procedió a la captura de la tabla de coordenadas geográficas, se diseño el programa I del anexo II obteniéndose la Matriz de distancias calculadas (Dug) entre cada par de centrales. Esta matriz se muestra en la tabla # 4, las distancias calculadas, de esta tabla están dadas en kms.

**MATRIZ DE DISTANCIAS CALCULADAS (Dug)  
(Con Coordenadas Geograficas)**

ENLACE	DISTANCIA CALCULADA	ENLACE	DISTANCIA CALCULADA	ENLACE	DISTANCIA CALCULADA
AE-AB	30.22	AG-AB	14.93	AG-AE	18.76
AL-AB	20.56	AL-AE	11.98	AL-AG	6.78
AF-AB	16.72	AF-AE	25.35	AP-AG	6.59
AP-AL	13.37	AR-AB	41.07	AR-AE	20.10
AR-AG	26.14	AR-AL	20.51	AR-AP	24.35
AT-AB	20.89	AT-AE	24.72	AT-AG	11.96
AT-AL	12.74	AT-AP	10.17	AT-AR	14.18
AZ-AB	18.77	HZ-AE	15.79	AZ-AG	3.83
AZ-AL	3.81	AZ-AP	9.56	AZ-AR	22.30
AZ-AT	8.93	BA-AB	6.53	BA-AE	25.16
BA-AG	6.40	BA-AL	13.18	BA-AP	8.19
BA-AR	32.84	BA-AT	18.36	BA-AZ	10.23
BO-AB	21.96	BO-HE	41.79	BO-HG	23.03
BO-AL	24.81	BO-AP	16.44	BO-AR	24.89
BO-AT	17.07	BO-AZ	25.49	BO-BN	16.63
CA-AB	12.25	CA-AE	42.47	CA-AG	23.71
CA-AL	30.49	CA-AP	17.12	CA-AR	29.62
CA-AT	17.76	CA-AZ	26.68	CA-BA	17.32
CA-BU	10.51	CH-AB	21.98	CH-AE	35.41
CH-AG	16.65	CH-AL	23.43	CH-AP	10.06
CH-AR	19.09	CH-AT	10.69	CH-AZ	19.62
CH-BA	13.45	CH-BO	6.38	CH-CA	10.53
CI-AB	14.76	CI-AE	32.20	CI-AG	13.45
CI-AL	20.23	CI-AP	6.86	CI-AR	26.29
CI-AT	12.11	CI-AZ	16.41	CI-BA	7.05
CI-BU	9.58	CI-CA	10.27	CI-CH	7.20
CL-AB	9.29	CL-AE	39.51	CL-AG	20.76
CL-AL	27.53	CL-AP	20.21	CL-AR	44.58
CL-AT	30.40	CL-AZ	23.72	CL-BA	14.36
CL-BO	25.47	CL-CA	14.96	CL-CH	25.49
CL-CI	18.24	CM-AB	20.49	CM-HE	9.73
CM-AG	9.02	CM-AL	5.85	CM-AP	15.61
CM-AR	26.36	CM-AT	14.98	CM-AZ	6.06
CM-BA	15.42	CM-BO	32.05	CM-CA	32.74
CM-CH	25.67	CM-CI	22.47	CM-CL	29.78
CO-AB	16.30	CO-AE	33.00	CO-AG	14.24
CO-AL	21.02	CO-AP	7.65	CO-AR	24.78
CO-AT	10.60	CO-HZ	17.21	CO-BA	7.84
CO-BO	8.79	CO-CA	9.47	CO-CH	5.69
CO-CI	1.52	CO-CL	19.81	CO-CM	23.27
CP-AB	15.25	CP-HE	45.47	CP-AG	26.71
CP-AL	33.49	CP-AP	23.88	CP-AR	48.23
CP-AT	34.05	CP-AZ	29.66	CP-BA	20.31

- TABLA # 4 -

**MATRIZ DE DISTANCIAS CALCULADAS (diag)**  
**(Con Coordenadas Geograficas)**

ENLACE	DISTANCIA CALCULADA	ENLACE	DISTANCIA CALCULADA	ENLACE	DISTANCIA CALCULADA
CF-B0	29.12	CF-CH	18.60	CF-CH	24.14
CP-C1	21.94	CF-CL	5.96	CF-CM	38.74
CP-C0	23.45	CR-AB	19.66	CR-AE	49.66
CR-AG	31.13	CR-AL	37.90	CR-AF	24.54
CR-AR	40.21	CR-AT	26.00	CR-AI	34.09
CR-B4	24.73	CR-B0	21.10	CR-CH	10.51
CR-CH	21.12	CR-C1	17.68	CR-LL	10.57
CR-CM	40.15	CR-C0	16.88	CR-CF	6.01
CT-AB	15.45	CT-AE	28.07	CT-AG	7.31
CT-AL	16.09	CT-AF	2.72	CT-AR	25.63
CT-AT	11.45	CT-AZ	12.28	CT-BA	8.91
CT-B0	13.71	CT-CA	14.40	CT-CH	7.34
CT-C1	4.13	CT-CL	18.96	CT-CM	18.34
CT-C0	4.93	CT-CF	22.60	CT-CR	21.81
CU-AB	10.65	CU-AE	40.87	CU-AG	22.11
CU-AL	28.89	CU-AF	15.52	CU-AR	38.42
CU-AT	24.25	CU-AZ	25.08	CU-B4	15.71
CU-B0	19.32	CU-CA	8.80	CU-CH	19.34
CU-C1	12.13	CU-CL	8.16	CU-CM	31.14
CU-C0	13.65	CU-CF	9.80	CU-CR	9.01
CU-CT	12.80	DO-AB	14.05	DO-AE	29.47
DO-AG	10.71	DO-AL	17.49	DO-AF	4.12
DO-AR	27.02	DO-AT	12.85	DO-AZ	17.69
DO-BA	5.51	DO-B0	12.32	DO-CA	10.00
DO-CH	7.94	DO-C1	2.73	DO-CL	17.50
DO-CM	19.74	DO-C0	3.53	DO-CF	21.20
DO-CR	20.41	DO-CT	1.40	DO-CU	11.40
EA-AB	35.13	EA-AE	5.49	EA-AG	23.67
EA-AL	16.89	EA-AP	30.26	EA-AR	21.81
EA-AT	29.63	EA-AZ	20.70	EA-BH	30.67
EA-B0	46.70	EA-CA	47.38	EA-CH	40.32
EA-C1	37.12	EA-CL	44.43	EA-LM	14.65
EA-C0	37.91	EA-CP	50.38	EA-CR	54.79
EA-CT	32.98	EA-CU	45.78	EA-DO	34.38
EC-AB	32.41	EC-AE	29.03	EC-AG	17.47
EC-AL	17.05	EC-AP	15.68	EC-AR	12.13
EC-AT	5.51	EC-AZ	13.64	EC-BA	13.87
EC-B0	12.76	EC-CA	20.96	EC-CH	10.42
EC-C1	17.63	EC-CL	35.92	EC-CM	19.30
EC-C0	16.11	EC-CP	39.50	EC-CR	31.55
EC-CT	16.96	EC-CU	29.76	EC-DO	16.36
EC-EA	33.94	EC-AB	8.82	EC-AE	23.40
EC-AG	17.36	EC-AL	22.98	EC-AF	19.15

- TABLA # 4 -

MATRIZ DE DISTANCIAS CALCULADAS (Dug)  
 (Con Coordenadas Geograficas)

ENLACE	DISTANCIA CALCULADA	ENLACE	DISTANCIA CALCULADA	ENLACE	DISTANCIA CALCULADA
EO-AR	43.50	EO-AT	29.32	EO-AZ	21.19
EO-BA	10.96	EO-BD	24.39	EO-CA	19.07
EO-CH	24.41	EO-CI	17.20	EO-CL	10.11
EO-CM	17.13	EO-CO	18.72	EO-CF	22.07
EO-CR	26.48	EO-CI	17.87	EO-CU	17.47
EO-DO	16.47	EO-EA	28.89	EO-EC	34.83
ES-HB	1.89	ES-HE	32.11	ES-AG	16.25
ES-AL	21.87	ES-AP	18.04	EE-AR	42.38
ES-HT	28.20	ES-AZ	20.08	ES-BA	9.85
ES-BD	23.27	ES-CA	12.76	ES-CH	23.29
ES-CI	16.09	ES-CL	7.40	ES-CM	22.38
ES-CG	17.61	ES-CF	13.36	ES-CR	17.77
ES-CT	16.76	ES-CU	8.76	ES-DO	15.36
ES-EA	37.02	ES-EC	33.72	ES-EQ	8.71
GU-AB	13.49	GU-HE	28.12	GU-HG	9.36
GU-AL	16.14	GU-AP	6.77	GU-AR	17.56
GU-AT	3.40	GU-AZ	12.33	GU-BH	14.96
GU-BD	13.67	GU-CA	14.36	GU-CH	7.29
GU-CI	8.71	GU-CL	27.00	GU-CM	18.38
GU-CO	7.20	GU-CP	30.65	GU-CR	22.63
GU-CT	6.05	GU-CU	20.85	GU-DO	9.45
GU-EA	33.03	GU-EC	8.91	GU-EQ	25.92
GU-ES	24.80	GU-AB	20.39	GU-EF	18.21
GU-AG	5.46	GU-HL	6.23	GU-AZ	2.42
GU-AR	20.66	GU-AT	6.50	GU-CA	24.26
GU-BH	11.86	GU-BD	23.57	GU-CL	23.90
GU-CH	17.19	GU-CI	13.99	GU-CP	27.54
GU-CM	8.48	GU-CO	14.79	GU-CU	21.66
GU-CR	31.67	GU-CT	9.86	GU-EC	12.02
GU-DO	11.26	GU-EA	23.13	GU-GO	9.90
GU-EQ	22.81	GU-ES	21.76	HI-AG	13.90
HI-AB	8.84	HI-AE	32.66	HI-AR	32.24
HI-AL	20.68	HI-AP	7.89	HI-BA	7.50
HI-AT	18.06	HI-AZ	16.87	HI-CH	13.15
HI-BD	13.13	HI-CA	9.81	HI-CM	22.93
HI-CI	5.95	HI-CL	12.35	HI-CR	17.22
HI-CO	7.46	HI-CF	15.99	HI-DO	5.21
HI-CT	6.01	HI-CU	8.21	HI-EQ	11.26
HI-EA	37.57	HI-EC	23.57	HI-GU	14.45
HI-ES	10.15	HI-GO	14.66	IX-AG	14.46
IX-AB	5.39	IX-HE	33.21	IX-AR	35.68
IX-AL	21.23	IX-HP	11.33	IX-BH	8.06
IX-AT	21.50	IX-AZ	17.42		

**MATRIZ DE DISTANCIAS CALCULADAS (Dug)  
(Con Coordenadas Geográficas)**

ENLACE	DISTANCIA CALCULADA	ENLACE	DISTANCIA CALCULADA	ENLACE	DISTANCIA CALCULADA
IX-BO	16.57	IX-CA	9.26	IX-CH	10.59
IX-CI	9.39	IX-CL	8.90	IX-CM	23.46
IX-CO	10.91	IX-CP	12.54	IX-CR	10.67
IX-CI	10.06	IX-CU	7.00	IX-DO	8.60
IX-EA	38.13	IX-EC	27.02	IX-EO	9.81
IX-ES	6.70	IX-GO	18.10	IX-GU	15.00
IX-HI	3.44	LA-AB	15.59	LA-HE	14.63
LA-AG	4.12	LA-AL	8.15	LA-AP	10.71
LA-AR	28.66	LA-AT	14.48	LA-AZ	8.36
LA-BA	10.52	LA-BD	27.15	LA-CA	27.84
LA-CH	20.77	LA-CI	17.57	LA-CL	24.88
LA-CM	4.90	LA-CO	18.37	LA-CF	30.84
LA-CR	35.25	LA-CT	13.44	LA-CU	20.24
LA-DO	14.84	LA-EA	19.55	LA-EC	20.00
LA-EO	14.83	LA-ES	17.48	LA-GD	13.48
LA-GU	7.98	LA-HI	18.02	LA-IA	18.58
LI-AB	23.20	LI-AE	17.43	LI-AG	8.27
LI-AL	5.45	LI-AP	7.92	LI-AR	17.87
LI-AT	7.29	LI-AZ	4.43	LI-BA	14.67
LI-BD	24.36	LI-CA	25.05	LI-CH	17.98
LI-CI	14.78	LI-CL	26.71	LI-CM	8.49
LI-CO	15.57	LI-CF	30.36	LI-CR	32.40
LI-CT	10.65	LI-CU	20.45	LI-DO	12.04
LI-CT	22.34	LI-EC	11.60	LI-EO	25.63
LI-ES	24.51	LI-GO	10.69	LI-GU	1.81
LI-HI	15.23	LI-IX	17.81	LI-LA	10.79
MA-AB	16.86	MA-AE	28.68	MA-AG	9.92
MA-AL	16.70	MA-AF	3.33	MA-AR	14.21
MA-AT	10.03	MA-AZ	12.89	MA-BH	6.32
MA-BD	13.10	MA-CA	13.79	MA-CH	6.72
MA-CI	3.52	MA-CL	20.37	MA-CM	18.95
MA-CO	4.32	MA-CP	24.01	MA-CR	21.20
MA-CT	1.41	MA-CU	14.21	MA-DO	2.81
MA-EA	33.59	MA-EC	15.55	MA-EO	19.28
MA-ES	18.17	MA-GO	6.63	MA-GU	10.47
MA-HI	8.02	MA-IX	11.47	MA-LA	14.05
MA-LI	11.26	MC-AB	9.73	MC-AE	23.96
MC-AG	5.20	MC-AL	11.98	MC-AF	8.99
MC-AR	31.34	MC-AT	17.16	MC-AZ	9.03
MC-BA	1.20	MC-BD	17.83	MC-BH	18.52
MC-CH	12.25	MC-CI	8.25	MC-CL	15.56
MC-CM	14.22	MC-CO	9.04	MC-CF	21.51
MC-CR	25.93	MC-CT	5.71	MC-CU	16.91

- TABLA # 4 -

**MATRIZ DE DISTANCIAS CALCULADAS (Dug)**  
**(Con Coordenadas Geograficas)**

ENLACE	DISTANCIA CALCULADA	ENLACE	DISTANCIA CALCULADA	ENLACE	DISTANCIA CALCULADA
MC-DO	5.51	MC-EA	28.87	MC-EC	22.67
MC-EO	12.16	MC-ES	11.04	MC-GO	13.76
MC-GU	10.66	MC-HI	8.70	MC-IX	9.26
MC-LA	9.32	MC-LI	13.47	MC-MA	7.12
MG-AB	5.00	MG-AE	30.42	MG-AG	11.67
MG-AL	18.45	MG-AP	11.72	MG-AR	36.07
MG-AT	21.89	MG-AZ	14.63	MG-BR	5.27
MG-BG	16.96	MG-CA	12.05	MG-CH	16.98
MG-CI	9.78	MG-CL	9.09	MG-CM	20.69
MG-CO	11.30	MG-CF	15.04	MG-CR	19.46
MG-CT	10.45	MG-CU	10.45	MG-DO	9.05
MG-EA	35.34	MG-EC	27.41	MG-EU	7.42
MG-ES	6.31	MG-GO	18.49	MG-GU	15.39
MG-HI	3.83	MG-IX	2.79	MG-LA	15.79
MG-LI	18.20	MG-MA	11.86	MG-MC	6.47
MI-AB	12.18	MI-AE	40.01	MI-AG	21.25
MI-AL	28.03	MI-AP	14.06	MI-AR	26.89
MI-AT	15.29	MI-AZ	24.21	MI-BR	14.85
MI-BG	9.78	MI-CA	2.47	MI-CH	9.80
MI-CI	7.80	MI-CL	15.69	MI-CM	30.27
MI-CO	7.01	MI-CF	19.34	MI-CR	11.32
MI-CT	11.94	MI-CU	9.54	MI-DO	10.54
MI-EA	44.92	MI-EC	20.22	MI-EO	16.61
MI-ES	13.49	MI-GO	11.89	MI-GU	21.79
MI-HI	7.35	MI-IX	6.79	MI-LA	25.37
MI-LI	22.58	MI-MA	11.32	MI-MC	16.05
MI-MG	9.58	ML-AB	14.16	ML-AE	23.58
ML-AG	4.82	ML-AL	11.60	ML-AP	2.57
ML-AR	26.91	ML-AT	12.74	ML-AZ	7.79
ML-BA	5.62	ML-BG	18.20	ML-CA	18.89
ML-CH	11.83	ML-CI	8.02	ML-CL	17.67
ML-CM	13.85	ML-CO	9.42	ML-CF	21.89
ML-CR	20.30	ML-CT	4.49	ML-CU	17.29
ML-DO	5.89	ML-EA	28.49	ML-EC	18.25
ML-EO	16.58	ML-ES	15.47	ML-GO	9.34
ML-GU	6.23	ML-HI	9.08	ML-IX	9.63
ML-LA	8.95	ML-LI	9.04	ML-MA	5.10
ML-MC	4.42	ML-MG	9.16	ML-MI	16.43
MO-AB	20.49	MO-AE	31.12	MO-AG	12.36
MO-AL	19.14	MO-AP	5.77	MO-AR	20.58
MO-AT	6.40	MO-AZ	15.33	MO-BR	11.96
MO-BG	10.67	MO-CA	11.36	MO-CH	4.29
MO-CI	5.71	MO-CL	24.00	MO-CM	21.38

- TABLA # 4 -

MATRIZ DE DISTANCIAS CALCULADAS (Dug)  
 (Con Coordenadas Geograficas)

ENLACE	DISTANCIA CALCULADA	ENLACE	DISTANCIA CALCULADA	ENLACE	DISTANCIA CALCULADA
MO-CO	4.20	MO-CF	27.65	MO-CR	19.63
MO-CT	5.05	MO-CU	17.85	MO-DO	10.45
MO-EA	36.03	MO-EC	11.91	MO-ED	22.92
MO-ES	21.80	MO-GO	3.00	MO-GU	12.90
MO-HI	11.66	MO-IX	15.10	MO-LA	16.48
MO-LI	13.69	MO-MA	3.63	MO-MC	10.76
MO-MG	15.49	MO-MI	8.89	MO-ML	7.54
MT-AB	38.61	MT-AE	28.03	MT-AG	23.67
MT-AL	18.05	MT-AF	21.88	MT-AR	11.13
MT-AT	11.71	MT-AZ	19.84	MT-BH	30.07
MT-BD	16.64	MT-CA	27.16	MT-CH	16.62
MT-C1	23.83	MT-CL	42.12	MT-CM	23.90
MT-CO	22.31	MT-CP	45.76	MT-CR	37.75
MT-CT	23.16	MT-CU	35.96	MT-DO	24.56
MT-EA	32.94	MT-EC	6.20	MT-EO	41.03
MT-ES	39.92	MT-GO	15.11	MT-GU	16.22
MT-HI	29.77	MT-IX	33.22	MT-LA	26.20
MT-L1	15.40	MT-MA	21.75	MT-MC	28.87
MT-MG	33.61	MT-MI	26.42	MT-ML	24.45
MT-MO	18.11	MT-AB	5.98	MY-AE	29.85
MY-AG	20.91	MY-AL	26.54	MY-AF	21.70
MY-AR	47.05	MY-AT	32.87	MY-AZ	24.75
MY-BA	14.51	MY-BD	27.94	MY-CA	17.43
MY-CH	27.96	MY-C1	20.76	MY-CL	7.67
MY-CM	20.69	MY-CO	22.26	MY-CF	15.63
MY-CR	20.04	MY-CT	21.43	MY-CU	11.03
MY-DO	20.03	MY-EA	34.70	MY-EC	38.39
MY-EO	6.45	MY-ES	4.67	MY-GO	29.47
MY-GU	26.37	MY-HI	14.81	MY-IX	11.37
MY-LA	18.39	MY-LI	29.18	MY-MA	22.84
MY-MC	15.71	MY-MG	10.98	MY-MI	18.16
MY-ML	20.14	MY-MO	26.47	MY-MT	44.59
NA-AB	25.36	NA-AE	33.19	NA-AG	14.43
NA-AL	21.20	NA-AF	8.64	NA-AR	10.29
NA-AT	8.47	NA-AZ	17.39	NA-BA	10.83
NA-BO	8.60	NA-CA	13.91	NA-CH	3.38
NA-CI	10.58	NA-CL	28.87	NA-CM	23.45
NA-CO	9.06	NA-CP	32.52	NA-CR	24.50
NA-CT	9.91	NA-CU	22.71	NA-DO	11.31
NA-EA	38.10	NA-EC	7.04	NA-EG	27.79
NA-ES	26.67	NA-GO	5.07	NA-GU	14.47
NA-HI	16.53	NA-IX	19.97	NA-LA	18.55
NA-LI	15.76	NA-MA	8.50	NA-MC	15.63

**MATRIZ DE DISTANCIAS CALCULADAS (DUG)**  
**(Con Coordenadas Geográficas)**

ENLACE	DISTANCIA CALCULADA	ENLACE	DISTANCIA CALCULADA	ENLACE	DISTANCIA CALCULADA
NA-MG	20.36	NA-MI	13.18	NA-ML	11.20
NA-MO	4.87	NA-MT	13.25	NA-MY	31.34
NE-AB	5.49	NE-AE	22.47	NE-AG	10.43
NE-AL	22.05	NE-AP	18.22	NE-AR	42.56
NE-AT	28.38	NE-AZ	20.26	NE-BH	10.03
NE-BO	23.45	NE-CA	21.74	NE-CH	23.47
NE-CI	10.27	NE-CL	18.78	NE-CM	16.20
NE-CO	17.74	NE-CF	24.74	NE-CR	29.15
NE-CT	10.94	NE-CU	20.14	NE-DO	15.54
NE-EA	27.96	NE-EC	33.90	NE-EO	2.67
NE-ES	11.38	NE-GO	24.98	NE-GU	21.88
NE-HI	11.93	NE-IA	12.48	NE-LA	13.90
NE-LI	24.69	NE-MA	18.35	NE-MC	11.22
NE-MG	9.69	NE-MI	19.27	NE-ML	15.65
NE-MO	21.98	NE-MT	40.10	NE-MY	9.11
NE-NA	26.85	NX-AB	31.18	NX-HE	26.21
NX-AG	10.25	NX-AL	14.23	NX-AP	14.46
NX-AR	9.89	NX-AT	4.29	NX-AZ	12.42
NX-BA	22.65	NX-BO	15.58	NX-CA	19.73
NX-CH	9.20	NX-CI	16.40	NX-CL	34.07
NX-CM	10.47	NX-CO	14.89	NX-CP	38.34
NX-CR	30.32	NX-CT	15.74	NX-CU	28.54
NX-DO	17.14	NX-EA	31.12	NX-EC	2.82
NX-EO	33.61	NX-ES	32.49	NX-GU	7.69
NX-GU	10.79	NX-HI	22.35	NX-IA	25.79
NX-LA	18.77	NX-LI	8.78	NX-MA	14.32
NX-MC	21.45	NX-MG	26.18	NX-MI	19.00
NX-ML	17.03	NX-MO	10.69	NA-MT	7.42
NX-MY	37.16	NX-NA	6.98	NA-NE	32.67
PD-AB	21.18	PD-AE	51.41	PD-AG	32.65
PD-AL	34.43	PD-AF	26.06	PD-AR	35.09
PD-AT	26.09	PD-AZ	35.62	PD-BA	26.25
PD-BD	15.98	PD-CA	8.73	PD-CH	16.00
PD-CI	19.20	PD-CL	11.69	PD-CM	41.07
PD-CO	18.41	PD-CP	10.14	PD-CR	5.12
PD-CT	23.04	PD-CU	10.54	PD-DO	21.94
PD-EA	56.32	PD-EC	26.42	PD-EO	26.01
PD-ES	19.29	PD-GO	25.29	PD-GU	33.19
PD-HI	18.75	PD-IA	18.19	PD-LA	36.77
PD-LI	53.98	PD-MA	22.72	PD-MC	27.45
PD-MG	20.98	PD-MI	11.40	PD-ML	27.63
PD-MO	20.29	PD-MT	32.62	PD-MY	21.56
PD-NA	19.38	PD-NE	30.67	PD-NX	25.20

- TABLA # 4 -

**MATRIZ DE DISTANCIAS CALCULADAS (km)**  
**(Con Coordenadas Geográficas)**

ENLACE	DISTANCIA CALCULADA	ENLACE	DISTANCIA CALCULADA	ENLACE	DISTANCIA CALCULADA
PE-AB	19.02	PE-AE	20.45	PE-AG	4.09
PE-AL	8.47	PE-AP	4.90	PE-AR	22.05
PE-AT	7.87	PE-AZ	4.66	PE-BN	10.49
PE-BD	21.34	PE-CA	22.02	PE-CH	14.56
PE-CI	11.76	PE-CL	22.53	PE-LM	10.71
PE-CO	12.55	PE-CF	20.18	PE-GR	29.44
PE-CT	7.62	PE-CU	20.42	PE-DG	9.01
PE-EA	25.36	PE-EL	13.38	PE-EU	21.45
PE-ES	20.34	PE-GO	7.67	PE-GU	2.27
PE-HI	12.21	PE-IX	13.63	PE-LA	6.01
PE-LI	4.18	PE-MA	8.23	PE-MC	9.29
PE-MG	14.02	PE-MI	19.50	PE-ML	4.87
PE-MO	10.67	FE-MT	19.58	FE-MY	25.09
PE-NA	12.74	FE-NE	20.52	FE-NX	11.16
PE-PD	30.96	PI-AB	11.81	PI-HB	30.84
PI-AG	12.08	PI-AL	18.86	PI-AP	5.49
PI-AR	29.26	PI-AT	15.08	PI-AZ	15.05
PI-BA	5.68	PI-BD	10.95	PI-CA	11.64
PI-CH	10.17	PI-CI	2.97	PI-CL	15.32
PI-CM	21.10	PI-CO	4.48	PI-CF	18.97
PI-CR	19.05	PI-CI	5.63	PI-CU	10.03
PI-DO	2.23	PI-DA	35.75	PI-EC	20.59
PI-EO	14.24	PI-ES	13.12	PI-GD	11.88
PI-GU	12.62	PI-HI	2.98	PI-HK	6.42
PI-LA	16.20	PI-LI	13.41	PI-MA	5.04
PI-MC	6.88	PI-MG	6.81	PI-MI	5.17
PI-ML	7.26	PI-MD	8.68	PI-MT	18.79
PI-MY	17.79	PI-NA	13.55	PI-NE	12.30
PI-NA	19.37	PI-FD	20.57	PI-FE	10.39
PL-AB	21.16	PL-AE	32.18	PL-HG	13.43
PL-AL	20.20	PL-AP	8.84	PL-HR	19.91
PL-AT	7.47	PL-AZ	16.39	PL-BH	12.63
PL-BD	9.60	PL-CA	10.29	PL-CH	3.12
PL-CI	6.38	PL-CL	24.67	PL-CM	22.45
PL-CO	4.86	PL-CF	26.31	PL-CR	20.30
PL-CT	5.71	PL-CU	18.51	PL-DO	7.11
PL-EA	37.09	PL-EC	11.25	PL-EU	23.56
PL-ES	22.47	PL-GO	4.07	PL-GU	13.97
PL-HI	12.32	PL-IX	15.77	PL-LA	17.55
PL-LI	14.76	PL-MA	4.30	PL-MC	11.43
PL-MG	16.16	PL-MI	8.98	PL-ML	6.60
PL-MO	1.07	PL-MT	17.45	PL-MY	17.14
PL-NA	4.20	PL-NE	22.65	PL-NX	10.02

- TABLA # 4 -

**MATRIZ DE DISTANCIAS CALCULADAS (Dug)**  
**(Con Coordenadas Geográficas)**

ENLACE	DISTANCIA CALCULADA	ENLACE	DISTANCIA CALCULADA	ENLACE	DISTANCIA CALCULADA
PL-PD	19.22	PL-PE	11.74	PL-PI	9.35
PO-AB	5.92	PO-AE	36.15	PO-AG	17.39
PO-AL	24.17	PO-AP	10.80	PO-AR	35.15
PO-AT	20.97	PO-AZ	20.36	PO-BA	10.99
PO-BO	16.04	PO-CA	6.32	PO-CH	16.06
PO-CI	8.86	PO-CL	9.43	PO-CM	26.41
PO-CO	10.37	PO-CP	13.08	PO-CR	13.73
PO-CT	9.52	PO-CU	4.72	PO-DO	8.13
PO-EA	41.06	PO-EC	26.48	PO-EO	12.75
PO-ES	7.24	PO-GO	17.57	PO-GU	17.93
PO-HI	3.49	PO-IX	2.93	PO-LA	21.51
PO-LI	18.72	PO-MA	10.93	PO-MC	12.19
PO-MG	5.72	PO-MI	6.26	PO-ML	12.57
PO-MO	14.57	PO-MT	32.68	PO-MV	11.90
PO-NA	19.44	PO-NE	15.42	PO-NX	25.26
PO-PD	15.26	PO-FE	15.70	PO-PI	5.89
PO-PL	15.24	FF-AB	8.89	FF-AE	39.12
PP-AG	20.36	FF-AL	27.14	FF-AF	13.77
PP-AR	27.78	FF-AT	19.60	FF-AZ	23.32
PP-BH	13.96	FF-BD	14.67	FF-CA	4.16
PP-CH	14.69	FF-CI	7.49	FF-CL	10.80
PP-CM	29.38	FF-CO	9.01	FF-CP	14.45
PP-CR	10.77	FF-CT	11.04	PP-CU	4.64
PP-DO	9.64	FF-EA	44.03	FF-EC	25.11
PP-EO	15.72	FF-ES	8.60	FF-GO	16.30
PP-GU	20.90	FF-HI	6.46	FF-IX	5.90
PP-LA	24.46	PP-LI	21.69	FF-MA	10.43
PP-MC	15.16	PP-MG	8.69	PP-MI	4.89
PP-ML	15.54	PP-MO	13.20	PP-MT	31.31
PP-MV	15.27	PP-NH	18.07	FF-NE	18.38
PP-NX	23.89	PP-FD	12.29	PP-PE	18.67
PP-PI	8.28	PP-FL	13.87	PP-FQ	2.97
PT-AB	23.60	PT-AE	27.43	PT-AG	8.67
PT-AL	15.45	PT-AP	8.88	PT-AR	17.47
PT-AT	3.29	PT-AZ	11.04	PT-BA	15.07
PT-BD	14.36	PT-CA	15.04	PT-CH	7.98
PT-CI	8.82	PT-CL	27.11	PT-CM	17.69
PT-CO	7.31	PT-CP	30.70	PT-CR	22.74
PT-CT	8.16	PT-CU	20.90	PT-DO	9.56
PT-EA	32.34	PT-EC	8.80	PT-EQ	26.03
PT-ES	24.91	PT-GO	6.69	PT-GU	9.21
PT-HI	14.77	PT-IX	18.21	PT-LA	12.79
PT-LI	10.00	PT-MA	8.75	PT-MC	13.87

- TABLA # 4 -

**MATRIZ DE DISTANCIAS CALCULADAS (DUG)**  
**(Con Coordenadas Geográficas)**

ENLACE	DISTANCIA CALCULADA	ENLACE	DISTANCIA CALCULADA	ENLACE	DISTANCIA CALCULADA
PT-MG	18.60	PT-MI	12.58	PT-ML	9.45
PT-MO	3.69	PT-MT	15.00	PT-MY	29.58
PT-NA	5.76	PT-NE	25.09	PT-NX	7.58
PT-PD	23.98	PT-PE	6.98	PT-P1	11.79
PT-PL	4.76	PT-FD	17.68	P1-FF	16.31
PV-AB	18.16	PV-AE	29.98	PV-AG	11.23
PV-AL	18.00	PV-AP	4.83	PV-AR	22.11
PV-AT	8.73	PV-AZ	14.19	PV-BA	9.63
PV-B0	11.80	PV-CA	12.49	PV-CH	5.41
PV-CI	3.38	PV-CL	21.67	PV-CM	10.25
PV-CO	3.02	PV-CP	25.31	PV-CR	19.97
PV-CT	2.71	PV-CU	15.51	PV-DO	4.11
PV-EA	34.89	PV-EC	14.25	PV-E0	26.56
PV-ES	19.47	PV-G0	5.33	PV-GU	11.77
PV-HI	9.32	PV-IX	12.77	PV-LA	15.35
PV-LI	12.56	PV-MA	1.30	PV-MC	8.42
PV-MG	13.16	PV-MI	10.02	PV-ML	6.40
PV-MD	2.33	PV-MT	26.45	PV-M1	24.14
PV-NA	7.20	PV-NE	19.65	PV-NX	13.01
PV-PD	21.42	PV-PE	9.54	PV-P1	6.35
PV-PL	3.00	PV-FD	12.23	PV-FF	10.87
PV-PT	5.45	QU-AB	11.30	QU-AE	42.53
QU-AG	23.77	QU-AL	36.55	QU-AP	17.18
QU-AR	35.17	QU-AT	20.99	QU-AZ	26.74
QU-BA	17.37	QU-B0	16.06	QU-CA	5.55
QU-CH	16.08	QU-C1	10.32	QU-CL	9.41
QU-CM	32.79	QU-C0	10.39	QU-CF	13.06
QU-CR	7.36	QU-CT	14.46	QU-CU	3.20
QU-DO	13.08	QU-EA	47.44	QU-EC	16.50
QU-E0	19.13	QU-ES	10.41	QU-G0	17.59
QU-GU	24.31	QU-HI	9.87	QU-IX	9.31
QU-LA	27.89	QU-LI	25.10	QU-MA	15.85
QU-MC	18.57	QU-MG	12.10	QU-MI	6.26
QU-ML	18.95	QU-MO	14.59	QU-MT	31.70
QU-MY	12.68	QU-NH	19.46	QU-NE	21.75
QU-NX	25.28	QU-PD	8.88	QU-FE	11.08
QU-PI	11.69	QU-FL	15.26	QU-FG	6.28
QU-PP	3.41	QU-FT	17.70	QU-FV	12.54
RA-AB	31.67	RA-AE	21.09	RA-HG	10.74
RA-AL	11.12	RA-AF	14.95	RA-AR	9.40
RA-AT	4.78	RA-AZ	12.90	RA-BA	22.14
RA-B0	20.69	RA-CA	21.38	RA-CH	14.31
RA-CI	16.89	RA-CL	35.18	RA-CM	16.56

- TABLA # 4 -

**MATRIZ DE DISTANCIAS CALCULADAS (Dug)  
(Con Coordenadas Geográficas)**

ENLACE	DISTANCIA CALCULADA	ENLACE	DISTANCIA CALCULADA	ENLACE	DISTANCIA CALCULADA
RA-CO	15.27	RA-CP	38.83	RA-CR	30.81
RA-CT	16.21	RA-CU	29.02	RA-DO	17.62
RA-EA	26.01	RA-EC	7.94	RA-EO	34.09
RA-ES	32.98	RA-GO	8.18	RA-GU	11.28
RA-HI	22.84	RA-IX	26.28	RA-LA	15.28
RA-LI	8.47	RA-MA	14.81	RA-MC	21.94
RA-MG	26.67	RA-MI	19.49	RA-ML	17.51
RA-MO	11.18	RA-MT	6.94	RA-MY	37.65
RA-NA	12.09	RA-NE	33.16	RA-NX	5.11
RA-PD	30.31	RA-FE	12.65	RA-PI	19.86
RA-PL	11.09	RA-FQ	25.75	RA-PP	24.36
RA-FT	6.07	RA-FV	13.51	RA-QU	25.77
RO-AB	16.27	RO-AE	31.29	RO-AG	12.54
RO-AL	19.31	RO-AF	5.75	RO-AR	24.80
RO-AT	16.62	RO-AZ	15.50	RO-BA	7.74
RO-BD	10.49	RO-CA	11.18	RO-CH	5.71
RO-CI	1.49	RO-CL	19.78	RO-CM	21.56
RO-CO	1.71	RO-CF	23.42	RO-CR	18.59
RO-CT	3.22	RO-CU	13.62	RO-DO	2.22
RO-EA	36.20	RO-EC	16.14	RO-EQ	18.69
RO-ES	17.58	RO-GO	7.22	RO-GU	13.08
RO-HI	7.43	RO-IX	10.88	RO-LA	16.66
RO-LI	13.87	RO-MH	2.61	RO-MC	7.34
RO-MG	11.27	RO-MI	8.71	RO-ML	7.71
RO-MO	4.22	RO-MT	22.34	RO-MY	21.25
RO-NA	9.09	RO-NE	17.76	RO-NX	14.71
RO-PD	20.11	RO-FE	10.85	RO-P1	4.46
RO-PL	4.89	RO-FQ	10.35	RO-FF	8.98
RO-FT	7.33	RO-PV	1.89	RO-QU	11.23
RO-RA	15.40	RS-HB	30.27	RS-HE	17.29
RS-AG	15.34	RS-AL	9.71	RS-AP	13.55
RS-AR	10.80	RS-AT	7.42	RS-AZ	11.50
RS-BA	21.74	RS-BQ	24.49	RS-CA	25.18
RS-CH	18.11	RS-CI	15.49	RS-CL	33.78
RS-CM	15.56	RS-CO	15.71	RS-CP	37.42
RS-CR	32.59	RS-CI	14.82	RS-CU	27.61
RS-DO	16.22	RS-EA	22.10	RS-EC	11.74
RS-EU	32.69	RS-ES	31.56	RS-GU	10.82
RS-GU	9.88	RS-HI	21.43	RS-IX	24.88
RS-LA	17.86	RS-LI	7.07	RS-MA	13.41
RS-MC	20.54	RS-MG	25.27	RS-MI	22.71
RS-ML	16.11	RS-MO	13.82	RS-MT	10.74
RS-MY	38.25	RS-NA	15.89	RS-NE	31.76

- TABLA # 4 -

MATRIZ DE DISTANCIAS CALCULADAS (km)  
 (Con Coordenadas Geográficas)

ENLACE	DISTANCIA CALCULADA	ENLACE	DISTANCIA CALCULADA	ENLACE	DISTANCIA CALCULADA
RS-NX	8.91	RS-FD	34.11	RS-FE	11.25
RS-PI	18.46	RS-PL	14.89	RS-PD	24.35
RS-PF	22.98	RS-PT	10.13	RS-FV	12.69
RS-QU	25.23	RS-RA	7.80	RS-RD	14.00
SA-AB	14.76	SA-AE	44.96	SA-AG	26.23
SA-AL	33.00	SA-AP	19.64	SA-AR	32.71
SA-AT	20.27	SA-AZ	29.17	SA-BH	19.83
SA-BD	13.60	SA-CA	7.09	SA-CH	13.62
SA-CI	12.78	SA-CL	11.87	SA-CN	35.25
SA-CO	11.98	SA-CP	15.51	SA-CR	7.50
SA-CT	16.91	SA-CU	5.71	SA-DD	15.51
SA-EA	49.89	SA-EC	14.05	SA-ED	21.56
SA-ES	12.87	SA-GU	16.87	SA-GU	16.77
SA-HI	12.32	SA-IA	11.77	SA-LA	30.35
SA-LI	27.56	SA-MA	16.30	SA-MC	21.00
SA-MG	14.56	SA-MI	4.98	SA-ML	21.40
SA-MO	13.87	SA-MT	30.26	SA-MI	15.14
SA-NH	17.00	SA-NE	24.25	SA-NX	11.82
SA-FD	6.42	SA-FE	24.54	SA-FI	14.75
SA-FL	12.80	SA-FD	6.84	SA-FF	9.87
SA-FT	17.56	SA-FP	15.00	SA-QU	2.46
SA-RA	22.89	SA-RU	17.69	SA-RS	27.69
SB-AB	20.09	SB-HE	26.32	SB-4G	7.50
SB-AL	14.34	SB-HF	3.37	SB-AR	20.98
SB-AI	6.80	SB-AL	10.52	SB-EH	11.50
SB-BD	15.47	SB-CA	16.16	SB-LH	5.09
SB-CI	5.89	SB-LL	23.60	SB-CN	16.58
SB-CO	6.69	SB-CF	27.25	SB-CF	23.57
SB-CT	4.64	SB-LU	17.45	SB-DD	6.04
SB-EA	31.23	SB-EC	11.31	SB-EU	11.52
SB-ES	21.40	SB-GG	5.40	SB-GU	8.17
SB-HI	11.26	SB-IA	14.70	SB-LA	11.08
SB-LI	8.89	SB-MA	3.23	SB-MC	16.58
SB-MG	15.09	SB-MI	10.69	SB-ML	5.74
SB-MO	4.80	SB-MT	18.52	SB-MI	26.07
SB-NA	6.87	SB-NE	21.58	SB-NX	11.09
SB-FD	25.09	SB-FE	5.87	SB-FI	8.18
SB-FL	5.87	SB-FD	14.17	SB-FF	12.80
SB-FT	3.51	SB-FV	2.67	SB-GU	10.21
SB-RA	11.58	SB-RO	4.96	SB-RS	10.18
SB-SH	18.67	SC-AB	25.54	SC-HE	4.63
SC-AG	14.12	SC-AL	7.35	SC-AP	20.71
SC-AR	18.60	SC-AT	20.08	SC-HZ	11.16

MATRIZ DE DISTANCIAS CALCULADAS (Dug)  
(Con Coordenadas Geograficas)

ENLACE	DISTANCIA CALCULADA	ENLACE	DISTANCIA CALCULADA	ENLACE	DISTANCIA CALCULADA
SC-BA	20.52	SC-BQ	37.15	SC-CA	37.84
SC-CH	30.77	SC-CI	27.57	SC-CL	34.88
SC-CM	7.70	SC-CO	28.37	SC-CP	40.84
SC-CR	45.25	SC-CT	23.44	SC-CU	36.24
SC-DO	24.84	SC-EA	9.55	SC-EC	24.40
SC-EO	24.83	SC-ES	27.48	SC-GO	23.48
SC-GU	13.58	SC-HI	28.02	SC-IA	28.58
SC-LA	10.00	SC-LI	12.79	SC-MA	24.05
SC-MC	19.32	SC-MG	25.79	SC-MI	35.37
SC-ML	18.95	SC-MO	26.48	SC-MT	23.40
SC-MY	28.39	SC-NA	28.55	SC-NE	23.90
SC-NX	21.57	SC-FD	46.77	SC-FE	15.81
SC-P1	26.20	SC-FL	27.55	SC-FO	31.51
SC-PP	34.48	SC-FT	22.79	SC-FV	25.35
SC-QU	37.89	SC-RQ	16.46	SC-RD	26.66
SC-RS	12.60	SC-SA	40.35	SC-SB	21.68
SF-AB	19.45	SF-AE	44.88	SF-AG	26.12
SF-AL	32.89	SF-AF	19.50	SF-AR	27.98
SF-AT	20.16	SF-AZ	29.08	SF-BH	19.72
SF-BQ	3.09	SF-CH	8.00	SF-CH	9.47
SF-CI	12.67	SF-CL	22.96	SF-CM	35.14
SF-CO	11.87	SF-CF	26.00	SF-CR	18.59
SF-CT	16.80	SF-CU	16.80	SF-DD	15.40
SF-EA	49.79	SF-EC	15.85	SF-EQ	21.88
SF-ES	20.76	SF-GD	16.76	SF-GU	26.66
SF-HI	12.22	SF-IA	14.06	SF-LA	30.24
SF-LI	27.45	SF-MA	16.19	SF-MC	20.92
SF-MG	14.45	SF-MI	7.27	SF-ML	21.29
SF-MO	13.70	SF-MT	17.16	SF-MY	25.43
SF-NA	11.69	SF-NE	24.14	SF-NX	18.67
SF-PD	12.47	SF-FE	24.43	SF-P1	14.04
SF-PL	12.69	SF-FD	13.50	SF-FF	12.16
SF-PT	17.45	SF-PV	14.89	SF-OU	13.55
SF-RA	23.78	SF-RD	13.58	SF-RS	27.58
SF-SA	11.09	SF-SB	16.56	SF-SC	40.24
SJ-AB	18.78	SJ-AE	49.01	SJ-AG	30.25
SJ-AL	37.03	SJ-AP	23.06	SJ-AR	32.69
SJ-AT	24.29	SJ-AZ	22.22	SJ-BA	23.85
SJ-BQ	13.58	SJ-CA	6.53	SJ-CH	13.60
SJ-CI	18.80	SJ-CI	11.84	SJ-CM	39.27
SJ-CO	16.01	SJ-CP	15.54	SJ-CA	7.52
SJ-CT	20.94	SJ-LU	8.14	SJ-DU	19.54
SJ-EA	53.92	SJ-EL	24.02	SJ-ED	35.01

- TABLA # 4 -

**MATRIZ DE DISTANCIAS CALCULADAS (Km.)**  
 (Con Coordenadas Geográficas)

ENLACE	DISTANCIA CALCULADA	ENLACE	DISTANCIA CALCULADA	ENLACE	DISTANCIA CALCULADA
SJ-ES	16.89	SJ-GO	20.87	SJ-GU	30.79
SJ-HI	16.35	SJ-IX	15.79	SJ-LA	34.37
SJ-LI	31.58	SJ-MA	20.32	SJ-MC	25.05
SJ-MG	18.58	SJ-MI	9.00	SJ-ML	15.43
SJ-MO	17.89	SJ-MT	30.22	SJ-MY	19.16
SJ-NA	16.98	SJ-NE	28.27	SJ-NX	22.80
SJ-FD	2.40	SJ-FE	28.56	SJ-FI	16.17
SJ-PL	16.82	SJ-FO	12.86	SJ-FF	9.89
SJ-FT	21.58	SJ-FV	19.02	SJ-GU	6.48
SJ-RA	27.91	SJ-RO	17.71	SJ-RS	31.71
SJ-SA	4.02	SJ-SB	22.69	SJ-SC	44.37
SJ-SF	11.07	SJ-SB	22.98	SJ-AE	24.00
SM-AG	8.05	SM-AL	12.02	SM-AF	6.28
SM-AR	18.09	SM-AT	3.91	SM-AZ	8.21
SM-BH	14.45	SM-BG	17.78	SM-CA	18.47
SM-CH	11.40	SM-CI	6.20	SM-CL	26.49
SM-CM	14.27	SM-CO	9.00	SM-CF	30.14
SM-CR	25.88	SM-CT	7.53	SM-CU	20.33
SM-DO	8.93	SM-EA	28.92	SM-EC	9.43
SM-EO	25.41	SM-ES	24.29	SM-GO	4.11
SM-GU	5.79	SM-HI	14.15	SM-IX	17.59
SM-LA	10.57	SM-LI	6.58	SM-MA	6.12
SM-MC	13.25	SM-MG	17.98	SM-MI	16.00
SM-ML	8.82	SM-MO	7.11	SM-MT	15.63
SM-MY	28.96	SM-NA	9.18	SM-NE	24.47
SM-NX	8.20	SM-FD	27.40	SM-PE	7.90
SM-FI	11.17	SM-FL	8.18	SM-FO	17.46
SM-PP	15.69	SM-FT	3.42	SM-FV	5.98
SM-QU	16.52	SM-RA	8.69	SM-RU	7.19
SM-RS	7.29	SM-SA	20.98	SM-SB	2.89
SM-SC	19.37	SM-SF	20.87	SM-SJ	25.00
SO-AB	25.07	SO-AE	32.90	SO-AG	14.14
SO-AL	20.92	SO-AF	8.35	SO-AR	16.00
SO-AT	8.18	SO-AZ	17.10	SO-BA	16.54
SO-BD	8.89	SO-CA	13.62	SO-CH	5.09
SO-CI	10.29	SO-CL	28.58	SO-CM	23.16
SO-CO	8.78	SO-CF	32.23	SO-CR	24.21
SO-CT	9.63	SO-CU	22.43	SO-DO	11.03
SO-EA	37.81	SO-EC	7.33	SO-EO	27.50
SO-ES	26.38	SO-GO	4.78	SO-GU	14.68
SO-HI	16.24	SO-IX	19.68	SO-LA	16.26
SO-LI	15.47	SO-MA	8.21	SO-MC	15.34
SO-MG	20.07	SO-MI	12.89	SO-ML	10.71

- TABLA # 4 -

**MATRIZ DE DISTANCIAS CALCULADAS (Dug)**  
**(Con Coordenadas Geograficas)**

ENLACE	DISTANCIA CALCULADA	ENLACE	DISTANCIA CALCULADA	ENLACE	DISTANCIA CALCULADA
SO-MO	4.58	SO-MT	13.54	SO-MY	31.05
SO-NA	0.29	SO-NE	26.56	SO-NX	6.69
SO-PD	19.09	SO-PE	12.45	SO-P1	13.26
SO-FL	3.91	SO-PO	19.15	SO-FF	17.78
SO-PT	5.47	SO-PV	6.91	SO-QU	19.17
SO-RA	11.80	SO-RO	8.80	SO-RS	15.60
SO-SA	1e.71	SO-SB	6.58	SO-SC	28.26
SO-SF	11.98	SO-SJ	16.69	SO-SM	8.89
SR-AB	10.19	SR-AE	40.42	SR-AG	21.66
SR-AL	28.44	SR-AF	15.07	SR-AR	32.48
SR-AT	18.30	SR-AZ	24.63	SR-BA	15.26
SR-B0	13.37	SR-CA	2.86	SR-CH	13.39
SR-C1	8.21	SR-CL	12.10	SR-CM	30.68
SR-C0	7.70	SR-CP	15.75	SR-CR	9.47
SR-CT	12.35	SR-CU	5.95	SR-DO	10.95
SR-EA	45.33	SR-EC	23.81	SR-ED	17.02
SR-ES	9.90	SR-G0	14.90	SR-GU	22.20
SR-HI	7.76	SR-IA	7.20	SR-LA	25.78
SR-L1	22.99	SR-MA	11.73	SR-MC	16.46
SR-MG	9.99	SR-MI	3.59	SR-ML	16.84
SR-MO	11.90	SR-MT	30.01	SR-MY	14.57
SR-NA	16.77	SR-NE	19.68	SR-NX	22.59
SR-PD	10.99	SR-PE	19.97	SR-P1	9.58
SR-PL	12.57	SR-PO	4.27	SR-PP	1.30
SR-PT	15.01	SR-PV	10.43	SR-QU	2.69
SR-RA	23.08	SR-RO	9.12	SR-RS	23.12
SR-SA	4.57	SR-SB	14.10	SR-SC	35.78
SR-SF	10.86	SR-SJ	8.59	SR-SM	16.41
SR-SO	16.48	ST-AB	35.89	ST-AE	26.12
ST-AG	20.96	ST-AL	15.34	ST-AP	19.17
ST-AR	9.22	ST-AT	9.00	ST-AZ	17.13
ST-BA	27.36	ST-B0	15.67	ST-CA	24.45
ST-CH	13.91	ST-C1	21.11	ST-CL	39.41
ST-CM	21.18	ST-C0	19.60	ST-CP	43.05
ST-CR	35.04	ST-CT	20.45	ST-CU	33.25
ST-DO	21.85	ST-EA	31.03	ST-EC	3.49
ST-EO	38.32	ST-ES	37.21	ST-G0	12.40
ST-GU	15.50	ST-HI	27.06	ST-IX	30.50
ST-LA	23.48	ST-L1	12.69	ST-MA	19.04
ST-MC	26.16	ST-MG	30.89	ST-MJ	23.71
ST-ML	21.74	ST-M0	15.40	ST-MT	2.71
ST-MY	41.67	ST-NH	10.53	ST-NE	37.39
ST-NX	4.71	ST-FD	29.91	ST-PE	1e.87

- TABLA # 4 -

**MATRIZ DE DISTANCIAS CALCULADAS (Dug)**  
**(Con Coordenadas Geograficas)**

ENLACE	DISTANCIA CALCULADA	ENLACE	DISTANCIA CALCULADA	ENLACE	DISTANCIA CALCULADA
ST-PI	24.08	ST-PL	14.73	ST-FG	29.97
ST-PP	28.60	ST-PT	12.29	ST-PV	17.74
ST-QU	29.99	ST-RA	5.02	ST-RO	19.63
ST-RS	8.82	ST-SA	27.54	ST-SB	15.80
ST-SC	21.48	ST-SF	18.76	ST-SJ	27.51
ST-SM	12.91	ST-SO	10.82	ST-SR	27.30
TA-AB	24.76	TA-AE	28.58	TA-HG	9.83
TA-AL	16.60	TA-AP	8.04	TA-AR	10.31
TA-AI	3.87	TA-AZ	12.79	TA-BA	10.23
TA-BO	13.20	TA-CA	13.89	TA-CH	6.82
TA-CI	9.98	TA-CL	28.27	TA-CM	18.65
TA-CO	8.46	TA-CP	31.91	TA-CR	23.90
TA-CT	9.31	TA-CU	22.11	TA-DO	10.71
TA-EA	33.50	TA-EC	7.65	TA-EO	27.16
TA-ES	26.07	TA-GO	1.27	TA-GU	10.37
TA-HI	15.92	TA-IX	19.37	TA-LA	13.95
TA-LI	11.16	TA-MA	7.90	TA-MC	15.03
TA-MG	19.76	TA-MI	12.58	TA-ML	10.60
TA-MO	4.27	TA-MT	13.85	TA-MY	30.74
TA-NH	4.60	TA-NE	20.25	TA-NX	6.42
TA-PD	22.82	TA-FE	8.14	TA-FI	12.95
TA-PL	3.60	TA-PO	18.84	TA-FF	17.47
TA-PT	1.16	TA-PV	6.60	TA-QU	18.86
TA-RA	7.49	TA-RO	8.49	TA-RS	11.27
TA-SA	16.40	TA-SB	4.07	TA-SC	23.95
TA-SF	16.29	TA-SJ	20.42	TA-SM	4.58
TA-SO	4.31	TA-SR	16.17	TA-ST	11.13
TC-AB	18.12	TC-AE	23.95	TC-AG	5.19
TC-AL	11.97	TC-AP	1.40	TC-AR	22.95
TC-AT	8.77	TC-AZ	8.16	TC-BH	9.59
TC-BQ	17.84	TC-CA	18.52	TC-CH	11.46
TC-CI	8.26	TC-CL	21.63	TC-CM	14.21
TC-CO	9.05	TC-CP	25.28	TC-CR	25.94
TC-CT	4.12	TC-CU	10.92	TC-DO	5.52
TC-EA	28.86	TC-EC	14.28	TC-EO	20.55
TC-ES	19.44	TC-GO	5.37	TC-GU	5.73
TC-HI	9.29	TC-IX	12.73	TC-LA	9.31
TC-LI	6.52	TC-MA	4.73	TC-MC	6.39
TC-MG	13.12	TC-MI	16.06	TC-ML	5.77
TC-MO	7.17	TC-MT	20.48	TC-MY	14.10
TC-NA	9.24	TC-NE	19.62	TC-NX	13.06
TC-PD	27.46	TC-FE	3.50	TC-FI	6.89
TC-PL	8.24	TC-PO	12.20	TC-FF	15.17

- TABLA # 4 -

MATRIZ DE DISTANCIAS CALCULADAS (Bug)  
(Con Coordenadas Geográficas)

ENLACE	DISTANCIA CALCULADA	ENLACE	DISTANCIA CALCULADA	ENLACE	DISTANCIA CALCULADA
TC-PT	5.48	TC-FV	6.03	TC-QU	18.58
TC-KA	13.55	TC-RO	7.35	TC-RS	12.15
TC-S4	21.04	TC-SB	2.37	TC-SC	19.31
TC-SF	20.93	TC-SJ	25.06	TC-SM	4.66
TC-SO	8.95	TC-SR	16.47	TC-ST	17.77
TC-TA	6.64	TE-AB	23.89	TE-AE	38.12
TE-AG	19.36	TE-AL	26.14	TE-AP	12.77
TE-AR	21.21	TE-AT	13.40	TE-AZ	22.53
TE-BA	15.36	TE-BD	3.67	TE-CA	12.45
TE-CH	2.71	TE-CI	9.11	TE-CL	27.41
TE-CM	28.38	TE-CO	7.60	TE-CP	31.05
TE-CR	23.04	TE-CT	10.05	TE-CU	21.25
TE-DO	9.85	TE-EA	43.03	TE-EC	9.09
TE-E0	26.32	TE-ES	25.21	TE-G0	10.00
TE-GU	19.90	TE-H1	15.06	TE-Ix	18.50
TE-LA	23.48	TE-L1	20.67	TE-MA	9.44
TE-MC	14.16	TE-MG	18.89	TE-MI	11.71
TE-ML	14.54	TE-MU	7.00	TE-MT	14.71
TE-MY	29.87	TE-N4	4.93	TE-NE	25.39
TE-NX	11.91	TE-FD	17.91	TE-FE	17.67
TE-F1	12.08	TE-FL	5.94	TE-PO	17.97
TE-FF	16.00	TE-FT	10.69	TE-FV	8.14
TE-QU	17.99	TE-RA	17.02	TE-RO	7.63
TE-RS	20.82	TE-SA	15.54	TE-SB	11.80
TE-SC	33.48	TE-SF	6.76	TE-SJ	15.51
TE-SM	14.11	TE-SU	5.22	TE-SR	15.30
TE-ST	12.00	TE-TA	9.54	TE-TC	14.17
TL-AB	37.19	TL-AE	17.02	TL-AG	21.26
TL-AL	16.64	TL-AP	20.47	TL-AR	3.88
TL-AT	10.30	TL-AZ	18.43	TL-BH	28.66
TL-BD	24.77	TL-CA	25.74	TL-CH	18.39
TL-CI	22.41	TL-CL	40.70	TL-CM	22.48
TL-CO	20.90	TL-CP	44.35	TL-CR	36.33
TL-CT	21.75	TL-CU	34.55	TL-DO	23.15
TL-EA	21.93	TL-EC	12.01	TL-E0	39.62
TL-ES	38.50	TL-G0	13.70	TL-GU	16.80
TL-HI	26.36	TL-IX	31.80	TL-LA	24.78
TL-LI	13.99	TL-MA	20.34	TL-MC	27.46
TL-MG	32.19	TL-MI	25.01	TL-ML	23.04
TL-MO	16.70	TL-MT	11.01	TL-MY	43.17
TL-NA	16.17	TL-N4	38.68	TL-NX	9.19
TL-PD	34.39	TL-FE	18.17	TL-FI	25.38
TL-PL	16.03	TL-PO	31.27	TL-PP	29.90

- TABLA # 4 -

**MATRIZ DE DISTANCIAS CALCULADAS (km)**  
 con Coordenadas Geográficas

ENLACE	DISTANCIA CALCULADA	ENLACE	DISTANCIA CALCULADA	ENLACE	DISTANCIA CALCULADA
TL-PI	13.59	TL-PV	19.03	TL-QU	31.29
TL-RA	5.52	TL-RD	20.92	TL-RS	8.92
TL-SA	28.83	TL-SB	17.10	TL-SC	14.78
TL-SF	27.86	TL-SJ	31.99	TL-SM	14.21
TL-SO	15.88	TL-SR	26.60	TL-ST	9.10
TL-TA	12.43	TL-TC	19.07	TL-TE	21.10
TO-AB	14.34	TO-AE	20.51	TO-HG	14.47
TO-AL	20.09	TO-AP	16.26	TO-AR	40.61
TO-AT	26.43	TO-AZ	18.30	TO-BA	9.27
TO-BQ	25.90	TO-CA	26.59	TO-CH	21.52
TO-CI	16.32	TO-CL	23.63	TO-CM	14.25
TO-CO	17.11	TO-CF	29.58	TO-CR	34.00
TO-CT	14.98	TO-CU	24.98	TO-DO	13.58
TO-EA	26.00	TO-EC	31.94	TO-EQ	7.51
TO-ES	16.23	TO-ED	21.03	TO-GU	19.93
TO-HI	16.77	TO-IX	17.33	TO-LA	11.95
TO-LJ	22.74	TO-MA	16.39	TO-MC	9.27
TO-MG	14.54	TO-MI	24.12	TO-ML	13.69
TO-MO	20.03	TO-MT	38.14	TO-NI	10.90
TO-N4	24.90	TO-NE	4.84	TO-NX	30.72
TO-PD	35.52	TO-FE	18.56	TO-PI	14.95
TO-PL	20.70	TO-FD	20.20	TO-PP	33.23
TO-PI	23.14	TO-FV	17.70	TO-QU	26.64
TO-RA	31.21	TO-RD	15.81	TO-RS	29.81
TO-SA	29.10	TO-SB	19.63	TO-SC	21.95
TO-SF	28.99	TO-SJ	33.12	TO-SM	22.52
TO-SO	24.61	TO-SR	24.50	TO-ST	35.43
TO-TA	24.30	TO-TC	17.69	TO-TE	23.43
TO-TL	36.73	TF-HB	20.96	TF-HE	51.18
TP-AG	32.42	TP-AL	39.20	TP-AP	25.83
TP-AR	44.11	TP-AT	29.53	TP-AZ	25.39
TP-BA	26.02	TP-BQ	25.00	TP-CA	14.49
TP-CH	25.02	TP-CI	18.98	TP-CL	11.57
TP-CM	41.45	TP-CO	19.34	TP-CF	5.71
TP-CR	3.90	TP-CT	23.11	TP-LU	10.31
TP-DO	21.71	TP-EA	56.09	TP-EC	39.48
TP-EO	27.78	TP-ES	19.07	TP-GD	26.53
TP-GU	32.97	TP-HI	18.52	TP-IX	17.47
TP-LA	36.55	TP-LI	33.76	TP-MA	22.50
TP-MC	27.23	TP-MG	20.76	TP-MI	15.22
TP-ML	27.60	TP-MO	23.53	TP-MT	41.65
TP-MY	21.34	TP-NA	28.40	TP-NE	30.45
TP-NX	34.22	TP-FD	9.02	TP-FE	30.74

- TABLA # 4 -

**MATRIZ DE DISTANCIAS CALCULADAS (Dug)**  
**(Con Coordenadas Geográficas)**

ENLACE	DISTANCIA CALCULADA	ENLACE	DISTANCIA CALCULADA	ENLACE	DISTANCIA CALCULADA
TP-PI	20.35	TP-FL	24.20	TP-PO	15.03
TP-PP	12.07	TP-FT	26.64	TP-PV	21.20
TP-QU	8.94	TP-RH	34.71	TP-RD	19.89
TP-RS	33.89	TP-SA	11.40	TP-SB	24.87
TP-SC	46.55	TP-SF	22.49	TP-SJ	11.42
TP-SM	27.18	TP-SO	28.11	TP-SR	11.63
TP-ST	38.94	TP-TA	27.80	TP-TC	27.23
TP-TE	26.94	TP-TL	40.23	TP-TD	35.30
TY-AB	15.49	TY-AE	36.12	TY-AG	17.36
TY-AL	24.14	TY-AP	10.77	TY-AR	25.58
TY-AT	11.40	TY-AZ	20.33	TY-BA	10.96
TY-BD	0.47	TY-CA	6.36	TY-CH	6.49
TY-CI	3.91	TY-CL	19.00	TY-CM	26.38
TY-CO	3.12	TY-CP	22.65	TY-CR	14.63
TY-CT	8.05	TY-CU	12.85	TY-DD	6.65
TY-EA	41.03	TY-EC	16.91	TY-EO	17.92
TY-ES	16.80	TY-FO	8.00	TY-GU	17.90
TY-HI	6.66	TY-JX	10.10	TY-LA	21.48
TY-L1	18.69	TY-MA	7.43	TY-MC	12.16
TY-MG	10.49	TY-MI	3.89	TY-ML	12.54
TY-MD	5.00	TY-MT	23.11	TY-MY	21.47
TY-NA	9.87	TY-NE	16.98	TY-NX	15.69
TY-FD	15.29	TY-FE	15.67	TY-F1	5.28
TY-FL	5.67	TY-FO	9.57	TY-FF	8.20
TY-FT	8.69	TY-PV	6.13	TY-QU	9.59
TY-RA	16.18	TY-RO	4.82	TY-RS	18.82
TY-SA	8.87	TY-SB	9.80	TY-SC	31.48
TY-SF	8.76	TY-SJ	12.89	TY-SM	12.11
TY-SO	9.58	TY-SR	6.90	TY-ST	20.40
TY-TA	9.27	TY-TC	12.17	TY-TE	8.40
TY-TL	21.70	TY-TD	20.23	TY-TP	16.53
UR-AB	10.96	UR-AE	37.18	UR-AG	18.43
UR-AL	25.20	UR-AF	11.83	UR-AR	30.11
UR-AT	15.93	UR-AZ	21.39	UR-BA	12.02
UR-BO	11.00	UR-CA	5.29	UR-CH	11.02
UR-CI	4.98	UR-CL	14.47	UR-CM	27.45
UR-CO	5.34	UR-CP	18.11	UR-CR	12.70
UR-CT	9.11	UR-CU	8.31	UR-DO	7.71
UR-EA	42.09	UR-EC	21.45	UR-EO	13.78
UR-ES	12.27	UR-FO	12.53	UR-GU	18.97
UR-HI	4.52	UR-JX	5.57	UR-LA	22.55
UR-LI	19.76	UR-MA	8.50	UR-MC	13.22
UR-MG	6.76	UR-MI	2.82	UR-ML	17.60

- TABLA # 4 -

**MATRIZ DE DISTANCIAS CALCULADAS (mgs.)**  
 (Con Coordenadas Geográficas)

ENLACE	DISTANCIA CALCULADA	ENLACE	DISTANCIA CALCULADA	ENLACE	DISTANCIA CALCULADA
UR-MO	9.53	UR-MT	27.65	UR-MY	16.74
UR-NA	14.40	UR-NE	16.45	UR-NA	20.22
UR-PD	14.22	UR-PE	16.73	UR-PI	6.35
UR-PL	10.20	UR-PO	5.03	UR-PP	3.67
UR-PT	12.65	UR-PV	7.20	UR-QU	5.34
UR-RA	20.71	UR-RD	5.89	UR-RS	14.84
UR-SA	7.80	UR-SB	10.87	UR-SC	32.55
UR-SF	8.49	UR-SJ	11.82	UR-SM	13.18
UR-SO	14.11	UR-SR	3.23	UR-ST	24.74
UR-TA	13.80	UR-TC	13.23	UR-TE	12.94
UR-TL	26.23	UR-TO	21.30	UR-TP	14.00
UR-TY	4.53	VA-AB	11.87	VA-AE	36.69
VA-AG	16.94	VA-AL	23.71	VA-AF	10.35
VA-AR	29.20	VA-AT	15.02	VA-AZ	19.90
VA-BA	10.54	VA-BD	10.09	VA-CH	6.78
VA-CH	10.11	VA-CI	3.49	VA-CL	18.38
VA-CM	25.96	VA-CU	4.43	VA-CF	19.02
VA-CR	14.19	VA-CT	7.62	VA-CU	9.22
VA-DO	6.22	VA-EA	40.61	VA-EC	20.54
VA-EO	14.29	VA-ES	13.18	VA-FO	11.62
VA-GU	17.48	VA-HI	3.03	VA-IX	6.48
VA-LA	21.06	VA-LI	18.27	VA-MA	7.01
VA-MC	11.74	VA-MG	6.87	VA-MI	4.31
VA-ML	12.11	VA-MO	8.62	VA-MT	26.74
VA-MY	17.85	VA-NA	13.49	VA-NE	14.70
VA-NX	19.31	VA-FD	15.71	VA-PE	15.25
VA-PI	4.86	VA-FL	9.29	VA-PO	5.95
VA-PP	4.58	VA-FI	11.73	VA-PV	6.29
VA-QU	6.83	VA-RA	19.80	VA-RD	4.40
VA-RS	18.40	VA-SA	9.29	VA-SB	9.38
VA-SC	31.06	VA-SF	9.18	VA-SJ	13.31
VA-SM	11.69	VA-SO	13.20	VA-SR	4.72
VA-ST	24.02	VA-TA	12.69	VA-TC	11.75
VA-TE	12.02	VA-TL	25.32	VA-TO	19.81
VA-TF	15.49	VA-TY	3.62	VA-UR	1.49
VD-AB	11.60	VD-AE	29.03	VD-HG	10.27
VD-AL	17.05	VD-AP	5.12	VD-HR	29.47
VD-AT	15.29	VD-AZ	13.23	VD-BA	3.67
VD-BO	12.76	VD-CA	13.45	VD-CH	10.38
VD-CI	3.18	VD-CL	15.11	VD-CM	19.29
VD-CO	4.70	VD-CF	18.76	VD-CR	20.86
VD-CT	3.84	VD-CU	11.85	VD-DO	1.44
VD-EA	33.94	VD-EC	20.80	VD-EO	14.03

- TABLA # 4 -

**MATRIZ DE DISTANCIAS CALCULADAS (Dug'  
(Con Coordenadas Geográficas)**

ENLACE	DISTANCIA CALCULADA	ENLACE	DISTANCIA CALCULADA	ENLACE	DISTANCIA CALCULADA
VD-ES	12.91	VD-GO	11.89	VD-GU	10.81
VD-HI	3.63	VD-IX	6.21	VD-LA	14.39
VD-LI	11.60	VD-MA	5.26	VD-MC	5.07
VD-MG	6.60	VD-MI	10.98	VD-NL	5.45
VD-MO	8.89	VD-MT	27.00	VD-MY	17.58
VD-NA	13.76	VD-NE	13.09	VD-NX	17.58
VD-PD	22.38	VD-FE	8.58	VD-FI	1.81
VD-FL	9.56	VD-FO	7.12	VD-FF	10.09
VD-FT	12.00	VD-FV	6.56	VD-QU	13.50
VD-RA	20.07	VD-RO	4.67	VD-RS	18.67
VD-SA	15.96	VD-SB	8.49	VD-SC	24.39
VD-SF	15.65	VD-SJ	19.98	VD-SM	11.38
VD-SO	13.47	VD-SR	11.39	VD-ST	24.29
VD-TA	13.18	VD-TC	6.52	VD-TE	12.29
VD-TL	25.59	VD-TO	13.14	VD-TF	22.16
VD-TY	7.09	VD-UR	8.16	VD-VA	8.67
VE-AB	32.22	VE-AE	16.04	VE-AG	17.28
VE-AL	11.66	VE-AF	15.49	VE-AR	8.86
VE-AI	8.68	VE-AZ	13.45	VE-BA	23.68
VE-BD	25.75	VE-CA	26.43	VE-CH	19.37
VE-CI	17.44	VE-CL	35.73	VE-CM	17.51
VE-CO	16.76	VE-CF	39.37	VE-CR	33.84
VE-CT	16.77	VE-CU	29.57	VE-DO	18.17
VE-EA	20.95	VE-EC	12.99	VE-EQ	34.64
VE-ES	33.53	VE-GO	12.08	VE-GU	11.83
VE-HI	23.38	VE-IX	26.83	VE-LA	19.81
VE-LI	9.01	VE-MA	15.36	VE-MC	22.48
VE-MG	27.22	VE-MI	20.97	VE-ML	18.00
VE-MO	15.08	VE-MT	11.59	VE-MY	38.20
VE-NA	17.14	VE-NE	33.71	VE-NX	10.17
VE-FD	35.37	VE-FE	13.19	VE-FI	20.40
VE-FL	16.14	VE-FD	26.29	VE-FF	24.92
VE-PT	11.39	VE-FV	14.06	VE-QU	26.49
VE-RA	5.05	VE-RO	15.95	VE-RS	1.95
VE-SA	28.94	VE-SB	12.12	VE-SC	11.41
VE-SF	28.83	VE-SJ	31.97	VE-SM	9.24
VE-SO	16.86	VE-SR	24.38	VE-ST	10.08
VE-TA	12.54	VE-TC	14.09	VE-TE	22.08
VE-TL	4.98	VE-TO	31.75	VE-TF	25.26
VE-TY	20.08	VE-UR	21.26	VE-VA	20.35
VE-VD	20.61	VG-HB	14.60	VG-AE	44.83
VG-AG	26.07	VG-AL	32.85	VG-AF	20.92
VG-AR	45.27	VG-AT	31.09	VG-AZ	29.03

- TABLA # 4 -

**MATRIZ DE DISTANCIAS CALCULADAS (KM)**  
**(Con Coordenadas Geográficas)**

ENLACE	DISTANCIA CALCULADA	ENLACE	DISTANCIA CALCULADA	ENLACE	DISTANCIA CALCULADA
VG-BH	19.67	VG-BU	26.15	VG-CA	15.55
VG-CH	20.18	VG-CI	16.8	VG-CL	8.31
VG-CM	35.09	VG-CO	20.59	VG-CF	2.90
VG-CR	5.06	VG-CT	12.64	VG-CU	9.85
VG-DO	18.25	VG-EA	49.74	VG-EC	30.50
VG-EO	21.43	VG-ES	12.71	VG-GD	27.67
VG-GU	20.61	VG-HI	13.03	VG-IA	11.61
VG-LH	30.19	VG-LI	27.40	VG-MA	21.65
VG-MC	20.87	VG-MG	14.40	VG-MI	16.58
VG-ML	21.25	VG-MU	24.89	VG-MT	42.80
VG-MY	14.98	VG-NA	29.56	VG-NE	24.05
VG-NX	35.38	VG-FD	10.18	VG-PE	14.38
VG-PI	16.01	VG-FL	25.56	VG-FD	10.12
VG-PF	11.49	VG-PT	27.80	VG-FV	22.38
VG-QU	10.10	VG-RA	35.87	VG-RD	20.47
VG-RS	34.47	VG-SA	12.56	VG-SB	24.18
VG-SC	40.19	VG-SF	23.65	VG-SJ	12.55
VG-SM	27.18	VG-SO	19.27	VG-SR	12.79
VG-ST	40.09	VG-TA	28.76	VG-TC	21.71
VG-TE	28.09	VG-TL	41.39	VG-TD	18.74
VG-TF	8.36	VG-TY	19.69	VG-UR	15.10
VG-VB	16.07	VG-VD	15.80	VG-VE	20.41
VI-AB	15.65	VI-AE	27.87	VI-AG	9.11
VI-AL	15.89	VI-AP	1.52	VI-AR	15.42
VI-AT	11.25	VI-AI	12.08	VI-BH	1.11
VI-BO	13.72	VI-CA	14.00	VI-CH	1.54
VI-CI	4.31	VI-CL	19.16	VI-CM	18.14
VI-CO	5.13	VI-CP	22.80	VI-CF	22.01
VI-CT	0.20	VI-CU	11.00	VI-DD	1.80
VI-EA	32.78	VI-EC	16.76	VI-EG	16.07
VI-ES	16.95	VI-GD	7.85	VI-GU	9.88
VI-HI	8.81	VI-IA	10.26	VI-LH	10.24
VI-LI	10.45	VI-MA	1.21	VI-ML	5.91
VI-MG	10.65	VI-MI	12.13	VI-ML	4.29
VI-MO	4.85	VI-MT	22.96	VI-MY	21.07
VI-NA	9.71	VI-NE	17.14	VI-NX	15.54
VI-PD	23.54	VI-FE	7.41	VI-FI	5.63
VI-PL	5.51	VI-FO	9.72	VI-PP	11.15
VI-PT	7.96	VI-FV	2.51	VI-OU	14.68
VI-FA	16.02	VI-RO	5.42	VI-RG	14.62
VI-SA	17.11	VI-SB	4.45	VI-SC	23.24
VI-SF	17.00	VI-SJ	21.14	VI-SM	7.33
VI-SO	9.43	VI-SR	12.55	VI-ST	20.25

- TABLA # 4 -

MATRIZ DE DISTANCIAS CALCULADAS (Dug)  
(Con Coordenadas Geográficas)

ENLACE	DISTANCIA CALCULADA	ENLACE	DISTANCIA CALCULADA	ENLACE	DISTANCIA CALCULADA
VI-TA	9.11	VI-TC	3.92	VI-TE	10.25
VI-TL	21.55	VI-TO	15.18	VI-TP	23.31
VI-TY	8.25	VI-UR	9.31	VI-VA	7.82
VI-VD	4.04	VI-VE	16.57	VI-VG	19.85
VL-AB	24.46	VL-AE	21.08	VL-AG	9.52
VL-AL	9.10	VL-AF	7.73	VL-AR	16.61
VL-AT	3.63	VL-AZ	5.69	VL-BA	15.92
VL-BG	20.70	VL-CA	21.39	VL-CH	14.32
VL-C1	11.12	VL-CL	27.97	VL-CM	11.35
VL-CO	11.92	VL-CF	31.61	VL-CR	28.80
VL-CT	9.01	VL-CU	21.81	VL-DD	10.41
VL-EA	25.99	VL-EC	7.95	VL-EQ	26.88
VL-ES	25.77	VL-G0	7.03	VL-GU	4.07
VL-HI	15.62	VL-IX	19.07	VL-LA	12.05
VL-LI	3.66	VL-MA	7.60	VL-MC	14.72
VL-MG	19.46	VL-MI	16.92	VL-ML	10.30
VL-MO	10.03	VL-MT	14.15	VL-MY	30.44
VL-NA	12.10	VL-NE	25.95	VL-NX	6.72
VL-PD	30.32	VL-PE	5.43	VL-PI	12.65
VL-PL	11.10	VL-PO	18.55	VL-PP	18.03
VL-PT	6.35	VL-PV	8.90	VL-QU	21.45
VL-RA	7.21	VL-RU	10.21	VL-RS	5.81
VL-SA	23.90	VL-SB	5.23	VL-SC	16.45
VL-SF	23.79	VL-SJ	27.92	VL-SM	2.92
VL-SO	11.81	VL-SR	19.33	VL-ST	11.44
VL-TA	7.50	VL-TC	6.33	VL-TE	17.04
VL-TL	12.73	VL-TO	23.99	VL-TF	30.10
VL-TY	15.03	VL-UR	16.10	VL-VA	14.61
VL-VD	12.66	VL-VE	7.76	VL-VG	28.66
VL-VI	8.81	XO-AB	18.38	XO-AE	48.60
XO-AG	29.85	XO-AL	36.62	XO-AP	26.75
XO-AR	53.09	XO-AT	38.91	XO-AZ	32.81
XO-BA	23.45	XO-BO	33.98	XO-CA	23.47
XO-CH	34.00	XO-CI	26.80	XO-CL	9.09
XO-CM	38.87	XO-CO	28.32	XO-CP	4.87
XO-CR	12.88	XO-CT	27.47	XO-CU	14.67
XO-DO	26.07	XO-EA	53.51	XO-EC	44.43
XO-EO	25.20	XO-ES	16.49	XO-GO	35.51
XO-GU	32.41	XO-H1	20.80	XO-IX	17.41
XO-LA	33.97	XO-LI	35.22	XO-MA	28.88
XO-MC	24.64	XO-MG	18.18	XO-MI	24.20
XO-ML	26.18	XO-MO	32.51	XO-MT	50.63
XO-MY	16.76	XO-NA	37.38	XO-NE	27.87

- TABLA # 4 -

**MATRIZ DE DISTANCIAS CALCULADAS (Dug)**  
**(Con Coordenadas Geograficas)**

ENLACE	DISTANCIA CALCULADA	ENLACE	DISTANCIA CALCULADA	ENLACE	DISTANCIA CALCULADA
XO-NX	43.20	XO-PD	16.00	XO-FE	31.05
XO-PI	23.83	XO-FL	33.18	XO-FO	17.95
XO-PP	19.31	XO-PT	35.63	XO-FV	30.18
XO-QU	17.92	XO-RA	43.69	XO-RQ	26.29
XO-RS	42.29	XO-SA	20.38	XO-SB	32.11
XO-SC	43.97	XO-SF	31.47	XO-SJ	20.40
XO-SM	35.00	XO-SO	37.09	XO-SR	20.81
XO-ST	47.92	XO-TA	36.78	XO-TC	30.15
XO-TE	35.92	XO-TL	49.21	XO-TO	32.72
XO-TF	8.98	XO-TY	27.51	XO-UR	22.98
XO-VA	23.89	XO-VD	23.62	XO-VE	44.24
XO-VG	7.82	XO-VI	27.67	XO-VL	36.48
ZA-AB	5.85	ZA-AE	24.38	ZA-AG	11.78
ZA-AL	17.60	ZA-AP	13.77	ZA-AR	38.12
ZA-AT	23.94	ZA-AZ	15.81	ZA-BA	5.58
ZA-BO	19.01	ZA-CA	18.09	ZA-CH	19.03
ZA-CI	11.83	ZA-CL	15.14	ZA-CM	14.55
ZA-CO	13.34	ZA-CP	21.09	ZA-CR	25.50
ZA-CT	12.49	ZA-CU	16.49	ZA-DU	11.07
ZA-EA	29.29	ZA-EC	29.45	ZA-EG	5.38
ZA-ES	7.73	ZA-GO	20.54	ZA-GU	17.44
ZA-HI	8.28	ZA-IX	8.84	ZA-LA	9.74
ZA-L1	20.25	ZA-MA	13.90	ZA-MC	6.76
ZA-MB	6.05	ZA-MI	15.63	ZA-ML	11.20
ZA-MO	17.54	ZA-MT	35.65	ZA-MY	8.73
ZA-NA	22.41	ZA-NE	4.45	ZA-NA	26.23
ZA-PD	27.03	ZA-PE	16.07	ZA-FI	8.86
ZA-PL	18.20	ZA-PO	11.77	ZA-FF	14.74
ZA-FT	20.65	ZA-FV	15.20	ZA-QU	16.15
ZA-RA	28.72	ZA-RD	13.32	ZA-RS	27.31
ZA-SA	20.61	ZA-SB	17.14	ZA-SC	19.74
ZA-SF	20.50	ZA-SJ	24.63	ZA-SM	20.03
ZA-SO	22.12	ZA-SR	16.04	ZA-ST	32.74
ZA-TA	21.80	ZA-TC	15.17	ZA-TE	20.94
ZA-TL	34.24	ZA-TD	8.49	ZA-TF	26.80
ZA-TY	12.54	ZA-UR	12.80	ZA-VA	11.51
ZA-VD	8.65	ZA-VE	29.26	ZA-VG	20.45
ZA-VI	12.69	ZA-VL	21.50	ZA-XD	24.22
ZO-AB	13.62	ZO-AE	25.85	ZO-AG	7.09
ZO-AL	13.87	ZO-AP	3.10	ZO-AR	27.45
ZO-AT	13.27	ZO-AZ	10.08	ZO-B4	5.04
ZO-BO	15.94	ZO-CA	16.63	ZO-CH	9.56
ZO-CI	6.56	ZO-CL	17.15	ZO-CM	16.11

- TABLA # 4 -

MATRIZ DE DISTANCIAS CALCULADAS (Dug)  
(Con Coordenadas Geográficas)

ENLACE	DISTANCIA CALCULADA	ENLACE	DISTANCIA CALCULADA	ENLACE	DISTANCIA CALCULADA
ZO-CO	7.15	ZO-CP	20.78	ZO-CR	24.04
ZO-CF	2.22	ZO-CU	15.02	ZO-DQ	3.62
ZO-EA	30.76	ZO-EC	16.78	ZO-EQ	16.05
ZO-ES	14.93	ZO-GO	9.87	ZO-GU	7.63
ZO-HI	6.81	ZO-IA	8.23	ZO-LA	11.21
ZO-LI	9.58	ZO-MA	3.23	ZO-MC	5.89
ZO-MG	8.62	ZO-MI	14.16	ZO-ML	2.27
ZO-MD	6.87	ZO-MT	24.98	ZO-MY	19.60
ZO-NA	11.74	ZO-NE	15.12	ZO-NX	17.56
ZO-FO	25.56	ZO-PE	5.40	ZO-PI	4.99
ZO-PL	7.54	ZO-FD	10.30	ZO-FP	13.27
ZO-FT	9.98	ZO-FV	4.54	ZO-QU	16.68
ZO-RA	16.05	ZO-RD	5.45	ZO-RS	16.65
ZO-SA	19.14	ZO-SB	6.47	ZO-SC	21.21
ZO-SF	19.03	ZO-SJ	23.16	ZO-SM	9.36
ZO-SO	11.45	ZO-SR	14.57	ZO-ST	22.27
ZO-TA	11.14	ZO-TC	4.50	ZO-TE	12.27
ZO-TL	23.57	ZO-TD	13.16	ZO-TF	25.34
ZO-TY	10.27	ZO-UR	11.34	ZO-VA	9.85
ZO-VD	3.18	ZO-VE	18.59	ZO-VG	18.98
ZO-VI	2.02	ZO-VL	19.83	ZO-XD	25.64
ZO-ZA	10.67	-	0.00	"	0.00

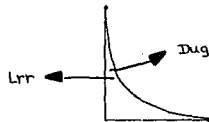
Una vez obtenida la matriz de distancias por ubicación geográfica entre cada par de centrales se procedió a calcular la diferencia en kms. (mediante el prog. Z ver anexo II), entre estas distancias calculadas ( $D_{ug}$ ) y la longitud de ruta registrada ( $L_{rr}$ ) para los enlaces correspondientes.

Los casos resultantes de la comparación serán  $L_{rr} = D_{ug}$ ,  $L_{rr} > D_{ug}$  y  $L_{rr} < D_{ug}$ , donde  $L_{rr} = D_{ug}$  es el caso ideal y el cual indicaría que el modelo explica completamente el comportamiento de la longitud real. Para el caso en que  $L_{rr} > D_{ug}$  ocurriría graficamente que:



- FIGURA # 14 -

Y para el caso en que  $L_{rr} < D_{ug}$  se tendría:



- FIGURA # 15 -

El resumen de las diferencias obtenidas se muestra en la tabla

# 5.

Caso	Frecuencia	Porcentaje
$L_{rr} = D_{ug}$	4	0.62
$L_{rr} > D_{ug}$	245	37.46
$L_{rr} < D_{ug}$	405	61.92

- TABLA # 5 -

Se observa que el caso mas frecuente es cuando  $Lrr < Dug$ . Con el objeto de analizar, que ocurre en este caso se seleccionaron cinco enlaces como ejemplo, los cuales se listan en la tabla # 6 y se muestran en la figura # 16.

Central Origen	Central Destino	Lrr (kms)	Dug (kms)
Go	Rs	9.8	10.82
Ct	Sb	4.0	4.64
Ab	C1	8.2	9.29
La	Pp	23.2	24.48
T1	C1	17.8	40.70

- TABLA # 6 -



- FIGURA # 16 -

Se puede concluir (como era de esperarse) que las distancias calculadas (Dug) no son buenas aproximaciones ya que, para algunas centrales existe la posibilidad de determinar al menos un enlace con centrales intermedias que mejora la ruta en cuanto a distancia. Por ejemplo para el enlace La -> Fp, la opción sería La -> Za -> Mg -> Fo -> Pp (ver figura # 16) donde la distancia sería 18.2 Kms., en vez de 24.48 Kms. encontrada por Dug. Es claro que esta estimación es poco aproximativa de la realidad y se hace necesario mejoraria. Sin embargo estos datos nos serán de utilidad, en la sección II.2.1 en donde se utilizaran como punto de referencia para realizar el muestreo.

## II.2 SEGUNDO MODELO PROUESTO PARA LA ESTIMACION DE DISTANCIAS ENTRE CENTRALES TELEFONICAS.

Hasta el momento el modelo que se había considerado era:

$$d_{ij} = (\|L_{ni}-L_{nj}\|^p + \|Loi-Loj\|^p)^{1/p}$$

donde: i representa a la central i y

j representa a la central j

con  $p=2$ , representa la distancia mínima entre centrales (línea recta) y  $p = 1$ , representa la suma de los catetos.

Se observa que la distancia entre dos centrales se describe mediante una función que depende de la variable p y dado que esta función debe reflejar la mejor aproximación, se requiere determinar el valor de p tal que los valores de las distancias que arroja esta función no difieran considerablemente de las distancias mínimas reales entre cada par de centrales.

Si  $\hat{d}_{ij}$  = distancia mínima real entre las centrales  $(C_i, C_j)$

$$d_{ij}(p) = \sqrt[p]{\|L_{ni}-L_{nj}\|^p + \|Loi-Loj\|^p}$$

Basados en la estimación de mínimos cuadrados, el problema anotaría seria:

D) Minimizar  $Z = \sum (\hat{d}_{ij} - d_{ij}(p))^2$   
s.a.  $0 \leq p \leq 2$ .

Donde la restricción  $0 \leq p \leq 2$  se explica de la siguiente manera:

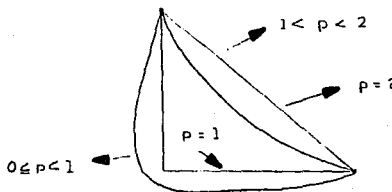
Si  $0 < p < 1$  la distancia entre dos centrales, sería mayor a la distancia que resulta de la suma de catetos.

Si  $p = 1$  representa la suma de catetos.

Si  $1 < p < 2$  la distancia entre centrales es menor que la distancia que resulta de la suma de catetos.

Si  $p = 2$  representa la distancia mínima entre centrales.

(Ver figura # 17).



- FIGURA # 17 -

Para resolver este modelo, se procedio a obtener una muestra de enlaces por zonas y medir su distancia ( $d_{ij}$ ) en un mapa de la Ciudad de Mexico a escala 1 : 30 000 . En la siguiente subsección se hablará del muestreo realizado.

Una vez obtenidas las muestras se resolvio el problema (D) para cada una de las zonas con objeto de encontrar la  $p$  que minimice la función objetivo y con ella poder determinar por zonas una distancia posiblemente mejor que la reportada por  $D_{ij}$ .

### II.2.1 MUESTREO ALEATORIO SIMPLE PARA LA ESTIMACION DE DISTANCIAS ENTRE CENTRALES TELEFONICAS

Las consideraciones para realizar el muestreo son:

Como se muestra en la figura # 10 pag. 21, las areas tandem estan geograficamente determinadas por Telefonos de Mexico. se propone que para el muestreo se conserven dichas areas.

Para conservar la restriccion de no exceder los 40 kms. de enlace con fibra optica se proponen cortes horizontales para formar las zonas de muestreo.

Se observo que las centrales de las areas tandem Roma y Centro Telefonico cubren areas mas pequenas y dichas centrales se encuentran mas concentradas.

Por estas razones se proponen 3 zonas para el muestreo realizando cortes horizontales, y asi formar cada zona de muestreo con dos areas tandem.

Con objeto de obtener mas informacion para realizar el muestreo, se procedio a hacer un analisis en funcion de las distancias, obteniendo la tabla # 7.

Intervalo de diferencias entre Lrr y Dug	Frecuencia
[ -11, -9 ]	7
[ -9, -7 ]	20
[ -7, -5 ]	35
[ -5, -3 ]	38

- TABLA # 7 -

Intervalo de diferencias entre Lrr y Dug	Frecuencia
[ -3, -1 ]	75
[ -1, 1 ]	211
[ 1, 3 ]	180
[ 3, 5 ]	65
[ 5, 7 ]	19
[ 7, 9 ]	3
[ 9, 11 ]	1
	Total 634

- TABLA # 7 -

En la tabla anterior se observa que la frecuencia mas alta es la correspondiente al intervalo [ -1, 1 ], de ahí que se considere para el muestreo un grado de precision igual a 1 km.

Ahora si continuamos nuestro analisis de estos 211 casos observamos que la frecuencia de Lrr para intervalos de 5 kms. es la que se presenta en la tabla # 8.

Intervalos para Lrr	Frecuencia
( 0, 5 ]	114
( 5, 10 ]	39
( 10, 15 ]	22
( 15, 20 ]	21
( 20, 25 ]	11
( 25, 30 ]	2
( 30, 40 ]	1
	Total 211

- TABLA # 8

Obsérvese que la frecuencia mayor es cuando la distancia varía de 0 a 5 kms.

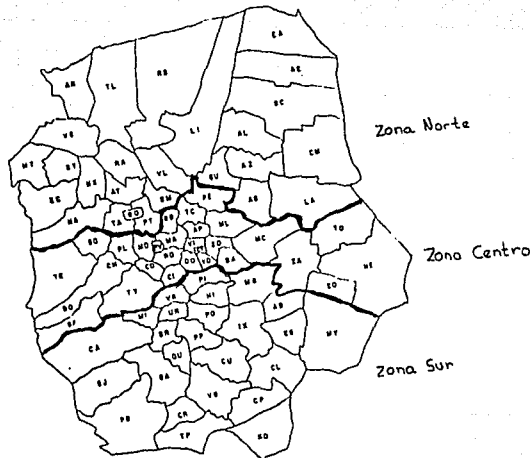
De las tablas # 7 y # 8 se puede decir que para una diferencia entre Lrr y Dug de 1 km. las distancias mas frecuentes van de 0 a 5 kms.. Con objeto de obtener mas información de las zonas se realizo un estudio con la matriz que se genero de las distancias minimas entre Lrr y Dug para determinar la frecuencia de las distancias entre 0 y 5 kms. abarcando dos areas tandem, y se obtuvieron los siguientes resultados:

Centrales Tandem	No. de Distancias entre 0 y 5 kms.
Nx y Vl	38
Ro y Ct	102
Ci y Pp	51

- TABLA # 9 -

Se puede observar que en las areas tandem Ro y Ct se tiene una frecuencia mayor.

La division propuesta en tres zonas del area metropolitana: Zona Norte abarcando las areas tandem Nextengo (Nx) y Vallejo (Vl), Zona centro con las areas tandem Roma (Ro) y Centro Telefónico (Ct), y Zona Sur con las areas tandem Cuernavaca (Ci) y Popocatepetl (Pp), se muestra en la figura # 18.



- FIGURA # 18 -

En cada zona se aplicó un muestreo aleatorio simple, en donde los conceptos generales son:

-Población.- El conjunto del que se eligió la muestra para cada zona son los pares de centrales que pertenecen a la zona respectiva. Quedando entonces registrados los siguientes datos:

Zona	No. de Centrales	Población (Total de Enlaces)
Norte	26	$\binom{26}{2} = 325$
Centro	29	$\binom{29}{2} = 406$
Sur	25	$\binom{25}{2} = 300$

- TABLA # 10 -

-Grado de Precisión.- de acuerdo a las observaciones realizadas en la tabla # 7 se establecio como premisa que el grado de precision para el muestreo fuera de 1 km.

-Metodo de Medicion.- como se menciono anteriormente las distancias para las muestras se obtuvieron con mediciones en un mapa a escala 1 : 30 000. de calles y avenidas de la Ciudad de Mexico.

-La unidad de muestreo esta constituida por la distancia entre cada par de centrales.

-Determinación de el tamaño de muestra.- para determinar el tamaño de la muestra se requiere de una estimacion de la variabilidad de la característica en estudio. en este caso la distancia entre dos centrales. Por esto. se decidió generar una matriz de distancias de la siguiente forma:

1.- Seleccionar la distancia mínima entre la longitud real (Lrr) y la distancia calculada (Dug).

2.- Para los enlaces entre centrales en donde no se encuentra registrada la Lrr, se tomo la distancia calculada (Dug). Formando así una matriz de distancias depurada entre Lrr y Dug, mediante el programa # 3. (Ver anexo II).

Para determinar tamaño de muestra n se utilizo la formula de estimacion de la variabilidad de la población:

$$s^2 = \frac{\sum_{i=1}^N (x_i - \bar{y})^2}{N-1}$$

donde  $y_i$  = la distancia entre dos centrales

$N$  = el total de distancias entre cada par de centrales  
por zona.

$$\bar{y} = \frac{\sum_{i=1}^n (y_i)}{n}$$

$$\text{Var } \bar{y} = \left(1 - \frac{n}{N}\right) \frac{s^2}{n}$$

donde  $n$  es el tamaño de la muestra.

Dado que se requiere que la probabilidad de que la media poblacional difiera de la media muestral con una precision de un kilometro y una confianza de 95 %, se tiene que:

$$P(|\bar{y} - \bar{\mu}| < \delta) = 1 - \alpha$$

donde  $\alpha = 1$  y  $1 - \alpha = .95$ .

Por el Teorema Central del Límite  $\bar{y} \sim N(\bar{\mu}, \sigma^2)$ , estandarizando esto se obtiene que  $\frac{\bar{y} - \bar{\mu}}{\sqrt{\sigma^2}} \sim N(0, 1)$

ademas se tiene que  $s^2 = \hat{\sigma}^2$ , de aní que:

$$Z_{1-\alpha} = \frac{\delta}{\sqrt{\text{Var } \bar{y}}}$$

y entonces

$$Z_{1-\alpha} = \sqrt{\frac{d}{\left(1 - \frac{n}{N}\right) \frac{s^2}{n}}}$$

de donde se obtiene que:

$$n = \frac{N}{\left(\frac{d Z_{1-\alpha}}{s^2} + 1\right)}$$

Para cada zona se obtuvieron tanto los tamaños de muestra, como los enlaces que forman parte de cada muestra. Para la selección de cada muestra, los enlaces se ordenaron alfabeticamente, y se escogieron mediante una tabla de números aleatorios.

Los datos para la generación de estas muestras y los enlaces de la muestra se presentan a continuación.

#### Zona Norte:

Datos	Muestra
N = 325	A <sub>g</sub> - L <sub>1</sub> A <sub>1</sub> - A <sub>2</sub>
s = 53.83	A <sub>1</sub> - L <sub>a</sub> A <sub>1</sub> - R <sub>a</sub>
d = 1	A <sub>1</sub> - V <sub>1</sub> A <sub>r</sub> - N <sub>x</sub>
Z = 2.6896	A <sub>t</sub> - R <sub>a</sub> A <sub>t</sub> - S <sub>c</sub>
n = 19	A <sub>t</sub> - T <sub>1</sub> H <sub>z</sub> - N <sub>a</sub>
	C <sub>m</sub> - V <sub>e</sub> E <sub>c</sub> - L <sub>1</sub>

**Zona Norte:****Muestra**

Ec - Mt	Ec - Ve
Gu - La	Gu - Sm
La - Rs	Na - Ta
Ra - Sm	

**Zona Centro:****Datos**

N = 400  
 S = 39.33  
 d = 1  
 Z = 2.6896  
 n = 14

**Muestra**

Ap - Co	Ap - So
Ba - Ma	Ch - Ti
Ch - Te	Ci - Vd
Co - Ne	Ct - Fe
Ma - Za	Sb - Ty
Sb - Za	Sf - Te
So - To	To - Py

**Zona Sur:****Datos**

N = 300  
 S = 28.9  
 d = 1  
 Z = 2.6896  
 n = 10

**Muestra**

Ab - Cu	Ab - Tp
Ca - Pi	Cr - Hi
Cr - Fo	Cu - Va
Es - Pp	Hi - Mg
Hi - Va	Mg - Pp

-Cobertura del Muestreo.- es importante señalar que debido a la división realizada para llevar a cabo el muestreo, se esta omitiendo información entre las fronteras de las zonas. información que debe incluirse ya que la red de seguridad debe contener enlaces entre las fronteras Norte - Centro, y Centro-Sur. Por esta razón es necesario efectuar un muestreo para las fronteras y así cubrir completamente el marco poblacional.

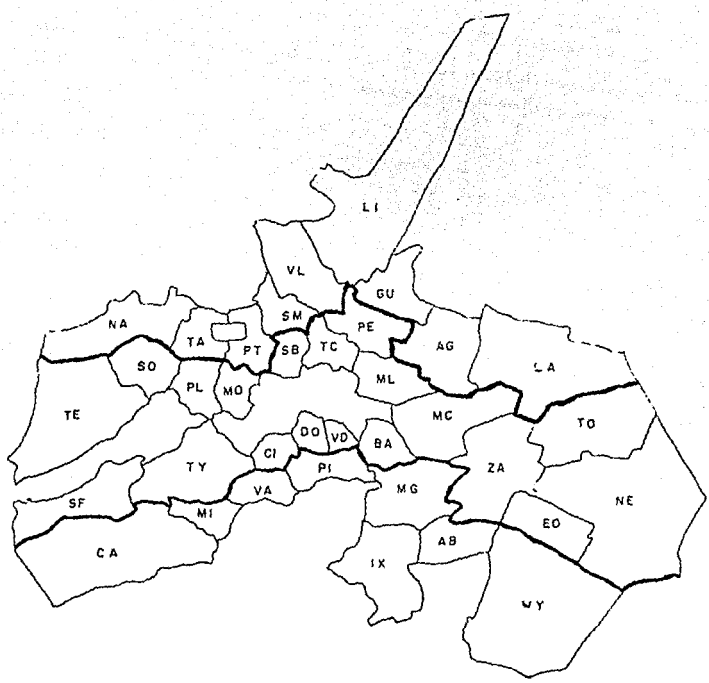
Entonces de forma similar al procedimiento anterior se calculó el tamaño de muestra para las fronteras obteniéndose los resultados siguientes. En la figura # 19 se muestran las centrales que forman parte de cada frontera.

#### Frontera Norte - Centro:

Datos	Muestra
$N = 20$	$Pt - Pl \quad Ag - Mi$
$s = 2.755$	
$d = 0.5$	
$Z = 2.6896$	
$n = 2$	

#### Frontera Centro - Sur:

Datos	Muestra
$N = 18$	$Ty - Mi \quad Za - Ad$
$s = 2.196$	
$d = 0.5$	
$Z = 2.6896$	
$n = 2$	



- FIGURA N° 19 -

### II.2.2 ESTIMACION DEL PARAMETRO P PARA EL SEGUNDO MODELO

Con las muestras obtenidas se midieron las distancias respectivas en el mapa de la Ciudad de Mexico, en el cual 1 cm. equivale a 300 mts.. En la tabla # 11 se muestran estas mediciones.

$(d_{ij}^*)$ .

Zona	Enlaces-Muestra	Distancia en cms.	Distancia en kms. ( $d_{ij}$ )
Norte:	Ag - Li	20.5	6.15
	Al - Az	11.5	3.45
	Al - La	26.6	7.98
	Al - Ra	30.2	10.66
	Al - Vi	28.4	8.52
	Ar - Nx	33.0	9.9
	At - Ra	16.2	4.8
	At - Sc	49.8	14.94
	At - Tl	31.4	9.42
	Az - Na	44.3	13.29
	Cm - Ve	65.5	19.65
	Ec - Li	42.5	12.75
	Ec - Mt	19.6	5.88
	Ec - Ve	22.5	6.75
	Gu - La	23.1	6.93
	Gu - Sm	15.5	4.65
	La - Rs	42.8	12.84
	Na - Ta	12.6	3.78
	Ra - Sm	23.8	7.08

- TABLA # 11 -

Zona	Enlace - Muestra	Distancia en cms.	Distancia en kms. (d <sub>11</sub> )
Centro:	Ap - Co	19.5	5.85
	Ap - So	26.7	8.01
	Ba - Ma	21.8	6.54
	Ch - Pl	8.4	2.52
	Ch - Te	9.1	2.73
	Ci - Vd	10.6	3.18
	Co - Ne	59.7	17.91
	Ct - Pe	20.3	6.09
	Ma - Za	36.7	11.01
	Sb - Ty	26.3	7.89
	Sb - Za	42.2	12.66
	Sf - Te	20.5	6.15
	So - To	71	21.3
Sur:	To - Ty	61	18.3
	Ab - Cu	30.5	9.15
	Ab - Tp	57	17.1
	Ca - Pi	37.5	11.25
	Cr - Hi	54.4	16.32
	Cr - Po	41.3	12.39
	Cu - Va	29.8	8.94
	Es - Pp	27.6	8.28
	Hi - Mg	11.6	3.48
	Hi - Va	13.1	3.93
	Mg - Pp	28	8.4

- TABLA # 11 -

77 ESTA TESIS NO DEBE  
SALIR DE LA BIBLIOTECA

Zona	Enlace - Muestra	Distancia en cms.	Distancia en kms. $(\hat{d}_{ij})$
<b>Fraterna</b>			
N - C :	Pt - Pl	20.5	6.15
	Ag - Mi	13.0	3.9
<b>Fraterna</b>			
C - S :	Ty - Mi	12.1	3.63
	Za - Ab	17.2	5.16

- TABLA # 11 -

Con la información anterior y retomando el segundo modelo propuesto se planteo la solución del siguiente sistema para cada área.

Sea

$$Z_k = [(\hat{d}_{ij})^p - ((L_{n_i} - L_{n_j})^p + ((L_{o_i} - L_{o_j})^p)]^2$$

Minimizar  $\sum_k Z_k$

s.a.  $0 < p < 2$

donde  $\hat{d}_{ij}$  = las distancias medidas en el mapa de la central i a la central j.

$(L_{n_i}, L_{o_i})$  = coordenadas de ubicación geográfica en kms. de la central i.

$(L_{n_j}, L_{o_j})$  = coordenadas de ubicación geográfica en kms. de la central j.

p = variable que se quiere estimar.

Para la solución del sistema planteado se utilizó el paquete de programación para la solución de problemas no-lineales llamado General Interactive Optimizer (GINO), el cual usa el método del gradiente reducido. Los modelos para la solución del sistema planteado para cada zona muestral son: los modelos No. 1, 2, 3, 4, y 5 del anexo II, alimentados con los datos muestrales de las zonas Norte, Centro, Sur, Frontera N-C y Frontera C-S respectivamente. Los valores obtenidos de los modelos planteados para la estimación de la variable  $p$ , por zona, así como el valor de la función objetivo se muestran en la tabla # 12.

Zona	$p$ estimada	Valor de la Función Objetivo
Norte	1.605403	12.66
Centro	1.598034	5.94
Sur	1.345156	11.25
Frontera		
N - C	1.0	2.80
Frontera		
C - S	1.311721	0.0027

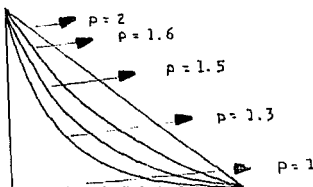
- TABLA # 12 -

En la siguiente subsección se analizarán los resultados obtenidos.

### II.2.3 ANALISIS DEL SEGUNDO MODELO

De acuerdo a los resultados mostrados en la tabla # 12, se observa que en las zonas Norte y Centro, el valor de  $p$  es más cercano a 2, que para la zona Sur.

Gráficamente estos valores se presentan en la figura # 20.



- FIGURA # 20 -

Es importante resaltar que la función objetivo es menor en la zona Centro, lo cual indica que las distancias definidas en función de  $p$ , se aproximan más a los valores de las distancias que se midieron en el mapa  $\hat{d}_{ij}$ .

Para el caso de las fronteras al igual que en las zonas Norte, Centro y Sur, el valor estimado de la variable  $p$  es menor que 2. El hecho de que los valores estimados de  $p$ , para cada zona sean menores que dos indica que efectivamente influye la irregularidad del trazado de calles y/o avenidas, en la distancia de enlace entre centrales, existiendo un grado de "tortuosidad" (1) asociado.

(1) Entendamos por "tortuosidad" la desviación que existe con respecto a la línea recta.

En este segundo modelo no lineal que se describió, el grado de "tortuosidad" está en función del valor de la variable  $\alpha$ .

Con objeto de determinar este grado de "tortuosidad" asociando y contar con un punto de comparación para este segundo modelo se propone un tercer modelo, el cual se describe en la siguiente sección.

### II.3 PROPUESTA DE UN TERCER MODELO

El tercer modelo que se propone a continuación se plantea considerando que se requiere conocer en qué proporción se incrementa la linea recta, entre dos centrales, al considerar un nuevo factor, el grado de "tortuosidad" existente en las calles de la ciudad.

Entonces, sean  $\alpha_{ij}$  = distancia mínima entre la central i y la central j (línea recta)

$d_{ij}$  = distancia real entre la central i y la central j (por determinar)

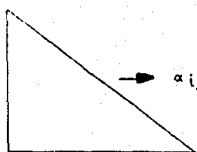
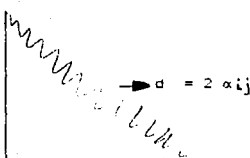
Se define el grado de "tortuosidad" ( $g$ ) como la proporción entre la  $d_{ij}$  y  $\alpha_{ij}$ , es decir:

$$g = \frac{d_{ij}}{\alpha_{ij}}$$

Ejemplo. si la distancia real entre la central i y la central j es igual a dos veces la distancia mínima ( $2 \alpha_{ij}$ ), se tiene que:

$$g = \frac{d_{ij}}{\alpha_{ij}} = \frac{2 \alpha_{ij}}{\alpha_{ij}} = 2$$

graficamente se tiene:



- FIGURA # 21 -

Entonces la distancia real entre la central i y la central j queda definida en función del factor de tortuosidad como:

$$d_{ij} = g \cdot a_{ij}$$

La distancia mínima entre centrales ( $a_{ij}$ ) se obtiene mediante:

$$a_{ij} = \sqrt{(L_{n_i} - L_{n_j})^2 + (L_{o_i} - L_{o_j})^2}$$

y entonces:  $d_{ij}(g) = \sqrt{(L_{n_i} - L_{n_j})^2 + (L_{o_i} - L_{o_j})^2} \times g$

donde  $g = \text{factor de tortuosidad asociado.}$

Deseamos ahora encontrar la  $g$  que dé el valor de  $d_{ij}(g)$  más cercano a la realidad.

Nuevamente consideraremos tres zonas y de forma similar a la estimación de los valores de  $p$ , se plantea un sistema para la estimación de los valores de  $g$ , usando como insumo los mismos valores muestrales de  $d_{ij}$  que se utilizaron para estimar  $p$ , mostrados en la tabla # 11.

Nuevamente, utilizando una aproximación por mínimos cuadrados se tiene el modelo siguiente:

$$\text{si } Z_k = (\sqrt{(L_{n_i} - L_{n_j})^2 + (L_{o_i} - L_{o_j})^2}) \times g$$

ahora el problema a resolver es el siguiente:

$$\text{Minimizar } \sum_k Z_k$$

$$\text{s.a. } g > 1$$

donde:

$$d_{ij} = \text{distancia medida en el mapa, de la central i a la central j}$$

$(L_{n_i}, L_{o_i})$  = coordenadas de ubicación geográfica en kms. de la central i.

$(L_{n_j}, L_{o_j})$  = coordenadas de ubicación geográfica en kms. de la central j.

$g$  = variable que se quiere estimar.

Para la solución de este sistema se utilizó nuevamente el paquete GINOU. En el anexo II se presentan los modelos 6, 7, 8, 9 y 10 con los datos muestrales de las zonas Norte, Centro, Sur, Frontera N-C y Frontera C-S respectivamente. Los resultados obtenidos se muestran en la tabla # 13.

Zona	$g$ estimada	Función Objetivo
Norte	1.070892	9.3478439
Centro	1.048993	4.894877
Sur	1.154783	8.794816
Frontera N - C	1.625045	0
Frontera C - S	1.077069	0.092694

- TABLA # 13 -

## II.4 ANALISIS COMPARATIVO ENTRE EL SEGUNDO Y TERCER MODELOS PROPUESTOS

Se observara que en general las funciones objetivo del sistema en el tercer modelo son menores que aquellas que se obtuvieron con el sistema planteado en el segundo modelo. (Ver tabla # 12). Con objeto de comparar los resultados obtenidos en el segundo y tercer modelo se obtuvieron las tablas # 14, # 16, y # 18, para las zonas Norte Centro y Sur respectivamente. En estas tablas se calcularon las distancias para cada enlace muestra de las zonas, tanto en función de  $\rho$ , como en función de  $g$  (columnas 2 y 4 en cada tabla). Ademas se calculo tanto el valor absoluto de la diferencia entre  $d_{ij}^{\rho}$  y  $d_{ij}^{(g)}$  (es decir [ columna 2 - columna 1 ] = columna 3 ), como el valor absoluto de la diferencia entre  $d_{ij}^{\rho}$  y  $d_{ij}^{(g)}$  , ([ columna 4 - columna 1 ] = columna 5 ). se puede observar que las distancias en función de  $g$  se aproximan mas a las distancias que se midieron ( $d_{ij}^{\rho}$ ). Para obtener información adicional se realizo una tabla resumen para cada zona, obteniéndose el promedio, la varianza, el valor maximo y minimo de las diferencias entre  $d_{ij}^{\rho}$  y  $d_{ij}^{(g)}$ , y entre  $d_{ij}^{\rho}$  y  $d_{ij}^{(g)}$ . se muestra tambien la distribucion de frecuencias de las diferencias obtenidas, para intervalos de 500 mts. (ver tablas # 15, # 17, # 19).

## ZONA NORTE:

TABLA COMPARATIVA ENTRE  $\hat{d}_{ij}$ ,  $d_{ij}$ ,  $|d_{ij} - \hat{d}_{ij}|$ 

Centrales	$\hat{d}_{ij}$ columna 1	$d_{ij}$ columna 2	$ d_{ij} - \hat{d}_{ij} $ columna 3	$d_{ij}$ columna 4	$ d_{ij} - \hat{d}_{ij} $ columna 5
Na - Ta	3.78	3.560970	0.219029	3.513e35	0.2ee3e4
Al - Hz	3.45	3.128651	0.331348	3.188150	0.2e1649
Ec - Mt	5.88	4.981212	0.9087874	4.75e159	1.1225840
At - Ra	4.87	4.307850	0.562401	4.34012e	0.513e01
Gu - Sm	4.65	4.726465	0.078465	4.802e55	0.751555
Ec - Ve	6.75	6.355604	0.410165	6.916111	0.156211
Hg - Lt	6.15	6.416167	0.200167	6.041545	0.141545
Ra - Sm	7.08	6.917170	0.162827	6.935221	0.140478
Gu - La	6.93	6.515713	0.414266	6.e227e02	0.367037
At - Lt	9.42	9.249050	0.170943	9.708120	0.315110
Al - La	7.98	6.472567	1.507412	6.487712	1.472677
Al - Vi	8.52	7.418580	1.103419	7.521672	0.958127
Hr - Nx	9.9	9.621570	0.278420	10.159122	0.385210
Al - Ra	10.60	10.26770	0.592235	10.88487	0.024875
Ec - Lt	12.75	10.68598	2.144013	11.21e48	1.5322510
La - Rs	12.84	13.84570	1.000705	13.67275	0.632551
Az - Na	13.29	13.97170	0.681703	14.082554	0.795549
At - Sc	14.94	15.65658	0.755817	15.56117	0.341078
Cm - Ve	19.55	19.32282	0.227478	19.8953e	0.1562e5
Total	169.64	165.4119	11.1e488	166.4041	10.121e4

- TABLA # 14 -

TABLA RESUMEN	$\hat{d}_{ij}$ - $d_{ij}$	$ d_{ij} - \hat{d}_{ij} $
Promedio	0.6134e5	0.532718
Varianza	0.175172	0.205825
Máximo	2.144013	1.503510
Mínimo	0.076485	0.024875

DISTRIBUCION DE FRECUENCIAS DE:

$ d_{ij} - \hat{d}_{ij} $	Intervalo	Frecuencia	$ d_{ij} - \hat{d}_{ij} $	Intervalo	Frecuencia
(0 - 0.5)	10		(0 - 0.5)	12	
(0.5 - 1)	4		(0.5 - 1)	4	
(1 - 1.5)	3		(1 - 1.5)	2	
(1.5 - 2)	1		(1.5 - 2)	1	
(2 - 2.5)	1		(2 - 2.5)	1	

- TABLA # 15 -

## TABLA 16

TABLA COMPARATIVA ENTRE  $\hat{d}_{ij}$ ,  $|d_{ij}|$  y  $d_{ij}$ 

Centrales	$\hat{d}_{ij}$ columna 1	$d_{ij}$ columna 2	$ d_{ij}  - \hat{d}_{ij}$ columna 3	$d_{ij}$ columna 4	$ d_{ij}  - \hat{d}_{ij}$ columna 5
Cn - Fl	2.52	2.504950	0.014950	2.467370	0.052629
Ci - vd	2.18	3.175	0.001	3.034748	0.154748
Cn - Te	2.73	2.398695	0.331304	2.461301	0.268698
Hc - Co	5.85	5.877719	0.027719	5.652661	0.196116
Lt - Fe	6.09	6.169320	0.175320	6.1495916	0.155916
Ba - Na	6.54	6.764389	0.224389	6.705530	0.155130
Sf - Te	6.15	5.877481	0.272518	5.596216	0.151783
Sb - Ty	7.69	8.055412	0.165412	8.030464	0.140464
Ma - Za	11.01	11.03289	0.02289	10.79564	0.214052
Ap - So	8.01	7.969525	0.029525	8.047424	0.331424
So - Za	12.66	13.27195	0.611559	12.79231	0.132312
Co - Ne	17.91	15.64727	2.262723	16.02774	1.882074
To - Ty	16.3	16.14247	0.157527	16.69273	0.392738
So - To	21.3	21.65784	0.357841	21.16644	0.888442
Total	150.14	128.6947	4.646236	129.7417	5.133033

- TABLA # 16 -

TABLA RESUMEN

	$ d_{ij}  - \hat{d}_{ij}$	$ d_{ij}  - \hat{d}_{ij}$
Promedio	0.331874	0.368645
Varianza	0.314266	0.215235
Máximo	2.262723	1.882074
Mínimo	0.001	0.052629

DISTRIBUCION DE FRECUENCIAS

Intervalo	$ d_{ij}  - \hat{d}_{ij}$	Frecuencia	Intervalo	$ d_{ij}  - \hat{d}_{ij}$	Frecuencia
(0 - 0.5)	12	0.0 - 0.51	12		
(0.5 - 1)	1	(0.5 - 1)	1		
(1 - 1.5)	0	(1 - 1.5)	0		
(1.5 - 2)	0	(1.5 - 2)	1		
(2 - 2.5)	1	(2 - 2.5)	0		

- TABLA # 17 -

- 89 -

## ZONA SUR

TABLA CONFIRMATIVA ENTRE  $\hat{d}_{ijl}$ ,  $d_{ijl}$ ,  $|d_{ijl} - \hat{d}_{ijl}|$ 

Centrales	$\hat{d}_{ijl}$ columna 1	$d_{ijl}$ columna 2	$ d_{ijl} - \hat{d}_{ijl} $ columna 3	$d_{ijl}$ columna 4	$ d_{ijl} - \hat{d}_{ijl} $ columna 5
Hi - Mg	0.48	0.402278	0.077621	0.402219	0.143419
Hi - Va	0.73	0.600448	0.6955	0.504167	0.425511
Cr - To	12.39	11.76294	0.620750	11.762900	0.436277
Cu - Va	8.94	8.149353	0.790000	8.149353	0.852601
Es - Fp	8.18	6.072363	0.207630	6.072363	0.776005
Cr - Hi	16.52	14.95878	1.561116	15.49911	0.920677
Ca - Pi	11.25	9.741296	1.506703	9.506585	1.744214
Ho - Cu	9.15	9.007641	0.142358	8.756511	0.151487
Mg - Fp	12.9	15.13366	2.237002	14.87646	1.976482
Ab - To	17.1	17.60782	0.507625	17.25627	0.150175
Total	103.74	100.8770	6.345947	102.9112	7.016217

- TABLA # 18 -

TABLA RESUMEN

	$ d_{ijl} - \hat{d}_{ijl} $	$ d_{ijl} - \hat{d}_{ijl} $
Fromedio	0.634594	0.701621
Varianza	0.424250	0.387108
Máximo	2.233662	1.976482
Mínimo	0.077621	0.143419

DISTRIBUCION DE FRECUENCIAS

$ d_{ijl} - \hat{d}_{ijl} $	Intervalo	Frecuencia	$ d_{ijl} - \hat{d}_{ijl} $	Intervalo	Frecuencia
(0 - 0.5)		3	(0 - 0.5)		0
(0.5 - 1)		4	(0.5 - 1)		2
(1 - 1.5)		1	(1 - 1.5)		0
(1.5 - 2)		1	(1.5 - 2)		1
(2 - 2.5)		1	(2 - 2.5)		0

- TABLA # 19 -

Es importante observar que en la zona Norte el promedio de la diferencia entre  $\hat{d}_{ij}$  y  $d_{ij}(o)$  es 0.5, y ademas los valores de varianza, maximo y minimo son menores que los valores respectivos a la diferencia entre  $\hat{d}_{ij}$  y  $d_{ij}(o)$ . Lo que nos lleva a concluir que el tercer modelo es mas aproximativo. De la distribucion de frecuencias se puede observar que los casos mas frecuentes son aquellos en que la diferencia entre  $\hat{d}_{ij}$  y  $d_{ij}(o)$  es menor o igual a 0.5 kms. .

Para la zona Centro el promedio de la diferencia entre  $\hat{d}_{ij}$  y  $d_{ij}(o)$  es menor que la diferencia entre  $\hat{d}_{ij}$  y  $d_{ij}(g)$ , pero la varianza es menor para  $\hat{d}_{ij} - d_{ij}(o)$  que para  $\hat{d}_{ij} - d_{ij}(g)$ . De la distribucion de frecuencias se observara que la diferencia entre  $\hat{d}_{ij}$  y  $d_{ij}(o)$  es menos variable, lo que nos lleva a concluir que el tercer modelo es mas aproximativo.

Finalmente en la zona Sur se obtuvieron resultados similares a la zona Norte, es decir, en general la relacion de  $g$  es mas aproximativa que la relacion de  $p$ . Este Analisis permitio concluir que el tercer modelo es mas aproximativo. Por lo que para la estimacion de la matriz de distancias se utiliza el tercer modelo con los valores respectivos de  $g$  para cada zona.

En la seccion II.5 se describe la forma en que se estiman las distancias entre cada par de centrales.

## II.5 ESTIMACION DE LA MATRIZ DE DISTANCIAS MEDIANTE EL TERCER MODELO PROPUESTO

Con los parámetros obtenidos anteriormente se procedió a generar la Matriz de Distancias en función de  $g$ , mediante el siguiente modelo:

$$d_{ij}(g) = (\sqrt{(L_{nj} - L_{ni})^2 + (L_{oj} - L_{oi})^2}) \cdot g$$

donde  $g$  toma los valores correspondientes por zona presentados en la tabla # 13. A continuación se exemplifica la forma en que se calcularon las distancias.

Consideremos el ejemplo siguiente:

Sean las centrales Rosario (Ra) y Vallejo (Vi), ambas pertenecen a la Zona Norte, por lo tanto la  $g$  respectiva es:

$$g = 1.070892$$

Las coordenadas geográficas de cada central son:

Central	Latitud	Longitud
Ra	19° 30' 40"	99° 11' 20"
Vi	19° 29' 10"	99° 09' 15"

usando las equivalencias siguientes:

$$\text{Latitud } 1'' = 0.04 \text{ kms.}$$

$$\text{Longitud } 1'' = 0.0251818 \text{ kms.}$$

se tiene que:

$$\text{Lat (Ra)} = 73.6 \text{ kms.}$$

$$\text{Lon (Ra)} = 19.843 \text{ kms.}$$

$$\text{Lat (Vi)} = 70 \text{ kms.}$$

$$\text{Lon (Vi)} = 16.195 \text{ kms.}$$

y aplicando el modelo:

$$d_{RN} = \sqrt{(173.6 - 70)^2 + (19.843 - 16.195)^2} = 1.070892$$

la distancia calculada es:

$$d_{RN} = 5.48 \text{ kms.}$$

De la misma forma que en el ejemplo anterior, se obtuvieron las matrices de distancias en función de  $g_i$ , con los valores respectivos a cada zona, esto mediante el programa # 4 (ver anexo II). Estas matrices se listan en las tablas # 20, # 21, # 22, # 23 y # 24, para las zonas Norte, Centro, Sur, Frontera N-C y Frontera C-S respectivamente, donde la unidad de la distancia calculada es en kms.

Las matrices obtenidas representan el insumo requerido para el diseño de la Red Auxiliar del D.F..

En el capítulo siguiente se detalla el procedimiento de dicho diseño.

## TABLA DE DISTANCIAS CALCULADAS

EN FUNCION DE G DE LA ZONA NORTE

ENLACE	DISTANCIA CALCULADA	ENLACE	DISTANCIA CALCULADA	ENLACE	DISTANCIA CALCULADA
AE-AG	14.95	AE-AL	9.12	AE-AR	20.07
AE-AT	19.38	AE-AZ	12.12	AE-CM	6.77
AE-EA	5.56	AE-EC	23.82	AE-GO	21.50
AE-GU	13.86	AE-LA	12.85	AE-LI	13.38
AE-MT	25.31	AE-NA	25.50	AE-NA	21.47
AE-PT	20.99	AE-RA	18.07	AE-RS	15.00
AE-SC	3.70	AE-SM	18.34	AE-ST	22.98
AE-TA	21.97	AE-TL	17.97	AE-VE	14.97
AE-VL	16.29	AG-AL	6.07	AG-AR	19.93
AG-AT	10.21	AG-AZ	3.67	AG-CM	6.87
AG-EA	19.96	AG-EC	15.49	AG-GO	9.70
AG-GU	4.17	AG-LA	3.69	AG-LI	5.36
AG-MT	19.41	AG-NA	13.61	AG-NA	13.65
AG-PT	9.38	AG-RA	12.88	AG-RS	11.71
AG-SC	12.11	AG-SM	7.34	AG-ST	16.96
AG-TA	10.63	AG-TL	16.98	AG-VE	13.29
AG-VL	7.48	AL-AR	16.09	AL-AT	10.87
AL-AZ	3.19	AL-CM	4.78	AL-EA	13.58
AL-EC	15.87	AL-GO	12.50	AL-GU	4.74
AL-LA	6.50	AL-LI	4.62	AL-MT	18.47
AL-NA	16.58	AL-NA	13.58	AL-PT	12.00
AL-RA	10.99	AL-RS	8.46	AL-SC	5.75
AL-SM	9.35	AL-ST	15.95	AL-TA	13.06
AL-TL	13.26	AL-VE	9.42	AL-VL	7.56
AR-HT	12.27	AR-AZ	17.00	AR-CM	20.84
AR-EA	20.06	AR-EC	11.29	AR-GO	15.80
AR-GU	15.70	AR-LA	21.89	AR-LI	13.60
AR-MT	8.66	AR-NA	17.14	AR-NA	10.29
AR-PT	15.45	AR-RH	7.81	AR-RS	8.22
AR-SC	17.07	AR-SM	14.74	AR-ST	8.01
AR-TA	15.20	AR-TL	2.95	AR-VE	6.78
AR-VL	13.01	AT-AZ	9.23	AT-CM	14.70
AT-EA	22.55	AT-EC	5.35	AT-GO	3.64
AT-GU	7.03	AT-LA	13.49	AT-LI	6.24
AT-MT	9.29	AT-NA	6.54	AT-NA	3.47
AT-PT	3.20	AT-RA	4.54	AT-RS	6.18
AT-SC	15.69	AT-SM	5.03	AT-ST	6.94
AT-TA	3.35	AT-TL	9.74	AT-VE	7.71
AT-VL	8.34	AZ-CM	5.57	AZ-EH	16.75
AZ-EC	14.53	AZ-GO	10.08	AZ-GU	2.23
AZ-LH	4.93	AZ-LI	3.61	AZ-MT	17.82
AZ-NA	14.20	AZ-NA	12.39	AZ-PT	9.62
AZ-RA	10.65	AZ-RS	8.84	AZ-SG	8.91

- TABLA # 20 -

MATRIZ DE DISTANCIAS CALCULADAS  
EN FUNCION DE G DE LA ZONA NORTE

ENLACE	DISTANCIA CALCULADA	ENLACE	DISTANCIA CALCULADA	ENLACE	DISTANCIA CALCULADA
AZ-SM	7.05	AZ-ST	15.28	AZ-TA	10.74
AZ-TL	14.06	AZ-VE	10.24	AZ-VL	5.64
CM-EA	14.22	CM-EC	20.02	CM-GO	15.50
CM-GU	7.80	CM-LH	4.10	CM-LI	6.75
CM-MT	23.01	CM-NA	19.67	CM-NX	17.81
CM-PT	15.13	CM-RA	15.60	CM-RS	13.21
CM-SL	7.00	CM-SM	12.60	CM-ST	20.47
CM-TA	16.32	CM-TL	18.03	CM-VE	14.10
CM-VL	11.44	EA-EC	26.26	EA-GO	25.21
EA-GU	18.15	EA-LA	18.25	EA-LI	17.15
EA-MT	26.80	EA-NA	28.99	EA-NX	23.98
EA-PT	24.68	EA-RH	20.22	EA-RS	17.17
EA-SC	7.86	EA-SM	22.14	EA-ST	24.74
EA-TA	25.51	EA-TL	18.65	EA-VE	16.57
EA-VL	19.82	EC-GO	0.82	EC-GU	12.30
EC-LA	18.83	EC-LI	11.32	EC-MT	4.77
EC-NA	6.20	EC-NX	2.35	EC-PT	0.82
EC-RA	6.07	EC-RS	9.09	EL-SG	20.13
EC-SM	8.16	EC-ST	3.44	EC-TM	5.63
EC-TL	9.81	EC-VE	9.89	EC-VL	8.55
GO-GU	7.92	GO-LA	13.34	GO-LI	8.14
GO-MT	11.50	GO-NA	4.12	GO-NX	6.02
GO-PT	9.53	GO-RA	8.10	GO-RS	9.67
GO-SC	17.90	GO-SM	3.16	GO-ST	9.54
GO-TA	1.03	GO-TL	13.25	GO-VE	11.18
GO-VL	5.40	GU-LA	0.68	GU-LI	2.21
GU-MT	15.81	GU-NA	12.04	GU-NX	10.27
GU-PT	7.45	GU-RH	8.88	GU-RS	7.54
GU-SC	10.43	GU-SM	4.84	GU-ST	13.29
GU-TA	8.59	GU-TL	12.81	GU-VE	9.13
GU-VL	3.80	LA-LI	8.50	LA-MT	21.48
LA-NA	17.29	LA-NA	16.85	LA-PT	13.00
LA-RA	15.50	LA-RS	13.76	LA-SC	10.71
LA-SM	10.80	LA-ST	19.97	LA-TA	14.24
LA-TL	18.96	LA-VE	15.12	LA-VL	10.44
LI-MT	14.30	LI-NA	12.12	LI-NX	9.07
LI-PT	7.62	LI-RA	7.05	LI-RS	5.38
LI-SC	9.76	LI-SM	5.01	LI-ST	11.70
LI-TA	8.58	LI-TL	10.65	LI-VE	0.73
LI-VL	2.95	MT-NA	10.78	MT-NX	5.87
MT-PT	11.43	MT-RA	7.50	MT-RS	10.37
MT-SC	21.75	MT-SM	12.31	MT-ST	11.34
MT-TA	10.54	MT-TL	8.46	MT-VE	10.08

- TABLA # 20 -

## MATRIZ DE DISTANCIAS CALCULADAS

EN FUNCION DE G DE LA ZONA NORTE

ENLACE	DISTANCIA CALCULADA	ENLACE	DISTANCIA CALCULADA	ENLACE	DISTANCIA CALCULADA
MT-VL	12.04	NA-NX	6.88	NA-PT	4.59
NA-RA	10.34	NA-RS	12.62	NA-SC	5.86
NA-SM	7.23	NA-ST	9.01	NA-TA	5.54
NA-TL	15.17	NA-VE	14.00	NA-VL	9.24
NX-FT	5.83	NX-RA	3.90	NA-RS	6.82
NX-SC	17.78	NA-SM	6.48	NA-ST	5.59
NX-TA	5.19	NX-TL	8.32	NX-VE	7.77
NX-VL	6.46	PT-RA	7.77	PT-RS	9.19
PT-SC	17.38	PT-SM	2.65	PT-ST	9.40
PT-TA	1.25	PT-TL	12.97	PT-VE	10.81
PT-VL	4.87	RA-RS	3.09	RA-SC	14.43
RA-SM	6.95	RA-ST	5.02	RA-TA	7.72
RA-TL	5.20	RA-VE	3.86	RA-VL	5.49
RS-SC	11.39	RS-SM	7.50	RS-ST	8.00
RS-TA	9.52	RS-TL	5.27	RS-VE	1.75
RS-VL	5.26	SC-SM	14.75	SC-ST	19.39
SC-TA	18.33	SC-TL	14.74	SC-VE	11.50
SC-VL	12.63	SM-ST	9.97	SM-TA	3.75
SM-TL	12.00	SM-VE	9.24	SM-VL	2.48
ST-TA	8.06	ST-TL	8.99	ST-VE	8.19
ST-VL	9.54	TA-TL	12.86	TA-VE	11.06
TA-VL	5.71	TL-VE	5.87	TL-VL	10.14
VE-VL	7.01	-	0.00	-	0.00

MATRIZ DE DISTANCIAS CALCULADAS  
EN FUNCION DE G DE LA ZONA CENTRO

ENLACE	DISTANCIA CALCULADA	ENLACE	DISTANCIA CALCULADA	ENLACE	DISTANCIA CALCULADA
AP-BA	8.11	AF-BG	12.90	AF-CH	8.49
AP-CI	5.30	AF-CO	5.71	AF-CT	2.13
AP-DO	3.65	AF-EO	14.36	AF-MA	1.49
AP-MC	5.32	AF-ML	2.33	AF-MO	5.16
AP-NE	14.04	AF-PE	4.02	AF-FL	6.10
AP-PV	5.63	AF-RO	4.44	AF-SB	2.62
AP-SF	14.72	AF-SO	8.43	AF-TC	1.47
AP-TE	10.96	AF-TG	14.08	AF-TV	8.07
AP-VD	4.68	AF-VI	2.04	AF-ZA	10.30
AP-ZD	2.34	BA-BG	16.01	BA-CH	12.00
BA-CI	7.05	BA-CO	8.27	BA-CT	5.61
BA-DO	5.24	BA-EO	8.26	BA-MA	6.76
BA-MC	1.26	BA-ML	4.34	BA-MO	10.00
BA-NE	8.20	BA-PE	8.54	BA-PL	10.81
BA-PV	8.06	BA-RO	7.39	BA-SB	8.67
BA-SF	16.87	BA-SO	13.66	BA-TC	7.20
BA-TE	15.05	BA-TG	9.20	BA-TV	5.72
BA-VD	3.70	BA-VI	5.69	BA-ZA	4.20
BA-ZD	3.83	BO-CH	4.75	BO-CI	8.97
BO-CU	7.83	BO-CT	11.36	BO-DO	10.50
BO-ED	21.87	BO-MA	10.52	BO-MC	16.19
BO-ML	14.82	BO-MO	8.04	BO-NE	23.60
BO-PE	16.08	BO-PL	7.19	BO-PV	7.27
BO-RO	8.93	BO-SB	11.63	BO-SF	1.95
BO-SO	7.00	BO-TG	13.63	BO-TE	3.08
BO-TG	25.21	BO-TV	6.44	BO-VD	12.31
BO-VI	11.43	BO-ZA	19.30	BO-ZD	13.46
CH-CI	5.90	CH-CO	4.62	CH-CT	7.35
CH-DO	7.42	CH-EO	20.35	CH-MA	6.33
CH-MC	12.56	CH-ML	10.62	CH-MO	3.40
CH-NE	20.72	CH-PE	11.39	CH-PL	1.49
CH-PV	4.97	CH-RO	5.27	CH-SE	6.70
CH-SF	7.29	CH-SO	2.95	CH-TL	9.04
CH-TE	2.48	CH-TG	21.76	CH-TV	4.86
CH-VI	9.12	CH-VI	7.37	CH-ZA	16.46
CH-ZD	9.51	CI-CU	1.26	CI-CT	3.12
CI-DO	2.12	CI-EO	14.46	CI-MA	3.04
CI-MC	7.24	CI-ML	6.45	CI-MO	4.70
CI-NE	14.91	CI-PE	5.29	CI-PL	4.75
CI-PV	3.00	CI-RO	1.30	CI-SB	5.86
CI-SF	10.10	CI-SO	7.69	CI-TC	6.62
CI-TE	8.13	CI-TG	16.26	CI-TV	1.87
CI-VD	3.37	CI-VI	3.29	CI-ZA	10.62

- TABLA # 21 -

MATRIZ DE DISTANCIAS CALCULADAS  
EN FUNCION DE G DE LA ZONA CENTRO

ENLACE	DISTANCIA CALCULADA	ENLACE	DISTANCIA CALCULADA	ENLACE	DISTANCIA CALCULADA
CI-ZO	4.21	CO-CT	3.73	CO-DO	3.13
CG-EO	15.74	CO-MA	3.24	CO-MC	8.37
CO-ML	7.22	CO-MO	3.42	CO-NE	10.18
CO-FE	5.56	CO-FL	3.67	CO-FV	2.63
CO-RO	1.27	CO-SB	5.71	CO-SF	7.18
CO-SU	6.34	CO-TG	6.87	CO-TE	6.86
CO-TV	17.46	CO-TY	2.39	CO-VD	4.01
CO-VI	3.86	CO-ZH	11.89	CO-ZG	5.71
CT-DO	1.47	CT-EQ	13.80	CT-MA	1.15
CT-MC	5.27	CT-ML	3.49	CT-MO	4.41
CT-NE	13.81	CT-FE	6.25	CT-FL	5.27
CT-FV	2.48	CT-RO	2.49	CT-SB	3.69
CT-SF	12.90	CT-SO	6.06	CT-TG	3.65
CT-TE	9.83	CT-TG	14.46	CT-TY	6.00
CT-VD	2.95	CT-VI	6.21	CT-ZA	7.76
CT-ZO	2.15	DU-ED	13.13	DO-MA	2.17
DO-MC	5.24	DU-ML	4.39	DU-MU	4.97
DO-NE	10.34	DU-FE	7.65	DO-FL	3.69
DU-FV	3.99	DU-RO	2.15	DU-SB	5.00
DU-SF	12.20	DU-SO	8.63	DU-TG	5.09
DU-TE	9.82	DU-TG	14.39	DU-TY	5.08
DU-VD	1.86	DU-VI	1.68	DU-ZA	9.13
DU-ZO	2.72	ED-MA	14.94	ED-MC	9.08
ED-ML	12.36	ED-MO	18.08	ED-NE	2.10
ED-FE	16.12	ED-FL	18.82	ED-FV	16.15
ED-RO	15.18	ED-SB	16.94	ED-SF	22.96
ED-SO	21.75	ED-TG	15.33	ED-TE	22.57
ED-TV	5.98	ED-TY	16.45	ED-VD	11.30
ED-VI	13.41	ED-ZA	4.08	ED-ZO	12.12
MA-MC	6.40	MA-ML	4.32	MA-MO	3.28
MA-NE	14.96	MA-FE	6.33	MA-FL	4.15
MA-FV	1.36	MA-RO	1.99	MA-SB	2.97
MA-SF	12.24	MA-SO	6.71	MA-TG	3.64
MA-TE	8.81	MA-TO	15.57	MA-TY	5.62
MA-VD	3.92	MA-VI	1.09	MA-ZA	10.88
MA-ZO	3.22	MC-ML	3.31	MC-MO	9.68
MC-NE	8.73	MC-FE	7.36	MC-PL	10.54
MC-FV	7.76	MC-RO	7.36	MC-SB	7.93
MC-SF	17.25	MC-SO	13.29	MC-TC	6.25
MC-TE	15.00	MC-TG	9.20	MC-TY	10.07
MC-VD	4.04	MC-VI	5.31	MC-ZA	5.00
MC-ZO	3.24	ML-MO	7.27	ML-ME	11.88
ML-FE	4.30	ML-FL	8.31	ML-FV	5.68

- TABLA # 21 -

MATRIZ DE DISTANCIAS CALCULADAS  
EN FUNCION DE G DE LA ZONA CENTRO

ENLACE	DISTANCIA CALCULADA	ENLACE	DISTANCIA CALCULADA	ENLACE	DISTANCIA CALCULADA
ML-RO	5.98	ML-SB	4.89	ML-SF	16.39
ML-SO	10.75	ML-TC	2.97	ML-TE	13.10
ML-TO	11.76	ML-TY	7.41	ML-vD	4.47
ML-VI	3.40	ML-ZA	8.37	ML-ZD	1.72
MO-NE	18.19	MO-PE	8.04	MO-FL	0.94
MO-FV	1.94	MO-RU	5.15	MO-SB	5.59
MO-SF	10.28	MO-SO	3.67	MO-TC	5.64
MO-TE	5.82	MO-TO	18.84	MO-TY	5.24
MO-VD	6.82	MO-VI	4.37	MO-ZA	14.05
MO-ZO	6.48	NE-FE	15.29	NE-PL	16.77
NE-PV	16.25	NE-RO	15.47	NE-SB	10.08
NE-SF	23.94	NE-SO	21.86	NE-TC	14.84
NE-TE	23.04	NE-TO	3.88	NE-TY	17.10
NE-VD	11.60	NE-VI	13.69	NE-ZA	4.31
NE-ZO	11.93	PE-FL	8.91	PE-FV	7.13
PE-RO	8.32	PE-SB	4.45	PE-SF	18.21
PE-SO	10.35	PE-TC	2.69	PE-TE	13.70
PE-TO	14.28	PE-TY	11.95	PE-VD	6.41
PE-VI	6.06	PE-ZA	12.30	PE-ZD	5.66
PL-FV	2.79	PL-RU	3.71	PL-SB	4.45
PL-SF	9.53	PL-SO	2.97	PL-TC	6.56
PL-TE	4.89	PL-TO	19.73	PL-TY	5.11
PL-VD	7.52	PL-VI	5.24	PL-ZA	14.82
PL-ZO	7.37	PV-RO	1.71	PV-SB	3.08
PV-SF	11.15	PV-SO	5.61	PV-TC	4.50
FV-TE	7.45	PV-TO	16.44	PV-TY	4.57
PV-VD	4.95	PV-VI	2.40	PV-ZA	12.12
PV-ZO	4.60	RO-SB	4.00	RO-SF	10.42
RO-SO	6.68	RO-TC	5.03	RO-TE	7.00
RO-TO	16.53	RO-TY	3.64	RO-VD	3.88
RO-VI	2.60	RO-ZA	11.23	RO-ZD	4.52
SB-SF	13.84	SB-SO	5.16	SB-TC	2.31
SB-TE	9.27	SB-TO	10.63	SB-TY	8.04
SB-VD	6.62	SB-VI	3.50	SB-ZA	12.67
SB-ZO	4.84	SF-SO	9.83	SF-TC	15.64
SF-TE	6.00	SF-TO	25.94	SF-TY	7.19
SF-VD	13.23	SF-VI	13.01	SF-ZA	15.70
SF-ZO	14.87	SO-TC	8.48	SO-TE	5.76
SO-TO	22.40	SO-TY	7.51	SO-VD	10.47
SO-VI	7.99	SO-ZA	17.72	SO-ZD	10.00
TC-TE	11.44	TC-TO	14.52	TC-TY	5.26
TC-VD	6.13	TC-VI	5.44	TC-ZA	11.51
TC-ZO	3.63	TE-TO	24.19	TE-TY	6.45

- TABLA # 21 -

MATRIZ DE DISTANCIAS CALCULADAS  
EN FUNCION DE G DE LA ZONA CENTRO

ENLACE	DISTANCIA CALCULADA	ENLACE	DISTANCIA CALCULADA	ENLACE	DISTANCIA CALCULADA
TE-VD	11.45	TE-VI	9.85	TE-ZA	18.75
TE-ZO	11.98	TO-TY	18.67	TO-VD	12.90
TO-VI	14.48	TO-ZA	6.01	TO-ZO	12.36
TY-VD	6.05	TY-VI	6.15	TY-ZA	12.86
TY-ZO	7.79	VD-VI	3.13	VD-ZA	7.35
VD-ZO	2.80	VI-ZA	9.84	VI-ZO	2.14
ZA-ZO	8.04	-	0.00	-	0.00

- TABLA # 21 -

**MATRIZ DE DISTANCIAS CALCULADAS**

EN FUNCION DE G DE LA ZONA SUR

ENLACE	DISTANCIA CALCULADA	ENLACE	DISTANCIA CALCULADA	ENLACE	DISTANCIA CALCULADA
AB-CA	13.82	AB-CL	8.12	AB-CF	13.77
AB-CR	16.15	AB-CU	9.02	AB-ES	1.86
AB-HI	7.54	AB-IA	5.08	AB-MG	4.11
AB-MI	12.86	AB-MY	4.92	AB-FD	18.11
AB-PI	9.71	AB-FO	6.91	AB-PP	5.48
AB-QU	11.24	AB-SA	13.98	AB-SJ	16.74
AB-SR	10.97	AB-TF	17.35	AB-UR	10.70
AB-VA	10.76	AB-VG	12.43	AB-XO	17.54
CA-CL	12.54	CA-CF	15.44	CA-CR	10.56
CA-CU	7.35	CA-ES	13.55	CA-HI	8.35
CA-IX	9.12	CA-MG	11.26	CA-MI	2.11
CA-MY	17.74	CA-PD	8.56	CA-FI	9.53
CA-PO	6.92	CA-PP	4.41	CA-QU	4.55
CA-SA	3.25	CA-SJ	5.30	CA-SR	2.40
CA-TF	13.81	CA-UR	4.36	CA-VA	5.57
CA-VG	12.96	CA-XD	19.86	CL-CF	5.70
CL-CR	9.27	CL-CU	5.18	CL-ES	6.32
CL-HI	11.54	CL-IA	8.91	CL-MG	10.17
CL-MI	12.89	CL-MY	6.21	CL-FD	12.55
CL-PI	14.39	CL-FO	8.19	CL-PP	8.87
CL-QU	8.13	CL-SA	10.70	CL-SJ	12.55
CL-SR	9.97	CL-TF	9.55	CL-UR	12.01
CL-VA	12.97	CL-VG	4.39	CL-XO	10.17
CP-CR	7.54	CF-CU	8.85	CF-ES	11.72
CP-HI	16.73	CF-IA	14.32	CF-MG	15.80
CP-MI	16.45	CF-MY	12.85	CF-FD	11.87
CP-PI	19.56	CF-PO	13.12	CF-PP	12.90
CP-QU	10.96	CP-SA	12.73	CF-SJ	13.10
CP-SR	13.53	CP-TF	5.80	CP-UR	16.28
CP-VA	17.48	CP-VG	2.48	CP-XO	4.73
CR-CU	7.53	CR-ES	14.71	CR-HI	18.51
CR-IA	14.14	CR-MG	16.29	CR-MI	12.21
CR-MY	17.43	CR-FD	4.40	CR-FI	17.35
CR-PO	11.97	CR-PP	10.25	CR-OU	7.29
CR-SA	7.32	CR-SJ	6.21	CR-SR	9.98
CR-TF	3.36	CR-UR	13.25	CR-VH	14.67
CR-VG	5.90	CR-XD	10.63	CU-ES	7.91
CU-HI	8.40	CU-IA	6.65	CU-MG	6.77
CU-MI	7.85	CU-MY	11.54	CU-FD	9.09
CU-FI	11.10	CU-FO	4.70	CU-PP	4.06
CU-QU	3.01	CU-SA	5.80	CU-SJ	6.21
CU-SR	4.89	CU-TF	9.82	CU-UR	7.43
CU-VA	8.64	CU-VG	6.46	CU-XD	13.56

## MATRIZ DE DISTANCIAS CALCULADAS

EN FUNCION DE G DE LA ZONA SUR

ENLACE	DISTANCIA CALCULADA	ENLACE	DISTANCIA CALCULADA	ENLACE	DISTANCIA CALCULADA
CU-XO	13.55	ES-HI	8.34	ES-IX	5.58
ES-MG	5.35	ES-MI	12.88	ES-MY	4.27
ES-FD	16.98	ES-FI	10.81	ES-FO	6.83
ES-PP	7.15	ES-OU	10.44	ES-SA	13.27
ES-SJ	16.05	ES-SR	10.00	ES-TF	15.70
ES-UR	10.93	ES-VÄ	11.24	ES-VG	10.67
ES-XO	16.06	HI-IA	2.86	HI-MG	3.00
HI-MI	6.65	HI-MY	12.40	HI-PD	15.54
HI-FI	2.85	HI-FO	3.71	HI-PP	5.44
HI-QU	8.42	HI-SA	10.12	HI-SJ	13.42
HI-SR	6.37	HI-TF	17.98	HI-UR	4.12
HI-VA	3.54	HI-VG	14.56	HI-XO	21.44
IX-MG	2.31	IX-MI	7.92	IX-MY	9.76
IX-PD	14.94	IX-PI	5.60	IX-PO	2.45
IX-PP	5.10	IX-QU	7.00	IX-SA	9.98
IX-SJ	13.21	IX-SR	6.49	IX-TF	16.23
IX-UR	5.64	IX-VA	5.71	IX-VG	12.30
IX-XO	16.58	MG-MI	9.87	MG-MY	9.03
MG-FD	17.24	MG-FI	5.00	MG-FO	4.76
MG-PP	7.39	MG-OU	9.57	MG-SA	11.29
MG-SJ	15.52	MG-SR	8.74	MG-TF	18.21
MG-UR	7.43	MG-VA	7.14	MG-VG	13.96
MG-XO	20.34	MI-MY	17.15	MI-PD	10.61
MI-PI	7.55	MI-PO	6.00	MI-PP	4.09
MI-QU	5.53	MI-SH	5.13	MI-SJ	7.99
MI-SR	2.90	MI-TF	15.42	MI-UR	2.53
MI-VA	3.55	MI-VG	13.97	MI-XO	21.01
MY-PD	20.32	MY-FI	14.63	MY-FO	11.10
MY-PP	13.34	MY-OU	14.33	MY-SA	17.19
MY-SJ	19.74	MY-SR	14.84	MY-TF	17.70
MY-UR	15.20	MY-VA	15.46	MY-VG	12.39
MY-XO	16.12	FD-FI	17.50	FD-FO	12.52
FD-PP	10.15	FD-OU	7.29	FD-SA	5.60
FD-SJ	1.77	FD-SR	9.25	FD-TF	7.41
FD-UR	12.33	FD-VA	13.72	FD-VG	9.99
FD-XO	14.97	FI-PO	6.48	FI-PP	7.71
FI-QL	10.71	FI-SA	11.92	FI-SJ	15.15
FI-SR	8.27	FI-TF	20.57	FI-UR	5.25
FI-VA	3.99	FI-VG	17.36	FI-XO	24.26
FO-PP	2.69	FO-OU	5.23	FO-SA	7.54
FO-SJ	10.76	FO-SR	4.15	FO-TF	14.30
FO-UR	4.20	FO-VA	4.89	FO-VG	10.89
FO-XO	17.84	FO-QU	3.01	FO-SA	4.90

- TABLA # 22 -

## MATRIZ DE DISTANCIAS CALCULADAS

EN FUNCION DE G DE LA ZONA SUR

ENLACE	DISTANCIA CALCULADA	ENLACE	DISTANCIA CALCULADA	ENLACE	DISTANCIA CALCULADA
PP-SJ	8.17	PP-SR	1.52	FF-TP	12.47
PF-UR	3.38	PF-VA	4.07	FF-VG	10.42
FP-XO	17.59	QU-SA	2.86	QU-SJ	5.71
QU-SR	2.74	QU-TF	10.10	QU-UR	8.01
QU-VA	7.41	QU-VG	8.48	QU-XO	15.48
SA-SJ	3.30	SA-SR	3.75	SA-TF	10.61
SA-UR	6.73	SA-VA	8.12	SA-VG	10.31
SA-XO	16.96	SJ-SR	7.05	SJ-TF	9.55
SJ-UR	9.91	SJ-VA	11.27	SJ-VG	10.91
SJ-XO	16.75	SR-TF	12.94	SR-UR	3.27
SR-VA	4.70	SR-VG	11.07	SR-XO	18.14
TP-UR	16.17	TF-VA	17.58	TP-VG	15.81
TF-XO	7.69	UR-VA	1.43	UR-VG	13.67
UR-XO	20.97	VH-VG	15.10	VA-XO	22.19
VG-XO	7.10	-	0.00	-	0.00

- TABLA # 22 -

MATRIZ DE DISTANCIAS CALCULADAS

EN FUNCION DE G DE LA FRONTERA N-L

ENLACE	DISTANCIA CALCULADA	ENLACE	DISTANCIA CALCULADA	ENLACE	DISTANCIA CALCULADA
LA-TG	13.86	LA-ZA	15.60	LA-MC	11.17
AG-MC	8.45	AG-ML	5.03	AG-PE	5.13
GU-PE	3.01	VL-PE	6.32	SM-PE	6.17
SM-TC	5.01	SM-SB	4.25	FT-SB	4.27
PT-MA	7.91	PT-MO	5.55	PT-PL	6.15
TA-FL	5.85	TA-SO	5.00	NA-SO	0.47
NA-TE	5.93	MO-TA	5.71	-	0.00

- TABLA # 23 -

MATRIZ DE DISTANCIAS CALCULADAS

EN FUNCION DE G DE LA FRONTERA C-S

ENLACE	DISTANCIA CALCULADA	ENLACE	DISTANCIA CALCULADA	ENLACE	DISTANCIA CALCULADA
SF-CA	6.41	TY-MI	3.89	TY-CA	5.74
TY-UR	3.56	TY-VA	2.79	CI-VA	3.46
CI-PI	2.51	DO-PI	2.00	VD-FI	1.40
BA-PI	5.04	BA-MG	4.83	MC-MG	6.10
ZA-MG	4.90	ZA-AB	4.99	ED-AB	5.56
ED-MG	7.86	ED-MY	5.01	NE-MY	7.74

- TABLA # 24 -

### **III METODOLOGIA PARA EL DISEÑO DE LA RED AUXILIAR**

El objetivo de este capítulo es establecer y desarrollar los procedimientos para el diseño de la Red Auxiliar de rutas alternas entre centrales tandem del D.F., mediante el uso de diferentes algoritmos de optimización combinatoria. El diseño de la red se realizó en dos etapas. En la primera etapa se obtiene el circuito que enlaza a las seis centrales tandem. El problema de encontrar dicho circuito se plantea como un problema del agente viajero, ya que nos hemos limitado a buscar una solución bajo la hipótesis de una conexión doble para cada central tandem. Esto, con objeto de asegurar una conexión "suficiente" en la red y al mismo tiempo económica, ya que el costo depende directamente de la distancia.

En la segunda etapa se obtienen las rutas alternas tomando como guía los tramos que conforman el circuito obtenido en la primera etapa. Esto se basa en la hipótesis de que el comportamiento de las calles en todo el D.F. es más o menos homogéneo y se confirma con el análisis realizado al final de la 4<sup>a</sup> sección del capítulo III.

Este capítulo contiene cuatro secciones:

En la primera sección se describe el problema del agente viajero definiéndose los conceptos básicos que se utilizan en su planteamiento.

En la segunda sección se realiza la modelización para encontrar el circuito de la red auxiliar como un problema del agente viajero.

En la tercera sección se describen tres algoritmos que resuelven el problema del agente viajero, analizándose las ventajas y

El objetivo de este capítulo es establecer y desarrollar los procedimientos para el diseño de la Red Auxiliar de rutas alternas entre centrales tandem del D.F., mediante el uso de diferentes algoritmos de optimización combinatoria. El diseño de la red se realizó en dos etapas. En la primera etapa se obtiene el circuito que enlaza a las seis centrales tandem. El problema de encontrar dicho circuito se plantea como un problema del agente viajero, ya que nos hemos limitado a buscar una solución bajo la hipótesis de una conexión doble para cada central tandem. Esto, con objeto de asegurar una conexión "suficiente" en la red y al mismo tiempo económica, ya que el costo depende directamente de la distancia.

En la segunda etapa se obtienen las rutas alternas tomando como guía los enlaces que conforman el circuito obtenido en la primera etapa. Esto se basa en la hipótesis de que el comportamiento de las calles en todo el D.F. es más o menos homogéneo y se confirma con el análisis realizado al final de la 4<sup>a</sup> sección, del capítulo III.

Este capítulo contiene cuatro secciones:

En la primera sección se describe el problema del agente viajero definiéndose los conceptos básicos que se utilizan en su planteamiento.

En la segunda sección se realiza la modelización para encontrar el circuito de la red auxiliar como un problema del agente viajero.

En la tercera sección se describen tres algoritmos que resuelven el problema del agente viajero, analizándose las ventajas y

desventajas de cada uno de ellos.

En la cuarta sección se lleva a cabo la aplicación del algoritmo de Dijkstra de rutas mas cortas para encontrar las rutas alternas de enlace entre centrales tandem del D.F.

En la quinta sección se propone una alternativa en el diseño de la red auxiliar con objeto de establecer una mayor conexión en la red auxiliar propuesta.

### III.1 PROBLEMA DEL AGENTE VIAJERO

Los conceptos básicos que se utilizan en el planteamiento del Problema del Agente Viajero son:

- Una Grafica es una pareja de conjuntos  $\{X, A\}$ , donde  $X$  es un conjunto finito de elementos llamados vértices o nodos y  $A \subseteq X \times X$  es un conjunto de líneas que unen todos o algunos de los vértices. Se denota con  $G = \{X, A\}$ .

Si los elementos de  $A$  tienen una dirección, representada con una flecha, se llaman arcos y se dice que la grafica  $G$  es dirigida u orientada. Si no tiene dirección se llaman aristas y  $G$  es no dirigida.

Un arco puede representarse como la pareja  $(i, j)$  donde  $i, j \in X$  son los vértices que unen dicho arco.

- Una grafica  $G = \{X, A\}$  es una Grafica Completa si para cada par de vértices  $x_i, x_j$  en  $X$  existe un arco que los une.

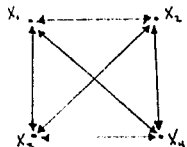
Ejemplos:



Grafica dirigida



Grafica no dirigida



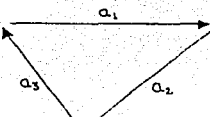
Grafica completa

- FIGURA # 22 -

- Un camino es una sucesión alternada de vértices y arcos tal que para cada arco de la sucesión, el vértice que lo precede

es su vértice inicial, y el que le sucede es su vértice final.

~ Un circuito es un camino en el cual el vértice inicial del primer arco coincide con el vértice final del último arco.



- FIGURA # 23 -

- Un Circuito Hamiltoniano se define como un circuito que pasa a traves de los  $n$  vértices de una grafica una y solo una vez. (Ver figura # 23).

Una vez mencionados estos conceptos se plantearan algunas aplicaciones prácticas, por ejemplo, considerar el problema en el cual un vehículo sale de una bodega para entregar víveres a un número dado de consumidores y regresa a la bodega. El costo del viaje es proporcional al total de la distancia recorrida por el vehículo así que dada la matriz de distancias entre consumidores, encontrar el viaje de menor costo es la solución al problema del agente viajero. Problemas de tipo similar ocurren en la recolección del correo postal, en los horarios de los autobuses escolares considerando un numero de paradas, etc. . Estas aplicaciones pueden ser representadas mediante una grafica y la solución se da al encontrar el circuito hamiltoniano de menor costo en la grafica.

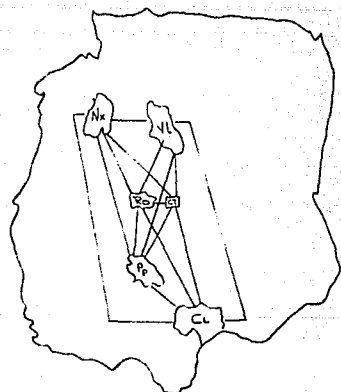
El problema de encontrar el circuito Hamiltoniano de menor cos-

to es ampliamente conocido en la literatura como el Problema del Agente Viajero.

En la siguiente sección el problema del diseño de la red auxiliar entre centrales tandem del D.F. se planteará como una aplicación del problema del agente viajero.

### III.2 MODELIZACION DEL PROBLEMA PLANTEADO COMO UN PROBLEMA DEL AGENTE VIAJERO

En el problema propuesto en el capítulo I, sección 6, se planteó la necesidad del diseño de una red auxiliar para la red interestandem del D.F. En la figura # 24 se muestra la ubicación y la forma en que están conectadas entre sí las seis centrales interestandem.



- FIGURA # 24 -

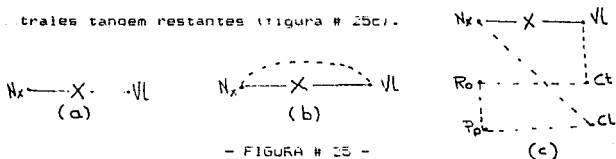
Con el diseño de la red auxiliar se pretende prever la posibilidad de que queden incomunicadas dos o más áreas tandem, por el rompimiento de algunos enlaces existentes.

Entonces se requiere que la red auxiliar conecte a las seis centrales tandem al menor costo posible.

Es decir, si ocurre un rompimiento en alguno de los enlaces entre las centrales tandem, es necesario garantizar que estas dos centrales tandem pueden enlazadas por una ruta alterna.

Si se planteara como solucion el generar un arbol de peso minimo, se garantizaria que las 6 centrales tandem, quedan conectadas. Para prevenir el caso en que una o mas de las centrales tandem quedaran desconectadas al averiarse uno de los enlaces que conformaran el arbol, se sugiere como mejor accion la generacion de un circuito.

Es importante señalar que con la generación de un circuito la posibilidad de que dos centrales tandem queden incomunicadas disminuye considerablemente, ya que se generan dos alternativas. Por ejemplo suponga que el enlace entre la central Vallejo (V1) y la central Nextengo (Nx), se rompe como se muestra en la figura # 25a , entonces quedan comunicadas mediante la ruta alterna, del circuito, entre V1 y Nx (figura # 25b ), o bien mediante las rutas alternas del circuito que comunican a las centrales tandem restantes (figura # 25c ).



Cabe mencionar que el costo de cable de fibra óptica para enlazar estas seis centrales es proporcional al total de la distancia de enlace entre cada tandem. Partiendo de esta sola hipótesis se optó por adaptar el problema planteado al problema del agente viajero, ya que se requiere encontrar un circuito que una a las seis centrales tandem al costo más bajo posible.

Una forma de resolver el problema del agente viajero es haciendo una enumeración exhaustiva de todas las soluciones posibles y entre ellas escoger la mejor. Hay  $n!$  permutaciones de los  $n$  nodos, pero solo  $(n-1)!$  de ellas son circuitos hamiltonianos distintos (en una gráfica dirigida completa), porque podemos fijar alguno de los  $n$  nodos, y posteriormente hay  $(n-1)!$  formas de acomodar los  $(n-1)$  nodos restantes en el circuito. En caso de que la red dada no sea una red dirigida entonces hay  $(n-1)/2$  circuitos hamiltonianos distintos.

Teóricamente el problema se puede resolver generando los  $(n-1)!$  circuitos y comparando sus pesos, sin embargo como método este es muy ineficiente.

Se sabe que el problema del agente viajero es uno de los problemas de optimización combinatoria para el cual, hasta ahora, (i) no se conoce un algoritmo que lo resuelva en tiempo polinomial.

Para la determinación del circuito que se requiere encontrar para la Red Auxiliar se tomaron en cuenta las consideraciones

(i) Ver ref. [5] pag. 178

anteriormente mencionadas, pero resulta que nuestro problema es un problema de dimensiones pequeñas, solo tenemos seis nodos; lo cual hace muy sencilla la labor, aun si se hubiera considerado la búsqueda exhaustiva,  $(6 - 1)! \cdot 2 = 60$  circuitos, es posible encontrar el de menor costo sin mayor problema.

Sin embargo, nos interesa encontrar la solución óptima a través de tres algoritmos, los cuales se describen en la siguiente sección.

### III.3 ALGORITMOS UTILIZADOS PARA LA DETERMINACION DEL CIRCUITO HAMILTONIANO OPTIMO EN LA RED AUXILIAR

#### III.3.1 Método Algebraico:

Este método esta basado en el trabajo de Lau, Danielson y Dhawan (1968), el cual involucra la generación de todos los circuitos hamiltonianos por multiplicación sucesiva de matrices. El producto "interno de vértices" de un camino  $x_1, x_2, \dots, x_k$  esta definido como la secuencia de vértices  $x_2, \dots, x_{k-1}$ , excluyendo a los dos vértices terminales  $x_1, x_k$ . La matriz adyacente de variables modificadas se define como  $B = [B(i,j)]$ , la cual es una matriz  $n \times n$  donde  $B(i,j) = x_j$  si hay un arco de  $x_i$  a  $x_j$  y cero en otro caso.

Ahora supóngase que se tiene una matriz  $P_L = [P_L(i,j)]$  donde  $P_L(i,j)$  es la suma del producto "interno de vértices" de todos los caminos de cardinalidad  $l$  entre el vértice  $x_i$  y el vértice  $x_j$ . para  $x_i \neq x_j$ , suponga que  $P_L(i,i) = 0 \forall i$ . el producto ordinario de la matriz algebraica  $B \cdot P_L \equiv P_{L+1} = [P_{L+1}(s,t)]$  esta dado por:

$$P_{L+1}(s,t) = \sum_k B(s,k) \cdot P_L(k,t) \quad (1.7)$$

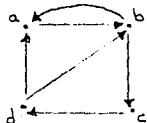
por lo tanto  $P_{L+1}(s,t)$  es la suma del producto interno de todos los caminos de  $x_s$  a  $x_t$  de cardinalidad  $l+1$ . Si todos los caminos de  $x_k$  a  $x_t$  representados por el producto interno de vértices de  $P_L(k,t)$  son circuitos, los únicos no circuitos que pueden resultar de la expresión (1.7) son aquellos en los que el producto interno de vértices en  $P_L(k,t)$  contiene al vértice  $x_s$ . Entonces si todos los términos que contienen a  $x_s$  son

(i) Ver ref. [2] págs. 217-221

eliminados de  $P_{L+1}(s,t)$ , la matriz  $P_{L+1} = [p_{L+1}(s,t)]$  con todos los elementos de la diagonal igual a cero, es entonces la matriz de todos los circuitos de cardinalidad  $L+1$ , continuando de esta forma  $B \cdot P_L$  producirá  $P_{L+2}$  y así sucesivamente hasta que la matriz de circuitos  $P_{n-1}$ , sea generada, la cual contendrá todos los circuitos hamiltonianos entre todo par de vértices.

Ejemplo:

Considerese la gráfica:



la matriz adyacente es:

$$A = \begin{bmatrix} 0 & 1 & 0 & 0 \\ 1 & 0 & 1 & 0 \\ 0 & 0 & 0 & 1 \\ 1 & 1 & 0 & 0 \end{bmatrix}$$

la matriz adyacente de variaciones modificadas es:

$$B = \begin{bmatrix} 0 & 0 & 0 & 0 \\ a & 0 & c & 0 \\ 0 & 0 & -d & 0 \\ a & b & 0 & 0 \end{bmatrix}$$

Sea  $P_1 = A$

$$P_2' = B \cdot P_1$$

entonces  $P_2' = \begin{bmatrix} 0 & 0 & b & 0 \\ 0 & 0 & 0 & c \\ d & d & 0 & 0 \\ b & a & b & 0 \end{bmatrix}$

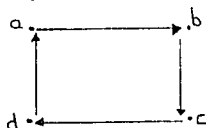
$$\text{y } P_3' = B \cdot P_2'$$

entonces  $P_3' = \begin{bmatrix} a & b & c & 0 \\ a & 0 & 0 & ac \\ b & cd & 0 & 0 \\ c & db & da & 0 \\ d & 0 & 0 & ab \end{bmatrix}$

La matriz de circuitos hamiltonianos es  $P_3'$ . El circuito hamiltoniano que se forma del vertice a al vertice d queda determinado por un circuito el cual corresponde al elemento (1,

4) de esta matriz  $P_3'$  se forma entonces el circuito:

a - b - c - d - a que es el único circuito hamiltoniano que existe en la grafica. (Ver figura # 26).



- FIGURA # 26 -

La desventaja que presenta el metodo algebraico es que debido al proceso continuo de multiplicacion de matrices. Los elemen-

tos de la matriz resultante van creciendo en cada multiplicación y por lo tanto se requiere mayor capacidad de memoria y tiempo de procesamiento. Sin embargo existe una modificación a este método que reduce considerablemente requerimientos en tiempo y capacidad de memoria. Los circuitos hamiltonianos pueden ser obtenidos del producto sucesivo entre las matrices  $B$  y  $P_{Lij}^t$ , considerando a la matriz  $B$  y la última columna de de cada matriz  $P_{Lij}^t$ .

Para encontrar los circuitos hamiltonianos de la gráfica que representa a las seis centrales tandem (ver figura # 24), se consideraron la matriz adyacente  $A$  y la matriz adyacente de variables modificadas  $B$  mostradas a continuación.

$$A = \begin{bmatrix} 0 & 1 & 1 & 1 & 1 & 1 \\ 1 & 0 & 1 & 1 & 1 & 1 \\ 1 & 1 & 0 & 1 & 1 & 1 \\ 1 & 1 & 1 & 0 & 1 & 1 \\ 1 & 1 & 1 & 1 & 0 & 1 \\ 1 & 1 & 1 & 1 & 1 & 0 \end{bmatrix} \quad B = \begin{bmatrix} 0 & b & c & d & e & f \\ a & 0 & c & d & e & f \\ a & b & 0 & d & e & f \\ a & b & c & 0 & e & f \\ a & b & c & d & 0 & f \\ a & b & c & d & e & 0 \end{bmatrix}$$

Considerando la modificación del método algebraico mencionada anteriormente se desarrolló el programa # 5, (ver anexo III), para obtener los 60 circuitos hamiltonianos asociados.

Con los circuitos hamiltonianos obtenidos se procedió al cálculo del costo asociado a cada circuito mediante el programa # 6 del anexo II.

La matriz que se uso como insumo para el cálculo del costo asociado a cada circuito se muestra en la tabla # 15. Los elementos de esta matriz se obtuvieron midiendo (en un mapa a escala 1:30 000), la linea recta que une a cada par de centrales también, con objeto de contar con una distancia mínima para determinar el circuito hamiltoniano óptimo.

Matriz de distancias directas entre centrales random:

NK	VI	Ro	Ct	Po	C1
NK	0	5.97	11.14	11.2	19.2
VI	5.97	0	9.25	8.00	17.6
Ro	11.14	9.25	0	2.35	8.41
Ct	11.2	8.00	2.35	0	9.7
Po	19.2	17.6	8.41	7.7	0
C1	26.27	23.68	15.14	15.05	7.04

- TABLA # 25 -

Los 60 circuitos obtenidos aplicando el método algebraico, y el costo asociado a cada circuito se muestran en la tabla # 26.

COSTO ASOCIADO A CADA CIRCUITO HAMILTONIANO

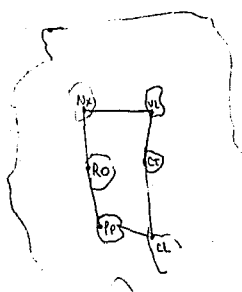
CIRCUITO	CIRCUITO DE TANDEM S	COSTO ASOCIADO
ACEFDBA	Nx-RD-FP-CL-CT-VL-Nx	56.87
ABDEFCA	Nx-VL-Cl-FP-CL-RD-Nx	57.65
ABCEFDA	Nx-VL-RD-FP-CL-CT-Nx	58.12
AEFCDBA	Nx-FP-CL-RD-CT-VL-Nx	58.36
ABDCEFA	Nx-VL-CT-RD-FP-CL-Nx	58.70
ADEFBDA	Nx-CT-FP-CL-RD-VL-Nx	58.90
ADCEFBA	Nx-CT-RD-FP-CL-VL-Nx	59.25
ADCDFEA	Nx-CT-RD-CL-FP-VL-Nx	59.90
ABCDFEA	Nx-VL-RD-CT-CL-FP-Nx	60.06
ABEFDCB	Nx-FP-CL-CT-RD-Nx	60.35
ACDEFBA	Nx-RD-CT-FP-CL-VL-Nx	60.48
AFEDCBA	Nx-CL-FP-CT-RD-VL-Nx	61.18
ABDFECA	Nx-CT-VL-CL-FP-RD-Nx	70.13
AEFCRDA	Nx-FP-CL-RD-VL-CT-Nx	70.49
ACFEFBD	Nx-RD-CL-FP-VL-CT-Nx	70.78
AFECBDA	Nx-CL-FP-RD-VL-CT-Nx	70.83
AEFDPCA	Nx-FP-CL-CT-VL-RD-Nx	70.94
AFEDBCA	Nx-CL-FP-CT-VL-RD-Nx	72.06
AEFBDC	1Nx-FP-CL-VL-CT-RD-Nx	72.07
ABUFCER	Nx-VL-CT-CL-RD-FP-Nx	72.43
HCBEFDA	Nx-RD-VL-FP-CL-CT-Nx	72.48
ADEFBDA	Nx-CT-FP-CL-VL-RD-Nx	72.61
ACDBEFA	Nx-RD-CT-VL-FP-LL-Nx	72.66
ACCBFEA	Nx-Cl-RD-VL-CL-FP-Nx	73.31
ABDECF	Nx-VL-CT-FP-RD-CL-Nx	73.55
ABECFDA	Nx-VL-FP-RD-CL-CT-Nx	73.97
AEFCEDA	Nx-VL-CL-RD-FP-CT-Nx	74.10
ACUCBEFA	Nx-CT-RD-VL-FP-CL-Nx	74.31
ABFDECA	Nx-VL-CL-CT-FP-RD-Nx	74.55
ABCDFEA	Nx-VL-RD-CL-CT-FP-Nx	74.91
ACFDEBA	Nx-RD-CL-CT-FP-VL-Nx	75.20
AFDECBA	Nx-CL-CT-FP-RD-VL-Nx	75.25
ABFDCEA	Nx-VL-CL-CT-RD-FP-Nx	75.26
AEDCFBA	Nx-FP-Cl-RD-CL-VL-Nx	76.04
ABECDF	Nx-VL-FP-RD-CT-CL-Nx	76.25
ABEDCF	Nx-VL-FP-CT-RD-CL-Nx	77.03
AECFBDA	Nx-FP-RD-CL-VL-CT-Nx	85.69
ABBECEFA	Nx-CT-VL-FP-RD-CL-Nx	86.68
AEBDFCA	Nx-FP-VL-CT-CL-RD-Nx	86.79
AECHCEFA	Nx-FP-RD-VL-CT-CL-Nx	86.84
AEDBFCA	Nx-FP-CT-VL-CL-RD-Nx	86.92
AFDCECA	1Nx-CL-CT-VL-FP-RD-Nx	87.13
ACEDBFA	1Nx-RD-FP-CT-VL-CL-Nx	87.26
ADFBCFA	Nx-CT-CL-VL-RD-FP-Nx	87.35
AEDBCFA	1Nx-FP-CT-VL-RD-CL-Nx	87.62

COSTO ASOCIADO A CADA CIRCUITO HAMILTONIANO

CIRCUITO	CIRCUITO DE TANDEM S	COSTO ASOCIADO
ACEBFDA	NX-R0-FF-VL-CL-CT-NX	87.68
AECDBFA	NX-FF-R0-CT-VL-CL-NX	87.97
ADFCBCEA	NX-CT-CL-R0-VL-FF-CT-NX	88.04
ACFBEDA	NX-R0-CL-VL-FF-CT-NX	88.46
AFBCEDA	NX-CL-VL-R0-FF-CT-NX	88.51
ACBFDEA	NX-R0-VL-CL-CT-FF-NX	88.81
AFCDBEA	NX-CL-R0-CT-VL-FF-NX	88.62
ADEBCFA	NX-CT-FF-VL-R0-CL-NX	89.15
AEBFCDA	NX-FF-VL-CL-R0-CT-NX	89.17
AFBECDA	NX-CL-VL-FF-R0-CT-NX	89.51
AFDEBCA	NX-CL-CT-FF-VL-R0-NX	89.61
ACDFBEA	NX-R0-CT-CL-VL-FF-NX	89.62
AEBCDFA	NX-FF-VL-R0-CT-CL-NX	90.32
AFBCDEA	NX-CL-VL-R0-CT-FF-NX	90.45
AFBEDCA	NX-CL-VL-FF-CT-R0-NX	90.74

- TABLA # 26 -

Se seleccionó el circuito de menor costo como solución al problema planteado, este circuito se muestra en la figura # 27.



- FIGURA # 27 -

El tiempo de procesamiento, sin considerar captura, para encontrar todos los circuitos fue de un minuto, en una PC-GAMA de 20 megabytes. Se observara que este metodo que encuentra el circuito optimo para la red auxiliar fue suficiente, para nuestro ejemplo, sin embargo representaria serias limitantes en cuanto a capacidad de memoria y tiempo de procesamiento si el numero de nodos es mayor.

Con fines didacticos y con objeto de comparar los resultados obtenidos, se considero la implementacion de dos metodos de ramificacion y acotamiento, los cuales se describen en la siguiente seccion.

### III.3.2 METODOS DE RAMIFICACION Y ACOTAMIENTO CONSIDERADOS

Los métodos de ramificación y acotamiento son círculos alianos enumerativos para resolver problemas de optimización discreta. Dichos métodos tienen la característica de jerarquizar las distintas alternativas de solución al considerar, en general una pequeña parte de todas las alternativas posibles, pues las restantes son eliminadas por criterios que establecen que tales alternativas no conducen a la solución óptima.

Uno de los métodos de ramificación y acotamiento para resolver el problema del agente viajero es el desarrollado por Bellmore y Nemhauser (1968).<sup>(1)</sup>

El procedimiento de este método requiere como primer paso de una técnica para encontrar una cota en una gráfica  $G$ , que represente la longitud del circuito hamiltoniano más corto. A su vez en la técnica para determinar dicha cota es necesario usar un algoritmo de flujo a costo mínimo, y este último algoritmo puede requerir de la utilización de un algoritmo de ruta más corta entre dos nodos, si se opta por utilizar el algoritmo dual de Busaker y Gowen.

Si al encontrar la cota el flujo generado corresponde a un circuito en la gráfica  $G$ , entonces el problema del agente viajero queda resuelto.

Si al encontrar la cota el flujo generado corresponde a circuitos disjuntos, se deben generar gráficas a partir de  $G$  y encontrar cotas para cada una de ellas regresando al primer paso.

(1) Ver ref. [8] págs. 278-283

Al tratar de implementar este método para encontrar el circuito de la red auxiliar se pudo observar que es un método que necesita como insumos la solución de otros algoritmos, resultando ser un método, para este caso, demasiado extenso en su aplicación y poco práctico para obtener resultados rápidamente, razones por las cuales no se decidió automatizarlo.

El otro método de ramificación y acotamiento considerado, se debe a Little-Murty, y se describe y ejemplifica a continuación:

Paso 1.- Dada la matriz de costos A, se efectúan sustracciones en los renglones y las columnas de la matriz A, sin permitir que aparezcan valores negativos, lo cual se logra tomando el elemento de valor mínimo para cada cada renglón y columna. Con esto obtenemos una cota inferior del problema del viajero al sumar los elementos que se restaron a los renglones y a las columnas. La matriz A' es la matriz reducida de A.

Ejemplo:

	a	b	c	d	e	f
a	*	27	43	16	30	15
b	7	*	10	1	30	15
c	20	13	*	35	5	0
d	21	10	25	*	18	18
e	12	46	27	16	*	5
f	20	5	5	9	5	*

(1) Ver ref. [4] pag. 98

los elementos restados por remoción de  $\alpha_1$  y  $\alpha_3$  respectivamente son: 16, 1, 0, 16, 5, 5. Los elementos restados por columna, en el mismo orden son: 1, 0, 16, 0, 0, 0. La cota inferior es  $latitud + 16 + 5 + 5 + 0 + 0 + 0 = 48$ .

$$A = \begin{bmatrix} a & b & c & d & e & f \\ \alpha_1 & 11 & 27 & 0 & 14 & 10 \\ \alpha_2 & 1 & * & 15 & 0 & 29 & 24 \\ \alpha_3 & 15 & 13 & * & 35 & 5 & 0 \\ d & 0 & 0 & 9 & * & 2 & 2 \\ e & 2 & 41 & 22 & 23 & * & 0 \\ f & 13 & 0 & 0 & 4 & 0 & * \end{bmatrix}$$

Paso 2.- Sean  $\Omega$  un nodo del árbol y  $\theta_{i(j)}$  la cota inferior de este nodo  $\Omega$ , con cada arco  $(i,j)$  con  $\alpha_{ij} = 0$  se debe usar algún arco comenzando en  $i$  y penalizarlo por  $\beta_{ij}$ . También se debe usar algún arco en  $j$  y se oodaría penalizar por  $\beta_{ji}$ , con lo cual  $\theta_{ij} = \alpha_{ij} + \beta_{ij}$  es la penalización de no escoger  $(i,j)$ . Se selecciona el arco que tiene el máximo de los  $\theta_{ij}$ .

Entonces en el ejemplo se tiene que:

$$\theta_{AD} = \alpha_A + \beta_D = 10 + 0 = 10$$

$$\theta_{BD} = \alpha_B + \beta_D = 1 + 0 = 1$$

$$\theta_{CF} = \alpha_C + \beta_F = 5 + 0 = 5$$

$$\theta_{DA} = \alpha_D + \beta_A = 0 + 1 = 1$$

$$\theta_{DD} = \alpha_D + \beta_D = 0 + 0 = 0$$

$$\theta_{EF} = \alpha_E + \beta_F = 2 + 0 = 2$$

$$\theta_{FB} = \alpha_F + \beta_B = 0 + 0 = 0$$

$$\theta_{FC} = \alpha_F + \beta_C = 0 + 9 = 9$$

$$\theta_{FE} = \alpha_F + \beta_E = 0 + 2 = 2$$

Se selecciona el arco (a,d) ya que  $b_{AD}$  es el maximo.

Paso 3.- Si el arco (i,j) no se selecciona,  $b_{ij} + b_{ji}$  es una cota inferior. Si el arco (i,j) se selecciona entonces la matriz se reduce omitiendo el renglon i y la columna j. Buscar la condicion adicional para excluir subcircuitos posibles.

Siguiendo con el mismo ejemplo, como el arco seleccionado fue (a,d), entonces la matriz se reduce omitiendo el renglon a y la columna d, asimismo, el tiempo entre la localidad d y la a se hace igual a  $\infty$  para evitar usar el arco (d,a); pues se sabe que no forma parte del recorrido hamiltoniano minimo. Si no se hace este tiempo infinito, existe la posibilidad de la aparicion de subcircuitos. En la siguiente tabla se muestra la matriz reducida A', donde se han eliminado el renglon a y la columna d.

$$A' = \begin{bmatrix} a & b & c & e & f \\ b & 1 & \infty & 15 & 29 & 24 \\ c & 15 & 13 & \infty & 5 & 0 \\ e & \infty & 0 & 9 & 2 & 2 \\ e & 2 & 41 & 22 & \infty & 0 \\ f & 13 & 0 & 0 & 0 & \infty \end{bmatrix}$$

Paso 4.- Seleccionar el nodo de costo minimo, regresar al paso 1.

El recorrido hamiltoniano optimo en el ejemplo es a - d - c - e - f - b - a con 63 unidades.

Este algoritmo fue aplicado para encontrar el circuito hamiltoniano optimo de la red de seguridad para las seis centrales en tandem del D.F.. Utilizando un programa en lenguaje Pascal. ① La matriz de distancias utilizada se muestra en la tafia N° 15 pag. 118. y el circuito hamiltoniano optimo encontrado es:

$$N_0 = V_1 = C_1 = F_0 = F_0 = V_0$$

con una distancia total de 56.87 que confirma el resultado obtenido por el metodo algebraico.

Es importante mencionar que este proceso automatizado, sin considerar captura se desarrollo en 40 sec. A diferencia del metodo algebraico es mas eficiente en cuanto al tiempo de cálculo y capacidad de memoria. Esto representa una gran ventaja para los casos en los que la determinación del circuito optima, no requiere de flexibilidad. Sucede que en una empresa como Telefones de Mexico S.A. de C.V., se elige el planteamiento de diferentes alternativas debido a la dinamica que existe en la toma de decisiones.

Por esta razon se considero que la desventaja de tiempo de procesamiento y capacidad de memoria del metodo algebraico, para

---

① Este programa fue desarrollado en la tesis de maestría con título "Técnicas de Ramificación y Acotamiento" de la M. en C. Idalia Flores de la M. DEFFI - UNAM.

este caso, se compensa por la flexibilidad que brinda en cuanto a los resultados que proporciona para la toma de decisiones. Es decir el hecho de que el metodo algebraico proporcione todos los circuitos hamiltonianos permite plantear a la empresa diferentes alternativas, en función del costo asociado, y entonces no se restringe a la solución única proporcionada por los otros métodos.

Una vez encontrada la forma en que se deben enlazar optimamente a las seis centrales tandem se procederá a buscar las centrales intermedias que constituirán una ruta alterna auxiliar entre cada central tandem. En la siguiente sección se detalla el procedimiento.

### III.4 APLICACION DEL ALGORITMO DE RUTA MAS CORTA DE DIJKSTRA PARA EL DISEÑO DE LA RED AUXILIAR

La metodología para resolver este problema parte de la hipótesis de que la "tortuosidad" de las calles es homogénea en todo el D.F.<sup>(1)</sup>.

Con el circuito hamiltoniano óptimo obtenido anteriormente, se conoce la forma en que quedan conectadas las 6 centrales tandem. Ahora, se requiere conocer las rutas alternas entre cada par de centrales tandem, las rutas a seguir que propondremos consideraran como posibles puntos intermedios las centrales telefónicas de la red del D.F.. Estas rutas tomarán como guía la forma en que quedan conectadas las centrales tandem en el circuito hamiltoniano óptimo. De esta forma quedará diseñada la red auxiliar de centrales tandem del D.F. .

Para determinar las rutas alternas es conveniente utilizar un algoritmo de ruta mas corta. Se eligió el algoritmo de Dijkstra por ser un algoritmo que determina la ruta mas corta entre dos vértices específicos de una gráfica, condición que garantiza rapidez y reducción de memoria en su implementación. A continuación se describe y exemplifica el algoritmo de Dijkstra:

Sea  $s =$  vértice inicial

$t =$  vértice final

$L(x_i) =$  etiqueta del vértice  $x_i$ ,  $c_{ij} \neq 0$

(1) Esta hipótesis esta basada en los resultados del tercer módulo, ver tabla # 13 pag. 85

**Paso 1.- inicio**

Sea  $L(s) = 0$ , marcar la etiqueta como permanente y

$L(x_i) = \infty \quad \forall x_i \neq s$  marcando estas etiquetas como temporales, donde  $p = s$ .

**Paso 2.- (actualización de etiquetas)**

Para todo  $x_i \in V(p)$  y el cual tiene etiquetas temporales, actualizar las etiquetas de acuerdo a:

$$L(x_i) = \min \{ L(x_i), L(p) + c(p, x_i) \}$$

fixando una etiqueta permanente.

**Paso 3.-** de todos los vértices etiquetados temporalmente encontrar  $x_i^*$  para el cual  $L(x_i^*) = \min \{ L(x_i) \}$ .

**Paso 4.-** marcar la etiqueta de  $x_i^*$  permanente y asignar  $p = x_i^*$

**Paso 5.-** i) (Si únicamente la ruta de  $s$  a  $t$  es requerida).

Si  $p = t$ ,  $L(p)$  es la longitud del camino más corto requerido y terminar.

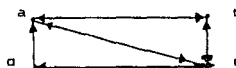
Si  $p \neq t$ , ir al paso 2.

ii) (Si se requiere la ruta de  $s$  a cualquier otro vértice).

Si todos los vértices están permanentemente etiquetados entonces las etiquetas son las longitudes de los caminos más cortos, terminar.

Si algunas etiquetas son temporales regresar al paso 2.

**Ejemplo:** Sea la gráfica



donde la matriz de costos asociados es:

$$\begin{array}{c} \begin{matrix} & a & b & c & d \end{matrix} \\ \begin{matrix} a & \left[ \begin{matrix} 0 & 2 & 6 & \infty \\ 4 & 0 & 4 & 1 \\ 8 & 3 & 0 & 10 \\ 7 & \infty & 2 & 0 \end{matrix} \right] \\ b \\ c \\ d \end{matrix} \end{array}$$

Se quiere encontrar la ruta más corta del vértice a al vértice c.

Paso 1.- (inicio)

Sea  $L(a) = 0^+$

$$L(b) = L(c) = L(d) = \infty$$

$$p = a$$

Paso 2.- (actualización de etiquetas)

$$\delta^1(a) = \{ b, c \}$$

$$L(b) = \min. [ L(b), L(a) + C(a,b) ] = \min. [ \infty, 0+2 ] = 2$$

$$L(c) = \min. [ L(c), L(a) + C(a,c) ] = \min. [ \infty, 0+6 ] = 6$$

Paso 3.-

$$\min [ 2, 6 ] = 2 \text{ corresponde al vértice } b$$

Paso 4.-

Sea  $L(b) = 2^+$

$$p = b$$

Paso 5.- no todos los vértices tienen etiqueta permanente así que se regresa al paso 2.

Paso 2.-

$$\delta^1(b) = \{ d, c \}$$

$$L(d) = \min. [ L(d), L(b) + C(b,d) ] = \min. [ \infty, 2+1 ] = 3^+$$

$$L(c) = \min. [ L(d), L(b) + C(b,c) ] = \min. [ \infty, 2+4 ] = 6$$

Paso 3.-

$$\min. [ 3, 6 ] = 3, \text{ corresponde al v\'ertice } d$$

Paso 4.-

$$\text{Sea } L(d) = 3^+$$

$$p = d$$

Paso 5.- Regresar al paso 2

Paso 2.-

$$(d) = (c)$$

$$L(c) = \min. [ L(c), L(d) + C(d,c) ] = \min. [ \infty, 3+2 ] = 5$$

Paso 3.-

$$\min. [ 5 ] = 5 \text{ corresponde al v\'ertice } c$$

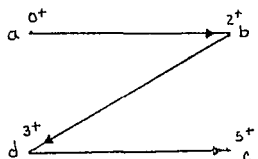
Paso 4.-

$$L(c) = 5^+$$

$$p = c$$

Paso 5.- Todos los v\'ertices estan etiquetados permanentemente terminar y  $p = t$ , es decir  $\sigma = c$  y  $L(c)$  es la longitud del camino mas corto requerido.

Graficamente la ruta mas corta se muestra en la figura # 30.



- FIGURA # 30 -

De esta forma se obtuvieron las rutas alternas mas cortas entre cada par de centrales tandem, mediante el paquete de ruta mas corta desarrollado en la tesis de licenciatura titulada "Faquetes de Algoritmos de Resolucion de algunos Problemas de Redes".<sup>(1)</sup> La aplicacion de dicho paquete se llevo a cabo bajo las siguientes consideraciones:

- Para encontrar la ruta alterna mas corta entre las centrales tandem Nextengo (vertice inicial), y Vallejo (vertice final) correspondientes a la zona Norte del D.F., se incluyeron a las 26 centrales que conforman dicha zona, por lo que la informacion fuente considerada, es la matriz de distancias que se obtuvo mediante el tercer modelo no lineal, el cual describe las distancias en funcion de la variable  $q$ . Esta matriz se encuentra en el capitulo I, seccion 5, tabla # 20.
- Con el mismo criterio se determino la ruta alterna mas corta entre las centrales tandem Popocatepetl y Cuinuacan correspondientes a la zona Sur, donde el numero de centrales es de 25, y la matriz de distancias considerada se encuentra en el capitulo I, seccion 5, tabla # 22.
- Para encontrar la ruta alterna mas corta entre las centrales tandem Nextengo y Roma, se considero la union de las centrales de la zona Norte y la zona Centro. Donde la matriz de distancias que se utilizo, se formo con la matriz de distancias entre centrales de la zona Norte, zona Centro, y fronter-

---

(1) Terreros Muñoz Victor Manuel y Hernandez Zetina Octavio David  
Actuarios Fac. Ciencias UNAM (en desarrollo).

ra N-C. Identicamente se encontro la ruta alterna mas corta entre las centrales tandem vallejo y Centro Telefonico. (Es decir, se unieron las tablas # 20, # 21, # 23).

- Finalmente para encontrar la ruta alterna mas corta entre las centrales tandem Roma y Popocatepetl se formo la matriz de distancias con la union de las matrices de distancias contenidas para la zona Centro, zona Sur, y frontera C-S. Asimismo se obtuvo la ruta alterna mas corta para las centrales tandem Centro Telefonico y Cuernavaca. (En este caso se unieron las tablas # 21, # 22, # 24).

El tiempo requerido para encontrar cada ruta alterna utilizando el paquete fue de 30 segs.

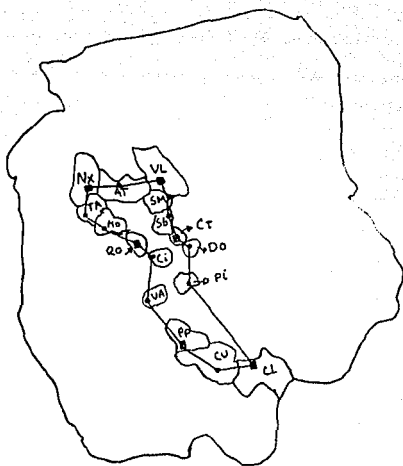
Las rutas alternas mas cortas entre cada par de centrales tandem que se obtuvieron con la aplicacion del paquete son:

Centrales Tandem	Ruta Alterna	Longitud de Ruta (Kms.)
Nx - V1	Nx - At - V1	0.8
Pp - Cl	Pp - Cu - Cl	9.24
Nx - Ro	Nx - Ta - Mo - Ro	14.05
V1 - Ct	V1 - Sm - So - Ct	10.41
Ro - Pp	Ro - Ci - Va - Pp	5.43
Ct - Cl	Ct - Do - Fi - Cl	17.66
Total		67.8

- TABLA # 27 -

Con la obtencion de las rutas alternas mas cortas, presentadas en la tabla # 27, queda finalmente diseñada la Red Auxiliar de rutas intertandem del D.F., que tiene una distancia de 67.8 Kms.

En la figura # 31 se muestra la Red Auxiliar resultante.



- FIGURA # 31 -

Con objeto de confirmar los resultados obtenidos, se planteó la búsqueda de un circuito utilizando las distancias de rutas alternas entre todo par de centrales tandem.

La matriz de rutas alternas es:

	Nx	VL	Ro	Ct	Pp	Cl
Nx	0	6.8	14.05	13.79	23.75	31.9
VL	6.8	0	11.39	10.42	21.0	30.02
Ro	14.05	11.39	0	2.81	9.43	17.86
Ct	13.79	10.42	2.81	0	11.18	17.86
Pp	23.75	21.0	9.43	11.18	0	9.24
Cl	31.9	30.02	17.63	17.86	9.24	0

Evaluando nuevamente con estas distancias los circuitos obtenidos en con el metodo algebraico se encontro que el circuito de costo minimo es:

$$Nx - V1 - Ct - C1 - Fp - Ro - Nx$$

con una longitud de 67.8 kms.

La obtencion de este circuito confirma que el resultado obtenido es optimo con respecto a la distancia.

La Red Auxiliar diseñada es una red optima en funcion de las distancias de enlace entre centrales, ya que como se menciono en el planteamiento del problema, el costo de cable de fibra optica es proporcional a las distancias, lo que implica que la red diseñada sea una red auxiliar a costo minimo, considerando unicamente el costo del cable de fibra optica.

Finalmente se propone una alternativa en el diseño de la red auxiliar con objeto de que exista mayor conexion entre las centrales tandem. En la siguiente seccion se presenta dicha alternativa.

### III.5 UNA ALTERNATIVA EN EL DISEÑO DE LA RED AUXILIAR DE RUTAS INTERTANDEM EN LA RED TELEFONICA DEL D.F.

Con objeto de obtener una mayor conexión entre las centrales tandem de la Red Auxiliar, la alternativa que se propone es determinar una ruta alterna entre las centrales tandem Roma (Ro) y Centro Telefonico (Ct). Esto se propone ya que se observa que dado el circuito hamiltoniano óptimo, la distancia existente entre las centrales tandem de Roma (Ro) y Centro Telefonico (Ct) es la más pequeña (ver matriz pag. 104).

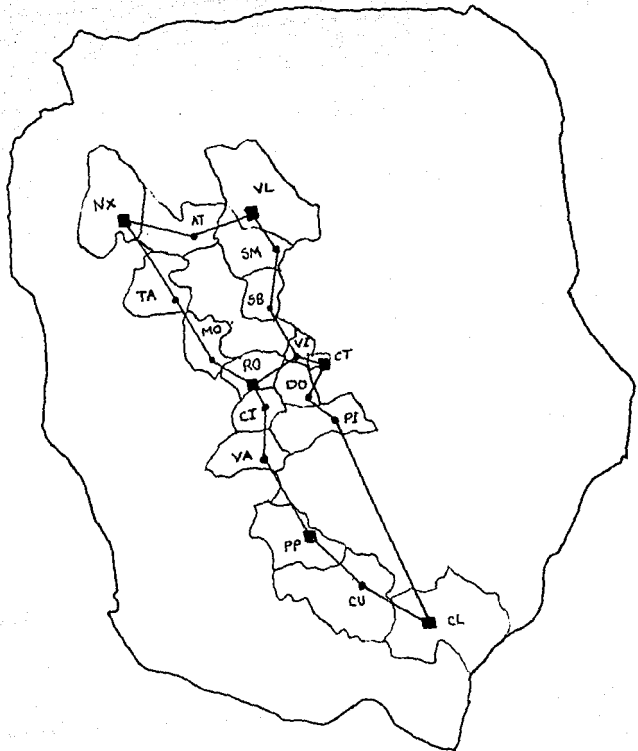
Esta longitud representa un incremento pequeño en la longitud total de la red auxiliar propuesta.

Finalmente se propone al proyecto de la Red Auxiliar de rutas intertandem en la Red Telefónica del D.F. que dicha red quede integrada por el circuito hamiltoniano óptimo:

Nx - VI - Ct - Ci - Fp - Ro - Nx

las rutas alternas más cortas entre las centrales tandem, y la ruta alterna entre Ro y Ct (que tiene una distancia de 2.81Kms.)

Esta Red se muestra en la figura # 32.



- FIGURA # 32 -

#### **IV RESULTADOS OBTENIDOS**

En la figura 1 se presentan los resultados obtenidos para el caso de la difusión en un medio que no absorbe la radiación. Se observa que el resultado es una curva de tipo exponencial que se acerca al eje de las abscisas. La ecuación que mejor describe este resultado es:

$$I = I_0 e^{-\mu x} \quad (1)$$

que es la ecuación de la difusión en un medio que no absorbe la radiación.

En la figura 2 se presentan los resultados obtenidos para el caso de la difusión en un medio que absorbe la radiación. Se observa que el resultado es una curva que se aleja del eje de las abscisas. La ecuación que mejor describe este resultado es:

$$I = I_0 e^{-\mu x} + C \quad (2)$$

que es la ecuación de la difusión en un medio que absorbe la radiación.

En la figura 3 se presentan los resultados obtenidos para el caso de la difusión en un medio que refleja la radiación. Se observa que el resultado es una curva que se aleja del eje de las abscisas. La ecuación que mejor describe este resultado es:

$$I = I_0 e^{-\mu x} + C \quad (3)$$

que es la ecuación de la difusión en un medio que refleja la radiación.

En la figura 4 se presentan los resultados obtenidos para el caso de la difusión en un medio que difracta la radiación. Se observa que el resultado es una curva que se aleja del eje de las abscisas. La ecuación que mejor describe este resultado es:

$$I = I_0 e^{-\mu x} + C \quad (4)$$

que es la ecuación de la difusión en un medio que difracta la radiación.

En la figura 5 se presentan los resultados obtenidos para el caso de la difusión en un medio que dispersa la radiación. Se observa que el resultado es una curva que se aleja del eje de las abscisas. La ecuación que mejor describe este resultado es:

$$I = I_0 e^{-\mu x} + C \quad (5)$$

que es la ecuación de la difusión en un medio que dispersa la radiación.

En este capítulo se resumen . comentan los resultados que se obtuvieron en el desarrollo del diseño de la Red Auxiliar de rutas interiores de la Red Telefónica del D.F. .

a) LOS PRIMEROS PRODUCTOS obtenidos fueron los valores estimados de la variable  $g$  para el tercer modelo (1), con el cual se estima la distancia entre cada par de centrales.

$$d_{ij}(g) = \sqrt{(L_{ni} - L_{nj})^2 + (Lo_i - Lo_j)^2} \cdot g \quad (1)$$

Los valores estimados para la variable  $g$  por zona se muestran en la tabla # 29.

Zona	$g$ estimada
Norte	1.070652
Centro	1.048993
Sur	1.154783
Frontera N-C	1.625045
Frontera C-S	1.077069

- TABLA # 29 -

Como se mencionó en el capítulo II, en el planteamiento del modelo, con la variable  $g$  se pretende describir la tortuosidad o irregularidad de las calles y/o avenidas de la Ciudad de México.

Los valores obtenidos de esta variable, se pueden interpretar de la siguiente forma. Existe una tortuosidad mas o menos homogénea en todo el D.F., sin embargo si detallamos; para la zona sur del D.F. existe un poco mas de tortuosidad

que en la zona Norte y a su vez en la zona Norte existe un poco mas de tortuosidad que en la zona Centro.

Estos valores de la variable  $g$  son de utilidad en una empresa como Telefonos de Mexico, ya que se pueden tomar como indicadores para la estimacion de distancias entre centrales de nueva creacion en la Red Telefonica del D.F.

Este modelo puede considerarse como un modelo aceptable ya que por un lado reporta distancias entre centrales que no estan muy alejadas de las distancias minimas reales y por otro lado al hacer la comparacion con las distancias actuales ( $L_{rr}$ ) de Telefonos de Mexico encontramos que en un 60%  $D(g)$  es menor o igual que  $L_{rr}$ .

b) El segundo producto obtenido es la matriz de distancias en funcion de  $g$ , la cual se muestra en las tablas # 20, # 21, # 22, # 23, y # 24 del capitulo II. Esta matriz fue obtenida con el tercer modelo ya que fue este el modelo que arrojo los mejores resultados respecto a distancias mas cortas entre centrales. La obtencion de esta matriz es importante ya que esta informacion, representa el insumo necesario para el diseño de la Red Auxiliar. Adicionalmente este producto se considera un elemento necesario en la planeacion de diversos proyectos telefonicos, como son:

- Enrutamiento de Tráfico Telefonico
- Seleccion de Medios de Transmision , Dimensionamiento de Equipo Telefonico.
- Mantenimiento de la Red Telefonica

- Supervision de la Red Telefonica

c) El tercer producto obtenido es la Red Auxiliar de rutas intertandem en la Red Telefonica del D.F.. La cual se muestra en la figura # 32 del capitulo III. El diseño de esta Red tiene como objetivo asegurar la comunicacion entre los equipos de conmutacion de las centrales tandem del D.F. durante alguna eventual contingencia que afecte directamente cualquiera de las rutas de la red de fibra optica entre centrales tandem a nivel de medios de transmision, mediante rutas alternas de respaldo de fibra optica que enlacen a las centrales tandem entre si en forma confiable.

Esta Red Auxiliar se considera exclusiva para afrontar una posible contingencia, es decir, entraria en operacion exclusivamente para evitar la posible falta de comunicacion entre centrales tandem del D.F. .

## **CONCLUSIONES**

En la actualidad se ha avanzado en el desarrollo de la ciencia y la tecnología, lo que ha permitido la creación de una gran cantidad de conocimientos y experiencias que han sido aplicadas en la mejora de las condiciones de vida de las personas. Sin embargo, es importante recordar que el desarrollo tecnológico no es el único factor que determina el progreso social. Es necesario tener en cuenta factores como la cultura, la economía, la política y la sociedad en su conjunto para lograr un desarrollo integral y sostenible.

En particular, el desarrollo tecnológico ha tenido un impacto significativo en la industria, la agricultura y la salud. La industria ha visto cómo sus procesos productivos se vuelven más eficientes y económicos gracias a la aplicación de la robótica y la automatización. La agricultura ha beneficiado de la introducción de maquinaria agrícola avanzada y de técnicas de cultivo más eficientes. La salud, por su parte, ha visto cómo la tecnología ha mejorado la calidad de los servicios médicos y la vida de los pacientes.

Además, el desarrollo tecnológico ha permitido la creación de nuevas industrias y sectores económicos, lo que ha contribuido al crecimiento económico de numerosos países. Sin embargo, es importante recordar que el desarrollo tecnológico no es el único factor que determina el crecimiento económico. Es necesario tener en cuenta factores como la política económica, la inversión en infraestructura y la formación de capital humano.

En conclusión, el desarrollo tecnológico es un factor importante en el progreso social y económico. Sin embargo, es necesario tener en cuenta factores como la cultura, la economía, la política y la sociedad en su conjunto para lograr un desarrollo integral y sostenible.

Este estudio proporciona una solucion al proyecto de Telefonos de Mexico para la elaboracion de una Red Auxiliar de rutas intertandem en la Red Telefónica del D.F. .

El diseño de la Red Auxiliar se baso en encontrar una red a costo minimo, considerando en este costo una sola variable, la distancia entre centrales telefonicas, debido a que el costo del cable de fibra optica es proporcional a la longitud del cable necesario para unir dos centrales.

El hecho de incluir solamente esta variable en este estudio se debe a que para Telefonos de Mexico es suficiente dicha consideracion para iniciar la toma de decisiones en este proyecto.

La Red Auxiliar propuesta satisface la condicion de no exceder los 40 kms. de enlace entre cada par de centrales, lo cual constituye un limite admisible para establecer la comunicacion entre dos centrales.

Los algoritmos utilizados en el desarrollo de este trabajo pueden ser de utilidad para diversos proyectos de la empresa.

El alcance de este trabajo se plantea como un elemento basico en la planeacion de este proyecto en la empreesa, y se considera susceptible de cambios debido a las diferentes variables que intervienen en la realizacion del proyecto.

## Bibliografía

### Libros y Tesis:

- 1.- Cochran W.  
Sample Techniques  
Ed. J. Wiley 1977
- 2.- Christofides Nicos  
Graph Theory  
An Algorithmic Approach  
Ed. Academic Press 1975
- 3.- Desraj  
Sample Theory  
Ed. Mc. Graw Hill 1970
- 4.- M. en C. Flores de la M. Idalia  
Tesis de Maestría  
"Técnicas de Ramificación y Acotamiento"  
UNAM 1990
- 5.- Gibbons Alan  
Algorithmic Graph Theory  
Cambridge Univ. Press 1988.
- 6.- Liebman J., Lasdon L., Schrage L.  
Manual General Interactive Optimizer  
Ed. The Scientific Press 1987
- 7.- Matus Santana F. G.  
Tesis de Licenciatura  
"Establecimiento en Mexico de la primera Red Telefónica  
Urbana con dos Pasos Jerarquicos de Transito."  
IPN 1986
- 8.- Minieka E.  
Optimization Algorithms for Networks and Graphs  
Ed. Marcel Dekker 1978
- 9.- Telefonía Elemental  
Centro de Capacitación  
Teléfonos de México 1970
- 10.- Teoría de Tráfico Telefónico  
Gerencia de Capacitación  
Teléfonos de México 1970
- 11.- Introduction to Pulse Code Modulation  
Hewlett Packard 1961

**Articulos:**

- 1.- Bellmore, M and Malone J.L. (1971) Pathology of Travelling Salesman subtour elimination algorithms. Ops. Res. 19. p.278.
- 2.- Bellmore M. and Nemhauser, G.L.(1968) The Traveling Salesman Problem a survey. Ops. Res.. 16. p. 538 .
- 3.- Christofoorides, N. and Eilon S. (1967) An Algorithm for the vehicle dispatching problem. Opl. Res. Quart 10. p.309
- 4.- Danielson, G.H. (1968) On finding the simple paths and circuits in a graph. IEEE trans. ct -15 p. 294 .
- 5.- Dhawan, V. (1969) Hamiltonian circuits and related problems in graph theory M. Sc. Report Imperial College. London.
- 6.- Hernandez Ayuso Ma. del C.  
Analisis de Redes  
Vinculos Matematicos, vol. 1988.  
Departamento de Matematicas, Fac. de Ciencias.
- 7.- Lin. S., and B. W. Kernighan. (1973). An effective Heuristic Algorithm for the traveling salesman problem. ORSA. vol. 21 no. 2, pp. 496 - 516
- 8.- Stockman, n. (1970). A theorem on Symmetric traveling salesman problems. ORSA. vol. 18 pp. 1163-1167
- 9.- TAU. S.S. (1967) Generation of all hamiltonian Circuits, Paths and Centres of a graph and related problems. IEEE trans. ct-14 p.77 .

#### Anexo 1.- Conceptos Telefónicos

Abonado.- persona inscrita para recibir el servicio telefónico.

Ancho de banda.- es el rango de frecuencias que se emplea en una transmisión.

Área Tandem.- límite de influencia de la red local de una central telefónica.

Atenuación.- es la disminución de la intensidad de una señal debido al efecto de los parámetros propios del medio de transmisión, esta es medida en decibeles.

Cable Troncal.- cable que se emplea para enlace entre centrales de una misma localidad.

Canal.- Vía de comunicación eléctrica en uno o ambos sentidos.

Banda específica de frecuencias asignada para la transmisión de diversos tipos de información, tal como voz, señalización, tonos, telegrafía, etc.. .

Central.- Edificio donde se encuentran instalados los equipos telefónicos de enlace para establecer una comunicación.

Central Tandem.- central automática que maneja tráfico de tránsito originado o terminado en centrales locales subordinadas a ella.

Conductor.- cordón compuesto de varios alambres destinados a transmitir la electricidad.

Densidad Telefónica.- número de líneas telefónicas por cada 100 habitantes.

Distorsión.- es cualquier señal inteligible o no, que interfiere en una comunicación telefónica.

Eco.- señales inteligibles que regresan a su lugar de origen como consecuencia de reflexiones.

Efecto local.- es la autorecepción de un teléfono, por medio de la cual el oído del interlocutor percibe su propia emisión de voz o acoplamiento acústico eléctrico del propio teléfono.

Erlang.- unidad de intensidad de tráfico dicho de otra manera es la ocupación continua de un dispositivo telefónico durante 1 hora, su nombre se debe al matemático Dames A.K. Erlang.

Fibra Óptica.-sistema de transmisión que utiliza fibras de poco diámetro para transmitir una señal luminosa modulada por la información a transmitirse.

**Microteléfono.** - conjunto que reúne en una sola empuñadura tanto la cápsula microfónica como la cápsula receptora. (Auricular).

Punto de Canto.- es el umbral en que un circuito de 4 hilos convertido a 2 hilos en ambos extremos, empieza a auto oscilar.

Red Troncal.- las líneas que enlazan las centrales entre si son agrupadas generalmente en cables que se llaman troncales.

Resistencia eléctrica.- dificultad que opone un conductor al paso de la corriente eléctrica.

Ruido.- son perturbaciones que reducen la inteligibilidad de la información transmitida.

**Selector.**- dispositivo que consiste de un brazo de contacto móvil, un campo de contactos y un dispositivo motriz que puede mover el brazo de contacto de una posición a otra. Su función

es establecer una comunicación entre una linea específica y cualquiera de las líneas que estén conectadas al campo de contacto.

Vía.- ruta que sigue una comunicación a traves de organos de conexión en sistemas telefonicos.

```

*
* Anexo II.- Programas y Modelos
*
*
***** PROGRAMA 1.- que calcula las distancias *
* entre centrales. Insumo: base de coordi- *
* nadas geograficas. Producto Matriz      *
* de distancias entre centrales.          *
* J S M y L S E.                         *
* Duracion del programa.- 5 Mins.          *
*****
select 1
* Base de datos con coordenadas geograficas
* de cada central
use ub_geo
select 2
* Matriz resultante con distancias entre centrales
use dist_ed
reg=1
select 1
* Bucle principal que calcula las distancias
* y las guarda en base de datos dist_ed
do while reg<81
    goto reg
    lom=long_m
    los=long_s
    lam=lat_m
    las=lat_s
    i=1
do while i<81
    if i>reg
        goto 1
    dlong=((lom+b0)+los)-((long_m+b0)+long_s)
    if dlong<0
        dlong=1*dlong
    endif
    dlat=((lam+b0)+las)-((lat_m+b0)+lat_s)
    if dlat<0
        dlat=-1*dlat
    endif
    select 2
    goto reg
    &nmc="c"+ltrim(str(i))
    * los valores 0.02981 y 0.04 son los Kms. equivalentes
    * a 1" para longitud y latitud respectivamente.
    replace &nmc with ((dlong*0.02981)+(dlat*0.04))
    select 1
    endif
    i=i+1
    loop
enddo
reg=reg+1
loop
enddo
close all
return
*
*
*

```

```

*
*
*
*
*
***** PROGRAMA Z.- que calcula las diferencias ****
* entre la longitud de ruta registrada LRR *
* y las distancias calculadas por ub. geo. *
* DUG. *
* Genera una base con las diferencias en- *
* contradas. *
* J S M y L S E . *
* Duracion del programa.- 10 mins. *
*****
select 1
use ruta
select 2
use dist_ed
select 3
use difr
vari=0
select 1
do while .not. eof()
  so=substr(siglaoyd,1,2)
  sd=substr(siglaoyd,4,2)
  var0=1_r
  sele 2
  locate for sig=sd
  if eof()
    aviso="No"
  else
    columna=recno()
    locate for sig=so
    if eof()
      aviso="No"
    else
      nce="c"+trim(str(columna))
      vari=&nc
      select 3
      append blank
      replace si_0 with so
      replace si_d with sd
      replace dif with vari-var0
      replace lrr with var0
      replace dug with vari
    endif
  endif
  columna=0
  vari=0
  select 1
  skip
enddo
close data
return
*
*
*
*
*
*

```

```

*
*
*
*
*
*****
* PROGRAMA 3.- Genera la matriz depurada *
* con Ltrr y Dug. *
* *
* J S M y L S E . *
* Duracion del programa.- 10 mins. *
*****
select 1
use ruta
select 2
use dist_ed
select 3
use dis_dep
vari=0
select 1
do while .not. eof()
  s0=substr(siglaoyd,1,2)
  s0s=substr(siglaoyd,4,2)
  var0=l_r
  sele 2
  locate for sig=s0
  if eof()
    wait space(15)+'SERIE DESTINO'+sd
  else
    columnna=recno()
    locate for sig=s0
    if eof()
      wait space(15)+'SERIE ORIGEN'+so
    else
      renglon=recno()
      nc="c"+ltrim(str(columna))
      vari=nc
      select 3
      goto renglon
      if vari<var0
        replace &nc with vari
      else
        replace &nc with var0
      endif
      nc="c"+ltrim(str(renglon))
      goto columna
      if vari>var0
        replace &nc with vari
      else
        replace &nc with var0
      endif
      endit
    endif
    columna=0
    vari=0
    select 1
  skip
enddo
Select 2
go top
*

```

```
*  
*  
*  
j=1  
do while .not. eof()  
i=1  
do while i<81  
nc='c'+ltrim(str(i))  
select 3  
goto j  
if &nc=0  
    replace &nc with b->&nc  
endif  
i=i+1  
loop  
enddo  
j=j+1  
select 2  
skip  
enddo  
close all  
return
```

```

*
*
*
*
*
*****
* PROGRAMA 4.- Obtiene la matriz de distan-
* cias en funcion del parametro g.
*
* J S M y L S E .
* Duracion del programa.- 5 mins.
*****
sele 1
use ubgeocs
sele 2
use triacs_g
sele 2
i=1
do while i<594
  goto 1
  sele 1
  locate for sig=>sor
  longm=long_m
  longs=long_s
  latm=lat_m
  lats=lat_s
  sigm=>sor
  locate for sig=>sde
  sele 2
    diflat=((latm*60)+(lats)-((a->lat_m*60)+a->lat_s))*0.04
    diflon=((longm*60)+(longs)-((a->long_m*60)+a->long_s))*0.0291818
    replace distancia with (((diflat**2)+(diflon**2))**.5)*1.077069
    i=i+1
  loop
enddo
close all
return
*
*
*
*
*
```

```

*
*
*
*
*
***** PROGRAMA S.- Metodo Algebraico *****
*
* J S M y L S E
* Duracion del programa.- 1 min.
*****
SELE 1
USE MB
SELE 2
USE MP4
SELE 3
USE MPS
RENGB =1
COLP =1
DO WHILE RENGB <7
  IF RENGB <> COLP
    COLB =1
    RENGP =1
    CADENA = ''
    DO WHILE COLB <7
      SELE 1
      GOTO RENGB
      NB = 'B'+LTRIM(STR(COLB))
      SELE 2
      GOTO COLB
      NP4 = 'P4'+LTRIM(STR(COLP))
      IF A->&NB <> '0' .AND. &NP4 <> '0'
        IF &NP4 = '1'
          CADENA = CADENA+A->&NB+
        ELSE
          TNF = LEN(TRIM(&NP4))
          CADAUX =&NP4
          CONTCAR =1
          POSMAS =0
          DO WHILE CONTCAR <TNF+1
            POSMAS =AT('+',CADAUX)
            IF POSMAS >0
              CADAUX1 =SUBSTR(CADAUX, 1, POSMAS-1)
              CONTCAR =CONTCAR+POSMAS
            ELSE
              TNF1 =TNF+1-CONTCAR
              CADAUX1 =SUBSTR(CADAUX, 1, TNF1)
              CONTCAR =TNF+1
            ENDIF
            IF RENGB=1
              CR='A'
            ENDIF
            IF RENGB=2
              CR='B'
            ENDIF
            IF RENGB=3
              CR='C'
            ENDIF
            IF RENGB=4
              CR='D'
            ENDIF
      ENDIF
    ENDWHILE
  ENDIF
ENDWHILE

```

```

*
*
*
*
*
        IF RENGB=5
            CR='E'
        ENDIF
        IF RENGB=6
            CR= F
        ENDIF
        REPE =AT(CR,CADAUX1)
        IF REPE =0
            CADENA =CADENA+A->&NB+CADAUX1+++
        ENDIF
        TNP1 =TNP+1-CONTCAR
        IF CONTCAR <TNP+1
            CADAUX = SUBSTR(CADAUX,POSMAS+1,TNP1)
        ENDIF
        LOOP
    ENDDO
    ENDIF
    COLB =COLB+1
    LOOP
ENDDO
SELE 3
GOTO RENGB
NPS = 'P5'+LTRIM(STR(COLP))
TCADENA =LEN(CADENA)
ULTIMO =SUBSTR(CADENA,TCADENA,1)
IF ULTIMO = '+'
    REPLACE &NPS WITH SUBSTR(CADENA,1,TCADENA-1)
    TCADENA =TCADENA-1
ELSE
    REPLACE &NPS WITH CADENA
    IF &NPS =
        REPLACE &NPS WITH '0'
    ENDIF
ENDIF
IF SUBSTR(&NPS,1,1) =
    REPLACE &NPS WITH SUBSTR(&NPS,2,TCADENA-1)
ENDIF
COLP =COLP+1
ELSE
    SELE 3
    GOTO RENGB
    NPS = 'P5'+LTRIM(STR(COLP))
    REPLACE &NPS WITH '0'
    COLP =COLP+1
ENDIF
IF COLP >6
    RENGB =RENGB+1
    COLP =1
ENDIF
LOOP
ENDDO
SET DEVICE TO PRINT
R =5
I =1
*
*
*

```

```
*  
*  
*  
*  
*  
* DO WHILE I <7  
J =1  
DO WHILE J <7  
NP =P1+LTRIM(STR(I))+LTRIM(STR(J))  
@ R,2 SAY 'P'+LTRIM(STR(I))+LTRIM(STR(J))+ = +&NP  
R =R+3  
J =J+1  
LOOP  
ENDDO  
I =I+1  
LOOP  
ENDDO  
SET DEVICE TO SCREEN  
CLOSE ALL  
RETURN
```

```
*****
* PROGRAMA 6.- calcula el costo asociado *
* a cada circuito hamiltoniano. *
*
* J S M y L S E .
* Duracion del programa.- 5 mins.
*****
SELE 1
USE CHAMIL
SELE 2
USE DISCTO INDEX DISCTO1
SELE 1
DO WHILE .NOT. EOF()
D=0
POS=1
DO WHILE POS<7
VAR=SUBSTR(CTO,POS,2)
SELE 2
SEEK VAR
D=D+DISTANCIA
SELE 1
POS=POS+1
LOOP
ENDDO
REPLACE DISTANCIA WITH D
SKIP
ENDDO
CLOSE ALL
RETURN
*
*
*
*
```

\*\*\*\*\*  
\* MODELO 1.- Zona Norte \*  
\*\*\*\*\*

MODEL:

$$\begin{aligned}
 1) C1 &= (- 6.15 - (( - 4.8 * F + 3.468 * F^2) / (1/F)) ) ^ {1/2} \\
 2) C2 &= (- 0.45 - (( - 2.8 * F + 1.0115 * F^2) / (1/F)) ) ^ {1/2} \\
 3) C3 &= (- 7.98 - (( - 5.4 * F + 2.7455 * F^2) / (1/F)) ) ^ {1/2} \\
 4) C4 &= (- 10.80 - (( - 1.1 * F + 10.115 * F^2) / (1/F)) ) ^ {1/2} \\
 5) C5 &= (- 8.52 - (( - 2.8 * F + 6.5025 * F^2) / (1/F)) ) ^ {1/2} \\
 6) C6 &= (- 9.9 - (( - 9.8 * F + 0.289 * F^2) / (1/F)) ) ^ {1/2} \\
 7) C7 &= (- 4.87 - (( - 4.2 * F + 0.578 * F^2) / (1/F)) ) ^ {1/2} \\
 8) C8 &= (- 14.94 - (( - 7.8 * F + 12.2815 * F^2) / (1/F)) ) ^ {1/2} \\
 9) C9 &= (- 9.42 - (( - 9 * F + 1.3005 * F^2) / (1/F)) ) ^ {1/2} \\
10) C10 &= (- 13.29 - (( - 5.4 * F + 11.9935 * F^2) / (1/F)) ) ^ {1/2} \\
11) C11 &= (- 19.05 - (( - 5.8 * F + 17.6229 * F^2) / (1/F)) ) ^ {1/2} \\
12) C12 &= (- 12.75 - (( - 1.1 * F + 10.405 * F^2) / (1/F)) ) ^ {1/2} \\
13) C13 &= (- 5.88 - (( - 3.8 * F + 2.8001 * F^2) / (1/F)) ) ^ {1/2} \\
14) C14 &= (- 6.75 - (( - 6.4 * F + 0.667 * F^2) / (1/F)) ) ^ {1/2} \\
15) C15 &= (- 8.73 - (( - 2.2 * F + 5.78 * F^2) / (1/F)) ) ^ {1/2} \\
16) C16 &= (- 4.85 - (( - 1.8 * F + 4.1905 * F^2) / (1/F)) ) ^ {1/2} \\
17) C17 &= (- 12.84 - (( - 7.8 * F + 10.2595 * F^2) / (1/F)) ) ^ {1/2} \\
18) C18 &= (- 3.76 - (( - 2 * F + 2.601 * F^2) / (1/F)) ) ^ {1/2} \\
19) C19 &= (- 7.08 - (( - 5.8 * F + 2.89 * F^2) / (1/F)) ) ^ {1/2} \\
20) S1=C1+C2+C3+C4+C5+C6+C7+C8+C9+C10; \\
21) S2=C11+C12+C13+C14+C15+C16+C17+C18+C19; \\
22) min=s1+s2; \\
23) P > 0; \\
24) F = 2; \\
END \\
LEAVE \\
* \\
* \\
*****$$

\*\*\*\*\*  
\* MODELO 2.- Zona Centro \*  
\*\*\*\*\*

MODEL:

$$\begin{aligned}
 1) C1 &= (- 5.85 - (( - 4.0 * F + 3.1125 * F^2) / (1/F)) ) ^ {1/2} \\
 2) C2 &= (- 9.01 - (( - 0.4 * F + 7.9475 * F^2) / (1/F)) ) ^ {1/2} \\
 3) C3 &= (- 6.54 - (( - 2.4 * F + 5.9245 * F^2) / (1/F)) ) ^ {1/2} \\
 4) C4 &= (- 1.52 - (( - 1.2 * F + 2.023 * F^2) / (1/F)) ) ^ {1/2} \\
 5) C5 &= (- 1.73 - (( - 0.4 * F + 2.312 * F^2) / (1/F)) ) ^ {1/2} \\
 6) C6 &= (- 7.18 - (( - 0 * F + 0.179 * F^2) / (1/F)) ) ^ {1/2} \\
 7) C7 &= (- 17.81 - (( - 0.76 * F + 15.028 * F^2) / (1/F)) ) ^ {1/2} \\
 8) C8 &= (- 6.05 - (( - 5.8 * F + 1.023 * F^2) / (1/F)) ) ^ {1/2} \\
 9) C9 &= (- 11.01 - (( - 4.3 * F + 9.1055 * F^2) / (1/F)) ) ^ {1/2} \\
10) C10 &= (- 7.89 - (( - 7.1 * F + 2.601 * F^2) / (1/F)) ) ^ {1/2} \\
11) C11 &= (- 12.86 - (( - 7.8 * F + 9.537 * F^2) / (1/F)) ) ^ {1/2} \\
12) C12 &= (- 6.15 - (( - 5.8 * F + 1.186 * F^2) / (1/F)) ) ^ {1/2} \\
13) C13 &= (- 21.5 - (( - 5.8 * F + 20.806 * F^2) / (1/F)) ) ^ {1/2} \\
14) C14 &= (- 16.3 - (( - 2.6 * F + 17.629 * F^2) / (1/F)) ) ^ {1/2} \\
15) MIN=C1+C2+C3+C4+C5+C6+C7+C8+C9+C10+C11+C12+C13+C14; \\
16) P > 0; \\
17) F = 2; \\
END \\
LEAVE \\
* \\
* \\$$

\*\*\*\*\*  
\* MODELO 3.- Zona Sur  
\*\*\*\*\*

MODEL:

$$\begin{aligned}
 1) C1 &= 1.715 - ((4 \cdot F + 0.047 \cdot F^2) \cdot (1/F)) ^ {1/2} \\
 2) C2 &= 1.171 - ((12 \cdot F + 8.959 \cdot F^2) \cdot (1/F)) ^ {1/2} \\
 3) C3 &= 1.1125 - ((6 \cdot F + 5.6355 \cdot F^2) \cdot (1/F)) ^ {1/2} \\
 4) C4 &= 1.1632 - ((12.6 \cdot F + 4.024 \cdot F^2) \cdot (1/F)) ^ {1/2} \\
 5) C5 &= 1.1259 - ((7.4 \cdot F + 4.325 \cdot F^2) \cdot (1/F)) ^ {1/2} \\
 6) C6 &= 1.6.94 - ((7.2 \cdot F + 2.023 \cdot F^2) \cdot (1/F)) ^ {1/2} \\
 7) C7 &= 1.8.28 - ((0.8 \cdot F + 7.805 \cdot F^2) \cdot (1/F)) ^ {1/2} \\
 8) C8 &= 1.3.48 - ((0.8 \cdot F + 3.0345 \cdot F^2) \cdot (1/F)) ^ {1/2} \\
 9) C9 &= 1.3.93 - ((0.8 \cdot F + 3.0345 \cdot F^2) \cdot (1/F)) ^ {1/2} \\
 10) C10 &= 1.12.9 - ((7.6 \cdot F + 10.404 \cdot F^2) \cdot (1/F)) ^ {1/2} \\
 11) MIN=C1+C2+C3+C4+C5+C6+C7+C8+C9+C10 \\
 12) F > 0; \\
 13) P < 2;
 \end{aligned}$$

END

LEAVE

\*

\*

\*\*\*\*\*  
\* MODELO 4.- Frontera N-C  
\*\*\*\*\*

MODEL:

$$\begin{aligned}
 1) C1 &= 1.615 - ((3.6 \cdot F + 1.16727 \cdot F^2) \cdot (1/F)) ^ {1/2} \\
 2) C2 &= 1.3.9 - ((2.8 \cdot F + 2.045726 \cdot F^2) \cdot (1/F)) ^ {1/2} \\
 3) s1=C1+C2; \\
 4) min=s1; \\
 5) F > 0; \\
 6) F < 2; \\
 \end{aligned}$$

END

LEAVE

\*\*\*\*\*  
\* MODELO 5.- Frontera C-B  
\*\*\*\*\*

MODEL:

$$\begin{aligned}
 1) C1 &= 1.6.5 - ((3.6 \cdot F + .291318 \cdot F^2) \cdot (1/F)) ^ {1/2} \\
 2) C2 &= 1.5.16 - ((4.4 \cdot F + 1.45909 \cdot F^2) \cdot (1/F)) ^ {1/2} \\
 3) s1=C1+C2; \\
 4) min=s1; \\
 5) F > 0; \\
 6) F < 2; \\
 \end{aligned}$$

END

LEAVE

• MODELO 8. - Zona Norte

MODEL 1

```

1) C1 = 6.15 - (( 4.8 * z + 3.468 * z^2 ) * ( .5 ) ) * G ; ^ 21
2) C2 = 3.45 - (( 2.8 * z + 2.0115 * z^2 ) * ( .5 ) ) * G ; ^ 21
3) C3 = 7.96 - (( 5.4 * z + 2.7455 * z^2 ) * ( .5 ) ) * G ; ^ 21
4) C4 = 10.86 - (( 1.2 * z + 10.115 * z^2 ) * ( .5 ) ) * G ; ^ 21
5) C5 = 8.52 - (( 2.8 * z + 6.5025 * z^2 ) * ( .5 ) ) * G ; ^ 21
6) C6 = 9.9 - (( 9.8 * z + 0.289 * z^2 ) * ( .5 ) ) * G ; ^ 21
7) C7 = 4.87 - (( 4.2 * z + 0.578 * z^2 ) * ( .5 ) ) * G ; ^ 21
8) C8 = 14.94 - (( 7.8 * z + 11.2825 * z^2 ) * ( .5 ) ) * G ; ^ 21
9) C9 = 1.942 - (( 9 * z + 1.3005 * z^2 ) * ( .5 ) ) * G ; ^ 21
10) C10 = 13.29 - (( 5.4 * z + 11.9935 * z^2 ) * ( .5 ) ) * G ; ^ 21
11) C11 = 19.65 - (( 5.6 * z + 17.619 * z^2 ) * ( .5 ) ) * G ; ^ 21
12) C12 = 11.75 - (( 1.2 * z + 10.405 * z^2 ) * ( .5 ) ) * G ; ^ 21
13) C13 = 5.66 - (( 3.6 * z + 2.6801 * z^2 ) * ( .5 ) ) * G ; ^ 21
14) C14 = 6.75 - (( 6.4 * z + 0.667 * z^2 ) * ( .5 ) ) * G ; ^ 21
15) C15 = 6.93 - (( 2.2 * z + 5.78 * z^2 ) * ( .5 ) ) * G ; ^ 21
16) C16 = 4.65 - (( 1.6 * z + 4.1905 * z^2 ) * ( .5 ) ) * G ; ^ 21
17) C17 = 12.64 - (( 7.6 * z + 10.2595 * z^2 ) * ( .5 ) ) * G ; ^ 21
18) C18 = 3.78 - (( 2 * z + 2.601 * z^2 ) * ( .5 ) ) * G ; ^ 21
19) C19 = 7.08 - (( 5.8 * z + 2.89 * z^2 ) * ( .5 ) ) * G ; ^ 21
20) s1=C1+C2+C3+C4+C5+C6+C7+C8+C9+C10;
21) s2=(C11+C12+C13+C14+C15+C16+C17+C18+C19;
22) min=s1+s2;
23) G = 1 ;
END
LEHVE

```

**APÓEIS DO 3º E 4º SEMESTRE**

## Model

1) C1 =	( - 5.65	-	( + 4.0	-	2 +	3.6125	-	2)	( .5)	*	G	-	2
2) C2 =	( - 8.01	-	( + 0.4	-	2 +	7.9475	-	2)	( .5)	*	G	-	2
3) C3 =	( - 6.54	-	( + 2.4	-	2 +	5.5245	-	2)	( .5)	*	G	-	2
4) C4 =	( - 2.52	-	( + 1.2	-	2 +	2.0225	-	2)	( .5)	*	G	-	2
5) C5 =	( - 2.71	-	( + 0.4	-	2 +	2.5121	-	2)	( .5)	*	G	-	2
6) C6 =	( - 3.18	-	( + 0	-	2 +	3.179	-	2)	( .5)	*	G	-	2
7) C7 =	( - 17.41	-	( + 2.76	-	2 +	15.0028	-	2)	( .5)	*	G	-	2
8) C8 =	( - 6.05	-	( + 5.6	-	2 +	1.0203	-	2)	( .5)	*	G	-	2
9) C9 =	( - 11.01	-	( + 4.8	-	2 +	9.1025	-	2)	( .5)	*	G	-	2
10) C10 =	( - 7.85	-	( + 7.1	-	2 +	2.0001	-	2)	( .5)	*	G	-	2
11) C11 =	( - 12.42	-	( + 7.6	-	2 +	4.512	-	2)	( .5)	*	G	-	2
12) C12 =	( - 6.15	-	( + 5.6	-	2 +	1.1156	-	2)	( .5)	*	G	-	2
13) C13 =	( - 21.5	-	( + 1.5	-	2 +	20.808	-	2)	( .5)	*	G	-	2
14) C14 =	( - 18.1	-	( + 1.5	-	2 +	17.629	-	2)	( .5)	*	G	-	2
15) C15 =	( - 11.1	-	( + 1.5	-	2 +	10.6214	-	2)	( .5)	*	G	-	2

100

•

\* MODEL 6.- zona sur

\*\*\*\*\*

MODEL:  
1 CI = 6.15 - 1 1 4 2 + 6.187 2 1 1 (.5) 1 + G 1 2 1  
2 CI = 17.1 - 1 1 12 2 + 8.454 2 1 1 (.5) 1 + G 1 2 1  
3 CI = 11.28 - 1 1 6 2 + 5.6355 2 1 1 (.5) 1 + G 1 2 1  
4 CA = 18.22 - 1 1 1 1.6 2 + 4.624 2 1 1 (.5) 1 + G 1 2 1  
5 CB = 12.22 - 1 1 5.4 2 + 4.138 2 1 1 (.5) 1 + G 1 2 1  
6 CC = 8.44 - 1 1 7.1 2 + 2.403 2 1 1 (.5) 1 + G 1 2 1  
7 CD = 5.18 - 1 1 0.8 2 + 7.802 2 1 1 (.5) 1 + G 1 2 1  
8 CE = 3.46 - 1 1 0.8 2 + 5.0345 2 1 1 (.5) 1 + G 1 2 1  
9 CF = 5.93 - 1 1 0.9 2 + 3.0448 2 1 1 (.5) 1 + G 1 2 1  
10 CG10 = 12.9 - 1 1 7.6 2 + 10.404 2 1 1 (.5) 1 + G 1 2 1  
11 MIN(C1 + C2 + C3 + C4 + C5 + C6 + C7 + C8 + C9 + C10) 1  
12 G > 1 1  
END

LEAVE

\* MODEL 5.- Frontera N-C

\*\*\*\*\*

MODEL:  
1 CI = 6.15 - 1 1 5.6 2 + 1.16272 2 1 1 (.5) 1 + G 1 2 1  
2 CI = 11.5 - 1 1 2.6 2 + 2.04272 2 1 1 (.5) 1 + G 1 2 1  
3 CI=C1  
4 MIN(C1)  
5 G > 1 1  
END

LEAVE

\* MODEL 4v.- Frontera C-S

\*\*\*\*\*

MODEL:  
1 CI = 5.65 - 1 1 5.6 2 + 0.291618 2 1 1 (.5) 1 + G 1 2 1  
2 CI = 5.16 - 1 1 4.4 2 + 1.45909 2 1 1 (.5) 1 + G 1 2 1  
3 CI=C1+C21  
4 MIN(C1)  
5 G > 1 1  
END

LEAVE